

การศึกษาไyxอาหารพืช&ชั้นในอาหารสำหรับสุกรอย่างมี



วิทยานิพนธ์เสนอบัณฑิตวิทยาลัย มหาวิทยาลัยนเรศวร เพื่อเป็นส่วนหนึ่งของการศึกษา  
หลักสูตรปริญญาปรัชญาดุษฎีบัณฑิต  
สาขาวิชาภาษาศาสตร์การเกษตร  
กุมภาพันธ์ 2563  
ลิขสิทธิ์เป็นของมหาวิทยาลัยนเรศวร

วิทยานิพนธ์  
เรื่อง “การศึกษา influence อาหารฟังก์ชันในอาหารสำหรับสุกรหย่านม”  
ของนางสาวนุจิรา ทักษิณานันต์  
ได้รับการพิจารณาให้นับเป็นส่วนหนึ่งของการศึกษาตามหลักสูตร  
ปรัชญาดุษฎีบัณฑิต สาขาวิชาภาษาศาสตร์การเกษตร

คณะกรรมการสอบวิทยานิพนธ์

..... ประธานกรรมการสอบวิทยานิพนธ์  
(ผู้ช่วยศาสตราจารย์ ดร. นรินทร์ ทองวิทยา)

..... ประธานที่ปรึกษาวิทยานิพนธ์  
(รองศาสตราจารย์ ดร. วั่นดี หาตรากุล)

..... กรรมการที่ปรึกษาวิทยานิพนธ์  
(ผู้ช่วยศาสตราจารย์ ดร. เอกสม อุดามกุร)

..... กรรมการที่ปรึกษาวิทยานิพนธ์  
(ผู้ช่วยศาสตราจารย์ ดร. ทศพร อินเจริญ)

..... กรรมการที่ปรึกษาวิทยานิพนธ์  
(ผู้ช่วยศาสตราจารย์ ดร. รังสรรค์ เจริญสุข)

..... กรรมการผู้ทรงคุณวุฒิภายใน  
(ผู้ช่วยศาสตราจารย์ ดร. สนธยา นุ่มท้วม)

อนุมัติ

(ศาสตราจารย์ ดร. ไพศาล มุณีสว่าง)

คณะกรรมการ

28 .... 2563

## ประกาศคุณปีกการ

วิทยานิพนธ์ฉบับนี้ได้รับทุนอุดหนุนการทำกิจกรรมส่งเสริมและสนับสนุนการวิจัย  
จากสำนักงานคณะกรรมการวิจัยแห่งชาติ (วช.)

ขอขอบพระคุณประธานที่ปรึกษาวิทยานิพนธ์ รองศาสตราจารย์ ดร. วันดี ทาตะระกุล  
ที่ให้โอกาสในการศึกษา ให้คำปรึกษาและชี้แนะแนวทางในการเรียนและทำวิทยานิพนธ์ ตลอดจน  
คณะกรรมการที่ปรึกษาวิทยานิพนธ์ อันได้แก่ ผู้ช่วยศาสตราจารย์ ดร. เอกสม อาฒามงคล  
ผู้ช่วยศาสตราจารย์ ดร. ทศพร อินเจริญ และผู้ช่วยศาสตราจารย์ ดร. วังสรรค์ เจริญสุข ที่เคยให้  
คำปรึกษาจนทำให้วิทยานิพนธ์ฉบับนี้สำเร็จลุล่วงโดยสมบูรณ์

ขอขอบพระคุณบิดา มารดา และครอบครัวที่ให้การสนับสนุน เข้าใจ และให้กำลังใจ  
ในการเรียนและทำวิทยานิพนธ์จนเสร็จสมบูรณ์ และขอขอบคุณกัลยาณิมิตร พี่น้อง เจ้าหน้าที่  
ทุกท่านที่ให้การสนับสนุนทั้งแรงกาย แรงใจ และแนวคิด จนทำให้การทำงานเป็นไปอย่างราบรื่น  
เสมอมา ในทุกการทำงาน ทุกอุปสรรค และความสำเร็จ จะเป็นประสบการณ์อันล้ำค่าที่ถูกจดจำ  
เรียบง่าย และให้ในกำกับผ่านทุกปัญหาและเติบโตต่อไปในอนาคต

นุจรา หักษิณานันต์

<b>ชื่อเรื่อง</b>	การศึกษา influence อาหารฟังก์ชันในอาหารสำหรับสุกรหยาด
<b>ผู้วิจัย</b>	นุจิรา ทักษิณานันต์
<b>ประธานที่ปรึกษา</b>	รองศาสตราจารย์ ดร. วันดี หาตระกูล
<b>กรรมการที่ปรึกษา</b>	ดร. เสาร์ส อาทิตย์มาภูร ดร. พศพร อินเจริญ ดร. วังสรรค์ เจริญสุข
<b>ประเภทสารนิพนธ์</b>	วิทยานิพนธ์ ปร.ด. สาขาวิชาวิทยาศาสตร์การเกษตร มหาวิทยาลัยนเรศวร, 2563
<b>คำสำคัญ</b>	ไขอาหาร แกลบ สุกรหยาด

### บทคัดย่อ

ไขอาหารเป็นสารประกอบที่ไม่สามารถย่อยและใช้ประโยชน์ได้โดยสัตว์กระเพาะเดียว แต่มีงานวิจัยสมัยใหม่หลายงานที่ชี้ให้เห็นว่า ไขอาหาร โดยเฉพาะอย่างยิ่งไขอาหารชนิดไม่ละลายน้ำ สามารถช่วยปรับปรุงสัณฐานวิทยาของลำไส้เล็ก ลดเชื้อแบคทีเรียก่อโรคในทางเดินอาหาร ส่วนท้าย และเพิ่มการกินได้ของสุกรหลังหยาด ซึ่งการศึกษาในครั้งนี้มีวัตถุประสงค์เพื่อหาแหล่งไขอาหารที่เหมาะสมจากผลพอลอยด์จากการแปรรูปulin ค้าเกษตร และศึกษาอัตราส่วนไขอาหารชนิดไม่ละลายน้ำต่อไขอาหารชนิดละลายน้ำ (insoluble dietary fiber: soluble dietary fiber ratio; iDF:sDF) และระดับของไขอาหาร (dietary fiber; DF) การทดลองแบ่งออกเป็น 3 ภาระทดลองดังนี้

การทดลองที่ 1 เป็นการประเมินองค์ประกอบทางเคมีและทางกายภาพของแกลบดิบ กากมันสำปะหลัง ผิวถัวเหลือง และรำสกัดน้ำมัน ผลการทดลองพบว่าแกลบดิบมีปริมาณของไขอาหารและปริมาณไขอาหารชนิดไม่ละลายน้ำสูงกว่าวัตถุดิบชนิดอื่น คือเท่ากับ  $68.01 \pm 1.97$  และ  $62.52 \pm 3.22\%$  ตามลำดับ จึงถูกคัดเลือกเพื่อใช้เป็นแหล่งของไขอาหารในการทดลองต่อไป

การทดลองที่ 2 ศึกษาระดับของไขอาหารในอาหารสุกรหลังหยาด โดยใช้แกลบดิบ เป็นแหล่งของไขอาหาร ในสูตรจำนวน 30 ตัว หยาดที่อายุ  $21 \pm 3$  วัน น้ำหนักเริ่มต้นเฉลี่ย  $6.05 \pm 0.46$  กิโลกรัม สูกรได้รับอาหารทดลอง 3 กลุ่มที่มีระดับของไขอาหารแตกต่างกัน คือ 130 (DF130), 140 (DF140) และ 150 (DF150) กรัมต่อกิโลกรัมอาหาร เป็นระยะเวลา 28 วัน และในวันที่ 29 ของการทดลอง ทำการกรุณยณาตสุกร 1 ตัวต่อคอก ( $n=4$ ) เพื่อเก็บน้ำหนักอวัยวะ 'ได้แก่ ตับ กระเพาะอาหาร สำไส้ไส้ใหญ่และลำไส้เล็ก ตัวอย่างเนื้อเยื่ออ่อนลำไส้เล็กเพื่อประเมิน

สัณฐานวิทยา และปริมาณเข็อเบคทีเรียในลำไส้เล็กส่วนปลาย “ไส้ติ้ง และลำไส้ใหญ่” สำหรับการทดลองหาค่าการย่อยได้ของสารอาหาร ในสุกรheyam จำนวน 12 ตัว สุกรได้รับอาหารทดลองปริมาณ 4% ของน้ำหนักตัว การประเมินค่าการย่อยได้ของไชซันจะใช้ครमิกซ์ออกไซด์ 0.5% เป็นสารบ่งชี้ในอาหาร ผลการทดลองพบว่าระดับของไขอาหารมีแนวโน้มทำให้การย่อยได้แบบปรากฏของไขมันและเยื่อไขเพิ่มขึ้น ( $P = 0.082$  และ  $0.074$  ตามลำดับ) สุกรกลุ่ม DF140 กรัมต่อกิโลกรัมมีน้ำหนักลำไส้เล็กเมื่อเทียบกับน้ำหนักตัวไม่แตกต่างกับกลุ่ม DF130 แต่สูงกว่า DF150 ( $P = 0.012$ ) ทางด้านประสิทธิภาพการผลิต สัณฐานวิทยาของลำไส้เล็ก และเชื้อ *E. coli*, *Salmonella* spp. และ Lactic acid bacteria ในทางเดินอาหารส่วนท้ายไม่มีความแตกต่างทางสถิติระหว่างกลุ่มทดลอง ดังนั้นไขอาหารที่เหมาะสมในอาหารสุกรหลังห่านมคือ 140 กรัมต่อกิโลกรัมอาหาร

การทดลองที่ 3 เป็นการศึกษาสัดส่วน iDF:sDF ในอาหารสุกรหลังห่านม ในสุกรจำนวน 64 ตัว หย่านมที่อายุ  $21 \pm 3$  วัน น้ำหนักเฉลี่ยตัน  $6.13 \pm 0.23$  กิโลกรัม สุกรจะได้รับอาหารทดลองที่มีระดับของ iDF:sDF แตกต่างกัน 4 ระดับคือ 3 (กลุ่มควบคุม), 4, 5 และ 6 (R4, R5 และ R6 ตามลำดับ) อาหารทดลองทุกสูตรควบคุมปริมาณ DF ให้ใกล้เคียง  $140 \pm 0.5$  กรัมต่อกิโลกรัมอาหาร ทดลองเป็นระยะเวลา 28 วัน และในวันที่ 29 ของการทดลอง สุมสุกร 1 ตัวต่อคอก ( $n = 4$ ) ทำการกรุณยاختเพื่อเก็บตัวอย่างเนื้อเยื่อของลำไส้เล็ก น้ำหนักของอวัยวะ และปริมาณแบคทีเรียจากหัวหนักของสุกร ผลการศึกษาพบว่า ในสัปดาห์แรกหลังห่านมสุกรที่ได้รับอาหาร R4, R5 และ R6 มีแนวโน้มเพิ่มปริมาณอาหารที่กิน ( $P = 0.070$ ) แต่ทั้งสามกลุ่มก็มีปริมาณอาหารที่กินน้อยกว่ากลุ่มควบคุม และเมื่อพิจารณาประสิทธิภาพการผลิตโดยรวมพบว่า สุกรที่ได้รับอาหาร R4 มีค่า FCR ต่ำกว่ากลุ่มน้อยกว่ามีนัยสำคัญทางสถิติ ( $P = 0.035$ ) ทางด้านสัณฐานวิทยาของลำไส้เล็กส่วนต้นพบว่าสัดส่วน VH:CD ระหว่างกลุ่ม R4 และกลุ่มควบคุมไม่แตกต่างกันทางสถิติ ( $P = 0.016$ ) แต่มีค่าสูงกว่ากลุ่ม R6 ทั้งนี้น้ำหนักอวัยวะเมื่อเทียบกับน้ำหนักตัว ปริมาณเชื้อ *E. coli*, *Salmonella* spp. และ Lactic acid bacteria ไม่มีความแตกต่างระหว่างกลุ่มการทดลอง ดังนั้นสัดส่วน iDF:sDF ที่เหมาะสมในอาหารสุกรหลังห่านม คือ 4.0

โดยสรุป แกลบข้าวบดมีความเหมาะสมที่จะใช้เป็นแหล่งของไขอาหารสำหรับสุกรหลังห่านม และเมื่อใช้แกลบบดเป็นแหล่งไขอาหารในอาหารสุกรหลังห่านม โดยระดับ DF ที่เหมาะสมคือ 140 กรัมต่อกิโลกรัมจะช่วยปรับปรุงสัณฐานวิทยาของลำไส้เล็กส่วนปลาย และสัดส่วน iDF:sDF เท่ากับ 4.0 เป็นระดับที่ส่งเสริมประสิทธิภาพการผลิตของสุกรและปรับปรุงสัณฐานวิทยาของลำไส้เล็กทั้งทางและส่วนปลาย

Title	STUDIES ON FUNCTIONAL DIETARY FIBER IN POST-WEANING PIG DIETS
Author	Nujira Taksinanan
Advisor	Associate Professor Wandee Tartrakoon, Ph.D.
Co-advisors	Seksom Attamangkune, Ph.D. Tossaporn Incharoen, Ph.D. Rangsun Charoensook, Ph.D.
Academic Paper	Ph.D. Thesis in Agricultural Science Naresuan University, 2020
Keywords	dietary fiber, rice hull, weaning pigs

## ABSTRACT

Dietary fiber is an indigestible nutrient in non-ruminant animals. Recent studies indicate that dietary fiber, especially insoluble dietary fiber, can improve gut morphology, reduce harmful bacteria in the hindgut, and increase feed intake in newly weaning pigs. This research was designed to determine the dietary fiber content in some agricultural by-products and its effects on weaning pig diets as dietary fiber sources with various insoluble dietary fiber-to-soluble dietary fiber ratios (iDF:sDF) and dietary fiber levels (DF). This research was divided into three experiments.

Experiment 1: determination of chemical compositions and some physical properties of rice hull, cassava pulp, soybean hull, and defat rice bran. The results showed that rice hull was the best source of dietary fiber and high insoluble dietary fiber content ( $68.01\pm1.97$  and  $62.52\pm3.22\%$ , respectively). Thus, we selected rice hull as the dietary fiber source for experiments 2 and 3.

Experiment 2: determination of dietary fiber level in post-weaning pig diets by using ground rice hull as the dietary fiber source. A total of 30 weaning pigs with initial weights of 5–6 kg were weaned at  $21\pm3$  days. The pigs were divided into three groups and fed different dietary levels for 28 days: 130 (DF130), 140 (DF140), and 150 (DF150) g/kg. On day 29 of the experiment, one pig per pen ( $n = 4$ ) was euthanized. The

digestive organs were weighed, and the tissues of the small intestine were collected for morphological evaluation. The bacteria count was collected from the digestive content. For the digestibility trial, 12 weaning pigs were fed with the same experimental diets as the diets that were given in the performance trial at 4% of live body weight. The nutrient digestibility was determined using 0.5% chromic oxide as the indicator. The results revealed that increasing the DF levels improved fat and fiber digestibility ( $P = 0.082$  and  $0.074$  respectively). Moreover, the pigs fed with the DF140 diet were not statistically different from those fed with DF130 but were better than those fed with DF150 ( $P = 0.012$ ). The pigs' growth performances, intestinal morphology, and amounts of *E. coli*, *Salmonella* spp., and lactic acid bacteria were not affected by the treatments. Therefore, the DF of 140 g/kg diet was suitable for weaning pig diets.

Experiment 3: evaluation of iDF:sDF ratio in post-weaning pig diets. A total of 64 pigs with initial weights of  $6.13 \pm 0.23$  kg were weaned at  $21\pm3$  days. All pigs were offered diets with different iDF:sDF ratios with the same dietary level (140 g/kg diet) for 28 days: 3.0 (control), 4.0, 5.0, and 6.0 (R4, R5, and R6, respectively). On day 29 of the experiment, one pig per pen ( $n = 4$ ) was euthanized, the organs were weighed, and the intestinal tissues were collected for morphological evaluation. The quantity of intestinal microbes was determined by a rectal swab. The results showed that the pigs fed with R4, R5, and R6 tended to increase their feed intake, but it remained lower than the intake of the control diet ( $P = 0.070$ ). However, the overall performances of the pigs fed the R4 diet had significantly better FCR than did the other groups ( $P = 0.035$ ). For the duodenal VH:CD, there are no statistically different between the R4 and control groups ( $P = 0.016$ ) but those had higher the duodenal VH:CD than the R6 group. The organ weights and the amounts of *E. coli*, *Salmonella* spp., and lactic acid bacteria were not statistically different among the groups. Therefore, the suitable iDF:sDF ratio was 4.0.

In conclusion, ground rice hull was suitably used as a dietary fiber source for post-weaning pig diets. A DF level of 140 g/kg improved the pigs' ileal intestinal morphology. An iDF:sDF of 4.0 improved their growth performance and jejunal and ileal intestinal morphologies.

## สารบัญ

บทที่	หน้า
1 บทนำ.....	1
ความเป็นมาของปัญหา .....	1
วัตถุประสงค์.....	2
ความสำคัญของการวิจัย .....	2
สมมติฐานของการวิจัย.....	3
2 เอกสารและงานวิจัยที่เกี่ยวข้อง.....	4
ไขอาหาร (Dietary fiber) .....	4
การวิเคราะห์ปริมาณเยื่อใยและไขอาหาร .....	8
คุณสมบัติทางกายภาพของไขอาหาร .....	13
การหมักยอยของไขอาหารในระบบทางเดินอาหาร .....	16
สรีระและสัณฐานวิทยาของลำไส้เล็กของสุกร .....	22
สมดุลของจุลินทรีย์ในระบบทางเดินอาหารของสุกรheyam .....	29
การศึกษาการใช้ไขอาหารในอาหารสุกร .....	32
วัตถุติดที่มีไขอาหารสูงในประเทศไทย.....	34
3 วิธีดำเนินการวิจัย.....	39
การทดลองที่ 1 ศึกษาลักษณะทางกายภาพและองค์ประกอบทางเคมีของ แหล่งไขอาหาร .....	39
การทดลองที่ 2 การศึกษาผลของระดับไขอาหาร (DF ในอาหารสุกรหลังหย่า นมต่อประสิทธิภาพการเจริญเติบโต สัณฐานวิทยาของ ลำไส้ และการย่อยได้ของสารอาหาร.....	41

## สารบัญ (ต่อ)

บทที่

หน้า

การทดลองที่ 3 การทดลองเพื่อหาสัดส่วนของที่เหมาะสมของเยื่อไชนิดไม่ละลายน้ำต่อเยื่อไชนิดละลายน้ำ (iDF:sDF) ในอาหารสุกรหลังหย่าنم โดยใช้แหล่งไข้อาหารนิดไม่ละลายน้ำ (จากการคัดเลือกวัตถุดิบจากการทดลองที่ 1) และผลต่อการพัฒนาของระบบทางเดินอาหาร สัณฐานวิทยาของลำไส้เล็ก ปริมาณเชื้อแบคทีเรียในทางเดินอาหารส่วนท้าย และสมรรถภาพการผลิต.....	48
<b>4 ผลการวิจัย.....</b>	<b>53</b>
ผลการศึกษาลักษณะทางกายภาพและทางเคมีของเหลืองไข้อาหารชนิดต่างๆ.....	53
ผลการศึกษาผลของระดับไข้อาหาร (DF) ที่แตกต่างกันในอาหารต่อประสิทธิภาพการเจริญเติบโต สัณฐานวิทยาของลำไส้เล็ก และการย่อยได้ของสารอาหาร.....	54
ผลการศึกษาสัดส่วน iDF:sDF ที่เหมาะสมในสูตรอาหารสำหรับสุกรหลังหยานม .....	59
<b>5 บทสรุป.....</b>	<b>66</b>
สรุปผลการวิจัย.....	77
ข้อเสนอแนะ.....	78
<b>บรรณานุกรม.....</b>	<b>79</b>
<b>ภาคผนวก.....</b>	<b>101</b>
<b>ประวัติผู้วิจัย.....</b>	<b>107</b>

## สารบัญตาราง

ตาราง	หน้า
1 Classification of dietary fiber according to water solubility.....	8
2 Dietary fiber content in whole wheat and toasted soy bean determined by different methods (mean $\pm$ standard deviation) in g/100 Gdm.....	13
3 Roles of volatile fatty acids in digestive system .....	17
4 Physical changing of dietary fiber during transit digestive system (human model) .....	19
5 Total, soluble and insoluble dietary fiber composition of rice hull .....	36
6 Total, soluble and insoluble dietary fiber composition of soybean hull.....	37
7 Ingredients and nutrient composition of experimental diets with different dietary fiber levels.....	45
8 Ingredients and nutrient composition of experimental diets with different ratio of iDF:sDF .....	51
9 Physical properties and chemical composition of various dietary fiber sources (mean $\pm$ SD) .....	53
10 Ingredients and nutrient composition of experimental diets with different ratio of iDF: sDF .....	55
11 Nutrient digestibility (%) of weaning pigs fed the experimental diets with different level of dietary fiber .....	56
12 Intestinal morphology of weaning pigs fed the experimental diets with different levels of dietary fiber .....	57
13 Organ weight of weaning pigs fed experimental diets with different levels of dietary fiber .....	58
14 Large intestinal pH and bacterial cell count of ileum, caecum and colon of weaning pigs fed the experimental diets with different levels of dietary fiber .....	59

## สารบัญตาราง (ต่อ)

ตาราง	หน้า
15 Growth performance of weaning pigs fed experimental diets with difference iDF:sDF .....	60
16 Organ weight and small intestine length of digestive system and in pigs fed the experimental diets with difference iDF:sDF ratio .....	62
17 Gut morphology of weaning pigs fed experimental diets with different ration of iDF:sDF .....	64
18 Bacterial count by rectal swab test of pigs fed the experimental diets with different ratio of iDF:sDF at 29 days after weaning (log CFU/g).....	65
19 Comparison organ weight of this result with previous research in weaning pigs (% of body weight) .....	73

## สารบัญภาพ

ภาพ	หน้า
1 โครงสร้างของไโยอาหารแต่ละชนิด .....	6
2 องค์ประกอบของไโยอาหารที่ได้จากการวิเคราะห์แบบต่างๆ.....	11
3 ขอบเขตการวิเคราะห์ไโยอาหารของวิธีแบบดั้งเดิม (AOAC 985.29 และ AOAC 991.43) และวิธีการตัดแปลง (AOAC 2001.09 /2011.25) .....	12
4 ลักษณะทางกายภาพของผังน้ำยาสำหรับตัดแบบ (a), (b) ลักษณะพื้นผิวของผังน้ำยาสำหรับตัดแบบ (c) วิลล์ไล และ (d) เชลล์เยื่อบุทางเดินอาหารและไมโครวิลล์ไล.....	24
5 ชนิดของเชลล์เยื่อบุผังน้ำยาสำหรับตัดต่างๆ ที่มีพัฒนามาจากเชลล์ ต้นกำเนิด (stem cells) .....	24
6 ความสัมพันธ์ระหว่างปัจจัยที่มีผลต่อสุขภาพของระบบทางเดินอาหาร .....	34
7 ลักษณะคอกและโรงเรือนทดลอง .....	41
8 การวัดค่าความสูงของวิลล์ไล (villus height; VH) ความกว้างของวิลล์ไล (villus width) และความลึกของคริปท์ (crypt depth; CD) .....	44
9 ลักษณะกรงทดลองการย่อยได้แบบปราศจากสุกร .....	47

## บทที่ 1

### บทนำ

#### ความเป็นมาของปัญหา

สุกรช่วงหลังหย่านม เป็นช่วงเวลาที่ริกฤตต่อสุขภาพและสมรรถภาพการผลิตโดยรวม ของระบบการผลิตสุกร อันเนื่องมาจากการกินอาหารลดลง และอาการห้องเตียหลังหย่านม (Post-weaning diarrhea; PWD) ทำให้สุกรได้รับโภชนาไม่เพียงพอ ปัญหาเหล่านี้มักส่งผลกระทบเชิงลบ ต่อการทำงานและการพัฒนาทางสรีระวิทยาของลำไส้ของสัตว์ เพราะลำไส้ทำหน้าที่สำคัญ เช่น การย่อยอาหาร การดูดซึมสารอาหาร การรักษาสมดุลของน้ำและแร่ธาตุ เป็นที่อยู่อาศัยของ จุลินทรีย์หลากหลายกลุ่ม และมีระบบภูมิคุ้มกันแบบเยื่อเมือก (mucosal immune system) (Lallès et al., 2007) ส่งผลต่อการทำงานของลำไส้ ระบบภูมิคุ้มกันของจุลินทรีย์ และการตอบสนอง ของระบบภูมิคุ้มกันเปลี่ยนแปลงไป

ในอดีตการใช้ยาปฏิชีวนะในอาหารสัตว์ โดยเฉพาะในระยะหลังหย่านม ช่วยเพิ่ม ประสิทธิภาพการผลิตของสุกรหลังหย่านมได้ จึงมีการใช้ยาปฏิชีวนะในสัตว์เป็นการกระตุ้น การเจริญเติบโตของสุกร (antibiotic for growth promoter) จากบทวิจารณ์ของ Li (2017) การใช้ ยาปฏิชีวนะเพื่อเป็นสารกระตุ้นการเจริญเติบโตในอาหารสัตว์โดยใช้เป็นระยะเวลานานนั้น ทำให้ แบคทีเรียเกิดการกลายพันธุ์จนสามารถมีชีวิตรอดจากยาปฏิชีวนะนั้นได้ และถ่ายทอดลักษณะทาง พันธุกรรมดังกล่าวต่อไป ซึ่งจากการศึกษาพบแบคทีเรียจำนวนมากที่มีการติดอยู่ และเมื่อแบคทีเรีย เหล่านั้นก่อโรคในมนุษย์ ทำให้การรักษามีค่าใช้จ่ายสูงหรือต้องพักรักษาตัวเป็นเวลานานขึ้น ก่อให้เกิดปัญหาทางสาธารณสุขตามมา การกระจายของเชื้อแบคทีเรียด้วยในธรรมชาติ เกิดจาก การนำมูลสัตว์มาใช้เป็นปุ๋ยสำหรับพืช ทั้งมีหลายงานวิจัยที่สามารถจำแนกเชื้อแบคทีเรียที่มีส่วน ต้านทานต่อยาต้านจุลชีพอยู่ในมูลสัตว์ สวนใหญ่เป็นแบคทีเรียแกรมลบ สำหรับประเทศไทยนั้น ตามประกาศกระทรวงเกษตรและสหกรณ์ เรื่อง กำหนดชื่อ ประเภท ชนิด ลักษณะหรือคุณสมบัติ ของวัตถุที่ห้ามใช้ผสมในอาหารสัตว์ พ.ศ. 2558 ในพระราชบัญญัติควบคุมคุณภาพอาหารสัตว์ พ.ศ. 2558 ได้ห้ามใช้ยาต้านจุลชีพทุกชนิดผสมลงในอาหารสัตว์ในวัตถุประสงค์เพื่อกระตุ้น การเจริญเติบโต หรือเพิ่มประสิทธิภาพการใช้อาหารสัตว์ (กองควบคุมอาหารและยาสัตว์ กรมปศุสัตว์, 2562)

ดังนั้นจึงมีการศึกษาวิจัยสารเสริม หรือวัตถุดิบที่สามารถ ส่งเสริมสุขภาพของทางเดินอาหารของสุกร และลดการใช้ยาต้านจุลชีพในอาหารสัตว์ โดยไม่ส่งผลกระทบต่อประสิทธิภาพ การผลิตของสุกร ยกตัวอย่างเช่น วัตถุดิบประเภทที่มีไอยาหารสูง สารสกัดจากพืช กรดอินทรีย์ แร่ธาตุสังกะสี พรีไบโอติก เป็นต้น (Li, 2017)

### วัตถุประสงค์

เพื่อศึกษาอิทธิพลของระดับของไโยอาหาร (dietary fiber; DF) และสัดส่วนไโยอาหาร ชนิดไม่ละลายน้ำ (insoluble dietary fiber; iDF) ต่อไอยาหารชนิดละลายน้ำ (soluble dietary fiber; sDF) ในอาหารสุกรหลังหย่านม โดยการคัดเลือกวัตถุดิบเบื้องต้นที่เป็นผลผลิตได้ใน อุตสาหกรรมการเกษตร และศึกษาผลจากการใช้วัตถุดิบชนิดนั้นต่อประสิทธิภาพการเจริญเติบโต การพัฒนาของทางเดินอาหาร ตั้งแต่วัยวัยของลำไส้ และการเปลี่ยนแปลงของแบคทีเรียใน ทางเดินอาหารของสุกรหลังหย่านม

### ความสำคัญของการวิจัย

ช่วงเวลาหลังหย่านมถือเป็นช่วงวิกฤติที่สุดในการผลิตสุกร เนื่องจากความเครียดจาก การเปลี่ยนสภาพแวดล้อมและโภชนาการ สัตว์มีปริมาณการกินอาหารลดลง ส่งผลให้เกิดการฟ้อ ตัวของวิลล่าของลำไส้เล็ก ภายใน 24- 48 ชั่วโมงหลังหย่านม (Kitt et al., 2001; Moeser et al., 2017) ส่งผลกระทบต่อสมรรถภาพการผลิต และการอุกรวนของเชื้อแบคทีเรียก่อโรค ทำให้เกิด การท้องเสียหลังหย่านม (post weaning diarrhea) (Lallès et al., 2007; Superchi et al., 2017) เมื่อวิลล่าฟ้อตัว (villus atrophy) จะต้องใช้เวลาประมาณ 7 – 14 วันในการฟื้นฟู ซึ่งไอยาหารเป็น สารอาหารหนึ่งที่มีการศึกษาอย่างแพร่หลายในการใช้เพื่อช่วยการฟื้นฟู และลดผลกระทบจาก การฟ้อตัวของวิลล่าในลำไส้เล็ก เช่น การใช้เปลือกข้าวโอ๊ตร่วมกับฟางข้าวสาลี (Gerritsen et al., 2012) แกลบข้าวบาร์เลี้ย (Hedemann et al., 2006) เฮลลูโลส (Hanczakowska et al., 2008) และหญ้าบด (Skiba et al., 2005) เป็นต้น นอกจากนี้ไอยาหารยังช่วยเพิ่มการหลังเข็นไซม์ เช่น เอ็นไซม์อะไมเลส และเอ็นไซม์ที่สร้างจากบรชบอร์เดอร์ (brush border enzymes) (Gerritsen et al., 2012) แต่ถึงอย่างไรก็ตามการใช้ไอยาหารในระดับที่สูงเกินไป อาจส่งผลกระทบต่อการย่อยได้ ของสารอาหารของสุกรหลังหย่านมได้ โดยเฉพาะการย่อยได้ของโปรตีนและพลังงาน (Yn et al., 2016) ซึ่งไอยาหารชนิดละลายน้ำ (soluble dietary fiber; sDF) และชนิดไม่ละลายน้ำ (insoluble dietary fiber; iDF) มีผลต่อระบบทางเดินอาหารต่างกัน โดย iDF ช่วยเพิ่มการหลังเข็นไซม์ในระบบ ทางเดินอาหาร เพิ่มน้ำหนักของกระเพาะอาหาร และส่งเสริมการทำงานของระบบทางเดินอาหาร

(Gerritsen et al., 2012; Hermes et al., 2009) ในขณะที่ sDF ทำหน้าที่เป็นพรีไบโอติก คือสามารถหมักย่อยโดยจุลินทรีย์ในระบบทางเดินอาหารส่วนท้าย ได้ผลผลิตเป็นกรดไขมันระเหยง่าย ซึ่งมีส่วนสำคัญในการฟื้นฟูเซลล์เยื่อบุทางเดินอาหาร เพิ่มจำนวนจุลินทรีย์ที่เป็นประโยชน์และควบคุมจุลินทรีย์ก่อโรค (Pluske et al., 2014)

ประเทศไทยมีศักยภาพในการผลิตและปรับเปลี่ยนค่าทางการเกษตร วัตถุดิบหลักในการผลิตอาหารสัตว์แบ่งเป็นแหล่งของพลังงาน ได้แก่ ข้าว ข้าวโพด มันสำปะหลัง และข้าวสาลี คิดเป็นประมาณ 60% ส่วนเหล่งของโปรตีน คือถั่วเหลืองและกาภัลวัลเหลือง คิดเป็น 28% ปลาป่นประมาณ 3% และอื่นๆ อีก 9% (สมาคมผู้ผลิตอาหารสัตว์ไทย, 2561) ซึ่งวัตถุดิบผลผลิตอยู่ได้จาก การเกษตรเหล่านี้มีปริมาณเยื่อยอยู่สูง จึงจำเป็นมาศึกษาปริมาณไขอาหารชนิดละลายน้ำ (soluble dietary fiber; sDF) และไขอาหารชนิดไม่ละลายน้ำ (insoluble dietary fiber; iDF) เพื่อเป็นแหล่งของไขอาหารสำหรับอาหารสัตว์ได้ แต่ทั้งนี้จะต้องมีการศึกษาระดับและสัดส่วน ของไขอาหารชนิดไม่ละลายน้ำต่อไขอาหารอาหารชนิดละลายน้ำ (iDF:sDF) ที่เหมาะสม เพื่อให้เกิดประสิทธิผลสูงสุดและไม่ส่งผลกระทบต่อประสิทธิภาพการผลิตของสัตว์

### สมมติฐานของการวิจัย

วัตถุดิบไขอาหารสูงที่คัดเลือกจากผลผลิตได้จากอุตสาหกรรมทางการเกษตร เมื่อใช้ในอาหารสุกรหลังหย่านม ในระดับ (dietary fiber level) และมีสัดส่วนของ iDF:sDF ที่เหมาะสม สามารถส่งเสริมการพัฒนาระบบททางเดินอาหาร ลดน้ำหนักของลำไส้ และระบบ屁เเศนของแบคทีเรียในทางเดินอาหารส่วนท้ายของสุกรหลังหย่านม ทั้งนี้จะต้องไม่มีผลกระทบต่อการย่อยได้ของสารอาหาร และประสิทธิภาพการผลิตของสัตว์

## บทที่ 2

### เอกสารและงานวิจัยที่เกี่ยวข้อง

#### ใยอาหาร (Dietary fiber)

สมาคมนักเคมีธัญพืชแห่งอเมริกา (American Association of Cereals Chemists: AACC) ให้คำจำกัดความของใยอาหาร (dietary fiber) คือสารประกอบของคาร์บอโนไฮเดรตที่มีตั้งแต่ 3 พอดีเมอร์ขึ้นไป หรือคาร์บอโนไฮเดรตที่มีโครงสร้างคล้ายกันและเป็นองค์ประกอบของผนังเซลล์พืช ซึ่งไม่สามารถถูกย่อยโดยเอนไซม์ที่ผลิตจากตัวสัตว์ (endogenous enzymes) และดูดซึมในลำไส้ เล็กของสัตว์ได้ สำหรับทางด้านองค์การอนามัยโลก (World health organization: WHO) และองค์กรอาหารและการเกษตรแห่งสหประชาชาติ (Food and Agriculture Organization: FAO) ได้ให้คำจำกัดความของ ใยอาหาร ไว้ว่าคือสารประกอบคาร์บอโนไฮเดรตที่มีตั้งแต่ 10 พอดีเมอร์ขึ้นไป และไม่สามารถย่อยลายได้ภายในลำไส้เล็กของสัตว์ (McCleary, 2003) ดังนั้น ใยอาหาร จึงเป็นสารที่เป็นองค์ประกอบของผนังเซลล์พืช ประกอบด้วยสารโพลิแซคาร์ไดโอซิโลไซด์ โซลิโกลแซคาร์ไดโอซิโลไซด์ ลิกนิน และสารอื่นๆ ที่มีบทบาทในการส่งเสริมการทำงานของตัวรับประทาน เช่น ร่างกายของมนุษย์และสัตว์ เช่น การระบายน้ำ (laxation) การรักษาระดับของคลอเรสเทโรลและน้ำตาลในเลือด เป็นต้น

ดังนั้น ใยอาหารจึงครอบคลุมสารประกอบที่มีโครงสร้างแตกต่างกันหลายชนิด สารเหล่านี้มีความแตกต่างของโมโนเมอร์ที่เป็นองค์ประกอบ พันธะระหว่างโมโนเมอร์ ความยาวของสายโพลิเมอร์ แหล่งที่พบ และชนิดของเช่นข้าว (Capuano, 2017) ซึ่งสามารถแบ่งได้ดังนี้ (Dhingra et al., 2012)

1. เซลลูโลส (cellulose) เป็นองค์ประกอบหลักของผนังเซลล์ เป็นสารที่ประกอบด้วยกลูโคสต่อกันด้วยพันธะไกลด์ไซด์ที่ต่อแน่น  $\beta$ -1,4 เป็นสายยาว ไม่มีแขนง โครงสร้างของเซลลูโลส จะเกิดการสร้างพันธะไฮโดรเจนระหว่างหมู่ไฮดรอกซิลที่ว่างอยู่ ทำให้เกิดโครงสร้างที่หับห้อนหรือเป็นผลึกที่มีความหนาแน่นมาก ทำให้โครงสร้างของพืชมีความแข็งแรงและยึดหยุ่น สามารถคงอยู่ได้โดยไม่แตกหัก โครงสร้างส่วนที่เป็นผลึกจะดูดซับน้ำได้น้อยกว่าจึงทำให้เซลลูโลส ละลายน้ำได้น้อย และถูกจัดอยู่ในกลุ่มใยอาหารที่ไม่ละลายน้ำ อีกทั้งยังทนต่อการย่อยด้วยกรด การป้องกัน และการย่อยของเอนไซม์ในระบบทางเดินอาหาร (สิริมา ชินสาร, และกฤษณะ ชินสาร, 2558)

2. เยมิเซลลูโลส (hemicellulose) เป็น heteropolysaccharides ที่เป็นองค์ประกอบของผนังเซลล์พืชร่วมกับเซลลูโลสและลิกนิน มีชนิดของน้ำตาลตั้งแต่ 2-4 ชนิดขึ้นไป ทั้งน้ำตาล

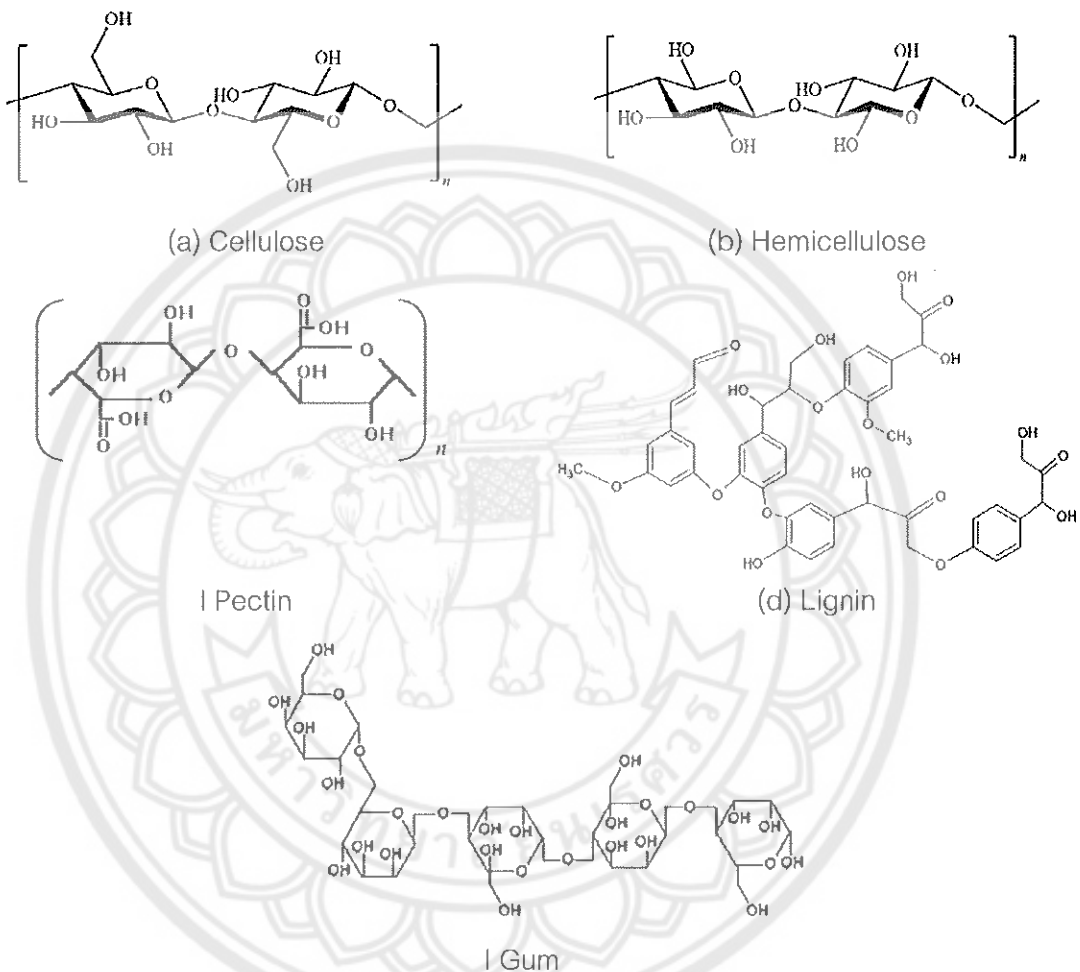
เพนไทสและน้ำตาลเยกไซส โดยมีเลกุลของน้ำตาลต่อกันด้วยพันธะ  $\beta$ -1,4 glucosidic linkage เมื่อความชื้นลดลง แต่หากต่างที่เข้มข้นจะมีน้ำตาลหลุดร่วงทั้งสารไมเลกุลเล็ก ๆ เป็นเช่น xylose, mannose, arabinose และน้ำตาลอื่นอีกหลายชนิด ทำให้เข้มข้นลดลงที่ละลายน้ำและไม่ละลายน้ำ พบเป็นองค์ประกอบของพืชผัก ผลไม้ พืชตระกูลถั่ว และผลไม้เปลือกแข็ง พบประมาณ 1 ใน 3 ของไข้อาหารทั้งหมด (Perry, & Ying, 2016)

3. ลิกนิน (lignin) เป็นโครงสร้างเชิงซ้อนของอะโรมาติกแอลกอฮอล์ (aromatic alcohols) ไม่ได้เป็นสารไมก่ออันตรายคากาไรด์ แต่ลิกนินเป็นองค์ประกอบของผนังเซลล์ชั้นที่สอง และระหว่างชั้นเด่นไป ทำหน้าที่เข้มข้นโดยไมเลกุลของเซลลูโลสและเอนิเซลลูโลส เพื่อเสริมสร้างความแข็งแรงของผนังเซลล์ ลดการสูญเสียน้ำจากเนื้อเยื่ออ่อนและผนังเซลล์ และป้องกันการเข้าทำลายของจุลินทรีย์ ลิกนินเป็นสารที่ไม่ละลายน้ำ และไม่มีคุณสมบัติทางการยึดหยุ่น มีความคงทนมาก ซึ่งพืชแต่ละชนิดมีปริมาณลิกนินไม่เท่ากัน ขึ้นอยู่กับชนิดและอายุของพืช พืชที่มีอายุมากจะมีปริมาณลิกนินสูง

4. เพคติน (pectin) เป็นสารกลุ่มโพลิแซคคาไรด์ที่มีหน่วยย่อยเป็น D-galacturonic acid ประมาณ 30-1,000 ยูนิต เรียกว่าเป็นสายยาว อาจมีแขนงข้างเป็น arabinose, xylose, galactose หรือ rhamnose เป็นองค์ประกอบของผนังเซลล์พืช และทำหน้าที่ประสานระหว่างเซลล์ของพืช เพคตินมีคุณสมบัติละลายน้ำได้ดี ความสามารถในการอุ้มน้ำสูง และมีคุณสมบัติการเกิดเจล และเกิดความชั้นหนึ่งในระหว่างที่อยู่ในทางเดินอาหารได้ นอกจากนี้สามารถถูกเมตาโนไลส์ได้โดยแบคทีเรียในลำไส้ใหญ่ และสามารถช่วยในการหล่อหลอมของอาหารในลำไส้เล็ก ลดระยะเวลาที่กระเพาะอาหารว่าง (gastric emptying) พบมากในผลไม้ โดยเฉพาะส่วนเปลือก เช่น แอปเปิล ลูกแพร์ แอพริคอต เชอร์รี่ และส้ม และยังพบในผักและพืชตระกูลถั่ว ประมาณ 15-20% สำหรับในอาหารสัตว์พบในภาคจากพืชตระกูลส้มและการจากหัวใจรูปปีก (Drochner et al., 2004; Perry, & Ying, 2016)

5. กัม (gums) และยาง (mucilages) เป็นไข้อาหารประเภทหนึ่ง ไม่ได้ทำหน้าที่เป็นองค์ประกอบของผนังเซลล์ แต่เป็นสารคัดหลังพิเศษของพืช โครงสร้างแขนงเป็นโพลิแซคคาไรด์สายยาว ซึ่งทำให้มีคุณสมบัติการเกิดเจล จับกับน้ำหรือสารอินทรีย์ชนิดอื่น ไข้อาหารประเภทนี้ได้แก่ กัวกัม (guar gum) และกัมอะราบิก (gum arabic) กัวกัม เป็นสารที่สกัดได้จากเมล็ดกัว (Cyamopsis tetragonolobus; guar) ประกอบด้วยน้ำตาล galactomannan เป็นหลัก มักใช้เป็นตัวแทนของไข้อาหารชนิดที่ละลายน้ำ ส่วนกัมอะราบิก เป็นยางที่ขับออกจากต้นไม้สกุลอะคาเซีย (acacia) เป็นเขตเทือกเขาออลิแซคคาไรด์ขนาดใหญ่ ประกอบด้วยน้ำตาลและอนุพันธ์ 4 ชนิด คือ

น้ำตาลกาแลคโตส (galactose, 44%) อะราบินอส (arabinose, 27%) แรมโนส (L-rhamnose, 13%) และกรดกลูโคโรนิก (glucuronic acid, 14.5%) สำหรับยาง (mucilage) พบรากหลังภายใน เอ็นโนสเปร์มของพืช เพื่อป้องกันไม่ให้เกิดการขยายตัวมากเกินไป



ภาพ 1 โครงสร้างของใยอาหารแต่ละชนิด

ที่มา: หมายเหตุ ทั่วไป ภัณฑ์และวัสดุ 2557

นอกจากนี้ หากจำแนกใยอาหารตามคุณสมบัติการละลายน้ำ สามารถแบ่งออกเป็น 2 กลุ่ม คือ ชนิดละลายน้ำ (soluble dietary fiber, sDF) และชนิดไม่ละลายน้ำ (insoluble dietary fiber, iDF) ซึ่งคุณสมบัติการละลายน้ำมีความเกี่ยวข้องกับคุณสมบัติการดูดซึมน้ำ (water holding

capacity) ความชั้นหนึดและระดับของการเกิดการหมักย่อย (degree of fermentation) โดยอุณหภูมิ ในระบบทางเดินอาหาร ซึ่งจะกล่าวในรายละเอียดต่อไปนี้ (Williams et al., 2017)

### 1. ใยอาหารชนิดละลายน้ำ (soluble dietary fiber; sDF)

ใยอาหารกลุ่มละลายน้ำมีคุณสมบัติเพิ่มความชั้นหนึดของสิ่งย่อยในลำไส้ ทั้งนี้ระดับของการละลายขึ้นอยู่กับโครงสร้างทางเคมี และน้ำหนักโมเลกุลของใยอาหาร ใยอาหารกลุ่มนี้ช่วยเพิ่มระยะเวลาของอาหารในทางเดินอาหาร ทำให้อาหารอยู่ในทางเดินอาหารนานขึ้น ลดช่วงเวลาที่กระเพาะอาหารจ่ำง (gastric emptying) ช่วยลดความเร็วของการปลดปล่อยน้ำตาล ผ่านการยับยั้งการทำงานของเอนไซม์อะไมเลส ทำให้สามารถควบคุมระดับน้ำตาลในเลือด ไยอาหารในกลุ่มนี้ได้แก่ เพคติน (Pectin) อะราบิโนไฮดรอกซ์เจลแลน (Arabinoxylan) และ Mixed-Linkage Glucans

### 2. ใยอาหารชนิดไม่ละลายน้ำ (insoluble dietary fiber; IDF)

ใยอาหารกลุ่มนี้ทำหน้าที่เป็นโครงสร้างหลักของผังเซลล์พีช ทนต่อการหมักย่อย ในทางเดินอาหารส่วนท้าย ใยอาหารกลุ่มนี้ ได้แก่ เซลลูโลส เป็นต้านทานการย่อย (resistant starch) ลิกนิน และเอมิเซลลูโลสบางส่วน

ชนิดของไยอาหารในวัตถุดิบมีความแปรปรวนอันเนื่องมาจากการสấyพันธุ์ การเก็บเกี่ยว และองค์ประกอบของเนื้อเยื่อของพีช ซึ่งแปรผันตามสภาพแวดล้อมของการปลูก สำหรับวัตถุดิบ ที่เป็นผลผลอยได้จากการกระบวนการผลิตในอุตสาหกรรมอาหาร กรรมวิธีในการผลิตนั้น มีความสัมพันธ์กับชนิดและปริมาณของไยอาหารโดยตรง (Fushai et al., 2019) ซึ่งรายละเอียด การจำแนกไยอาหารและแหล่งที่มักพบตั้งแต่ดังใน ตาราง 1

ตาราง 1 Classification of dietary fiber according to water solubility

ชนิดของใยอาหาร	องค์ประกอบ	คำอธิบาย	แหล่งที่พบ
ใยอาหารนิดไม่ละลายในน้ำ	เซลลูโลส	เป็นโครงสร้างหลักของผนังเซลล์พืช ไม่ละลายในต่างๆ แต่ละลายได้ในกรด	พืชทุกชนิด (พืชผัก หัวชูการบีท รำต่างๆ)
	เอมิเซลลูโลส	เป็นโพลิแซคคาไรด์ที่เป็นองค์ประกอบหนึ่งของผนังเซลล์พืช โครงสร้างแกนต่อ กันด้วยพันธะ $\beta$ -1,4 glycosidic linkage ละลายได้ในต่างๆ อ่อน	ห่านพืช
	ลิกนิน	เป็นสารที่ไม่จัดอยู่ในกลุ่มคาร์บอไฮเดรต แต่พบในผนังเซลล์ มีโครงสร้างซับซ้อน ทนต่อการย่อยสลายโดยแบคทีเรีย	เปลือกไม้
ใยอาหารชนิดละลายในน้ำ	เพคติน	เป็นองค์ประกอบของผนังเซลล์ปฐมภูมิ (primary cell wall) ประกอบด้วย D-galacturonic acid สามารถละลายได้ในน้ำ และมีคุณสมบัติการเกิดเจล	ผลไม้ พืชผัก พืชตระกูลถั่ว หัวชูการบีท มันฝรั่ง
	กัม	เป็นสารที่พืชหลังเมื่อเกิดการบาดเจ็บ โดยเซลล์ที่ทำหน้าที่พิเศษ ใช้ในเชิงอาหารและยา	เม็ดของพืชตระกูลถั่ว สารสกัดจากสาหร่าย ทะเล
	ยาง	สังเคราะห์ขึ้นโดยพืชเพื่อป้องกันการคายน้ำของเย็นไดสเปร์ม มีคุณสมบัติซับน้ำ (hydrophilic) เป็นสารให้ความคงตัว (stabilizer)	สารสกัดจากพืช (gum acacia, gum karaya, gum tragacanth)

ที่มา: Dhingra et al., 2012

### การวิเคราะห์ปริมาณเยื่อใยและใยอาหาร

จากคำจำกัดความของใยอาหาร ซึ่งหมายความถึงสารกลุ่มคาร์บอไฮเดรตที่เป็นองค์ประกอบของผนังเซลล์ รวมถึงสารที่ไม่ใช่คาร์บอไฮเดรตอย่าง ลิกนิน ที่ไม่สามารถย่อยได้โดยเอ็นไซม์ภายในลำไส้เล็กของสัตว์ ดังนั้นการประเมินปริมาณของใยอาหารนั้น มีความเกี่ยวข้องกับวิธีการในการวิเคราะห์ โดยการวิเคราะห์เยื่อใยทางด้านอาหารสัตว์มักแสดงในรูปของเยื่อใยรวม

(crude fiber; CF) และการวิเคราะห์ผงน้ำเซลล์ (detergent fiber) สำหรับทางด้านโภชนาการ อาหารสัตว์เลี้ยงจะมีการวิเคราะห์ในรูปปริมาณไข้อาหารทั้งหมด (total dietary fiber; DF) ซึ่งแต่ละ วิธีมีความแตกต่างกัน ดังนี้ (Schenkel, 2017)

1. การวิเคราะห์เยื่อไผ่รวม หรือเยื่อไผ่หยาบ (crude fiber; CF) หรืออาจเรียกในอีกชื่อว่า Weende analysis เป็นวิธีการดั้งเดิมในการวิเคราะห์ปริมาณเยื่อไผ่ในอาหาร ใช้มานานกว่า 200 ปี คิดคันโดย Henneberg, & Strohmann (1859) โดยค่าที่ได้จากการวิเคราะห์เรียกว่าเยื่อไผ่หยาบ หรือเยื่อไผ่รวม คือส่วนที่เหลือจากการย่อยอย่างด้วยกรดอ่อน (สารละลายกรดชั้ลฟูริก 1.25%) และด่างอ่อน (สารละลายโซเดียมไฮดรอกไซด์ 1.25%) ก่อนการวิเคราะห์จะต้องเตรียมตัวอย่าง โดยการบด ทำให้แห้ง และสกัดไขมันออกจากตัวอย่างก่อน ภาพที่เหลือจากการย่อยนำไปบนแห้ง และวิเคราะห์หาเด้า เพื่อนำมาคำนวณปริมาณเยื่อไผ่หยาบ องค์ประกอบหลักของภาพที่ได้จากการย่อย เป็นเซลลูโลส ลิกนิน และเอมิเซลลูโลสบางส่วน โดยจะมีสัดส่วนขององค์ประกอบจากวิเคราะห์ เยื่อไผ่หยาบโดยประมาณคือ เซลลูโลส 50-80% เอมิเซลลูโลส 20% และลิกนิน 10-50% (Ziggers, 2012) วิธีการนี้อาจทำให้ค่าวีโน่เดรตที่ละลายน้ำได้บางส่วนจะถูกชะล้างออกไปกับ สารละลาย

2. การวิเคราะห์แบบใช้สารชีวะล้าง (Detergent fiber) เป็นการหาปริมาณเยื่อไผ่ โดยใช้ สารชีวะล้าง ตามวิธีการของ Goering, & Van Soest (1970) และพัฒนาอย่างต่อเนื่อง ปัจจุบันได้ ขึ้นอยู่ตามวิธีการของ Van Soest et al. (1991) วิธีการนี้อาจเรียกอีกชื่อหนึ่งว่า Van Soest system เป็นการหาองค์ประกอบของผงน้ำเซลล์พีช แบ่งเป็น

2.1 Neutral detergent fiber (NDF) เป็นการวัดค่าองค์ประกอบของพลังเซลล์พีชที่ไม่ละลายในสารชีวะล้างที่เป็นกลาง ส่วนที่เหลือประกอบด้วย cellulose, hemicellulose และ lignin แต่ว่านี่มีข้อจำกัดคือจะมีการสูญเสียสารประกอบบางส่วนที่ละลายได้ในสารละลายที่เป็นกลางไป และไม่สามารถชีวะล้างแบ่งในตัวอย่างออกได้หมด

2.2 Acid detergent fiber (ADF) ใช้การละลายตัวอย่างในสารละลายที่เป็นกรด ส่วนที่เหลือคือ cellulose กับ lignin นำมาคำนวณเป็นค่า ADF

2.3 Acid detergent lignin (ADL) ได้จากการนำส่วนที่เหลือจากการวิเคราะห์ ADF แฟ้มเกรดชัลฟูริกเข้มข้น ส่วนที่เหลือจะเป็นลิกนิน

ตัวอย่างจะนำมาผ่านย่อยในสารชีวะล้างที่มีฤทธิ์เป็นกลาง (NDF) และสารชีวะล้างที่มีฤทธิ์เป็นกรด (ADF) จากนั้นจะถูกนำไปแฟ้มในเกรดชัลฟูริกเข้มข้น (ADL) ค่าນ้ำหนักที่เหลือสามารถ คำนวณปริมาณของเอมิเซลลูโลส (hemicellulose) ได้จากการนำค่า NDF-ADF และปริมาณ

เซลลูโลส (cellulose) "ได้จากการนำค่า ADF-ADL การวิเคราะห์ด้วยวิธีนี้ครอบคลุมโดยอาหารที่ไม่ละลายน้ำได้มากขึ้น ได้แก่ เซลลูโลส เอเมเซลลูโลส และลิกนิน แต่ยังไม่ครอบคลุมโดยอาหารกลุ่มที่ละลายน้ำได้ เช่นแพคติน กัม และเบต้ากูลาแคน วิธีการนี้เป็นที่นิยมในการประเมินเชื้อไขของวัตถุดินสำหรับสัตว์กระเพาะรวม เช่น พืชอาหารหลายชนิด นอกจากนี้ยังพบว่าเป็นแหล่งโปรตีนที่มีปริมาณเพียงพอ เช่นหัญพืช หรือเมล็ดพืช เป็นต้น (Agyekum and Nyachoti, 2017) ภายหลังมีการพัฒนาประยุกต์ใช้เอ็นไซม์ cosine และโซเดียมอลไฟต์ เพื่อจัดแบ่งและโปรดีนออกไป แต่ขั้นตอนมีความยุ่งยากไม่เหมาะสมสำหรับขั้นตอนการทำงานประจำในห้องปฏิบัติการ

3. การวิเคราะห์โดยอาหาร (Total dietary fiber; DF) เป็นวิธีการหาปริมาณโดยอาหารในอาหารและผลิตภัณฑ์ โดยมีหลักการคือคำนวณปริมาณที่สามารถย่อยสลายในระบบทางเดินอาหาร โดยใช้เอ็นไซม์ ส่วนจะความเป็นกรดด่าง และอุณหภูมิที่ใกล้เคียงสภาวะการย่อยในร่างกาย ทำให้ปริมาณโดยอาหารที่ได้มีความแม่นยำกว่าวิเคราะห์แบบใช้สารระบายน้ำ (นัยนาบุญทวีวัฒน์, 2548) วิธีการในการวิเคราะห์ปริมาณโดยอาหารสามารถแบ่งได้เป็น 2 วิธี คือ enzymatic-gravimetric method ซึ่งวิธีนี้จะใช้เอ็นไซม์ในการย่อยแบ่งและโปรดีนออกจากตัวอย่างสิ่งที่เหลืออนามากค่าเสียและโปรดีน เพื่อใช้คำนวณหาปริมาณโดยอาหาร และอีกวิธีหนึ่ง คือ enzymatic-chemical method เป็นวิธีการที่ใช้เอ็นไซม์ในการย่อยตัวอย่างและย่อสิ่งที่เหลือ (โพลีแซคคาไรด์) ด้วยกรดอีกครั้งให้ได้เป็นน้ำตาลเชิงเดี่ยว จากนั้นวิเคราะห์น้ำตาลโดยใช้วิธี gas liquid chromatography (GLC) หรือ high-performance liquid chromatography (HPLC) ส่วนการดูรูปในวิเคราะห์โดยวิธีการวัดสี (colorimetric method)

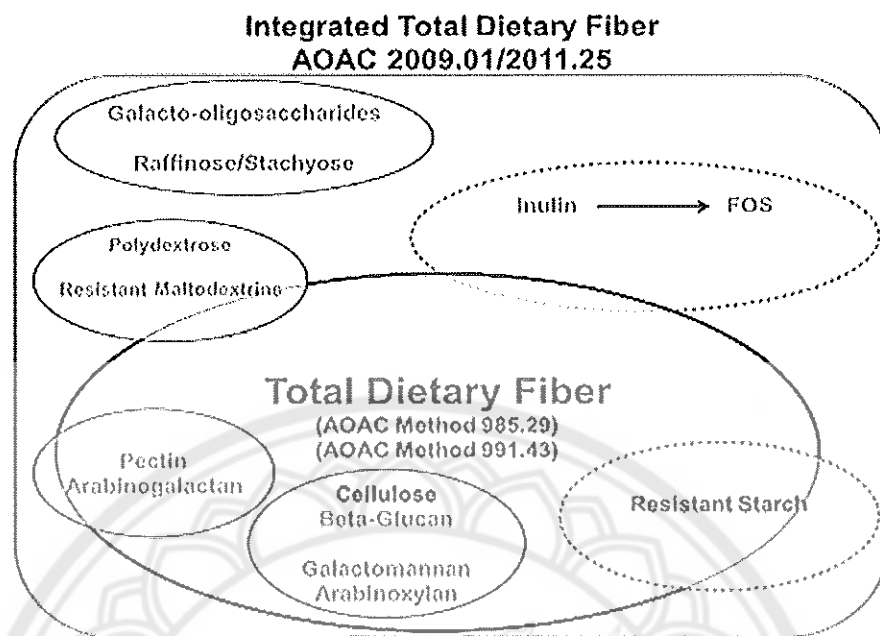
การพัฒนาวิธีการวิเคราะห์โดยอาหารแบบ total dietary fiber นั้น เริ่มจาก Prosky et al. (1985) พัฒนาวิธีการวิเคราะห์เป็นแบบ enzymatic-gravimetric method ที่มีความแม่นยำและเป็นวิธีแรกที่ Association of Official Analytical Chemists (AOAC) นำมาใช้เพื่อหาปริมาณโดยอาหาร (AOAC 985.25) หลังจากนั้นวิธีการนี้ได้ถูกพัฒนาอีกโดย Lee et al. (1992) โดยวิธีการนี้มีการเปลี่ยนบันฟเฟอร์ที่ใช้ ลดสารเคมีและลดขั้นตอนบางอย่าง นอกจากจะวิเคราะห์ปริมาณโดยอาหารทั้งหมดแล้ว ยังสามารถวิเคราะห์ปริมาณของโดยอาหารที่ไม่ละลายน้ำ (insoluble dietary fiber) และโดยอาหารที่ละลายน้ำ (soluble dietary fiber) ได้อีกด้วย ทำให้วิธีการนี้เจងนิยมให้กันอย่างแพร่หลาย (AOAC 991.43) ซึ่งทั้งสองวิธีการที่กล่าวมาต่างถือเป็นวิธีการแบบดั้งเดิม และหลังจากมีการปรับปรุงคำนิยามของโดยอาหารของคณะกรรมการมาตรฐานอาหารระหว่างประเทศ (CODEX) ทำให้มีการตัดแปลงวิธีการวิเคราะห์โดย McCleary et al. (2012)

ที่สามารถวิเคราะห์かるไปได้โดยเดรตที่ไม่สามารถย่อยได้ที่มีในเมอร์ 3 ถึง 9 โดยทุกตามคำจำกัดความใหม่ที่ให้สารกลุ่มนี้จัดเป็นไขอาหารชนิดหนึ่งด้วย (AOAC 2009.01 และ 2011.25) โดยขอบเขตการวิเคราะห์ของวิธีทั้งสามวิธีแสดงในภาพ 3



ภาพ 2 องค์ประกอบของไขอาหารที่ได้จากการวิเคราะห์แบบต่างๆ

ที่มา: Choct, 2015



ภาพ 3 ขอบเขตการวิเคราะห์ไข้อาหารของวิธีแบบดั้งเดิม (AOAC 985.29 และ AOAC 991.43) และวิธีการดัดแปลง (AOAC 2001.09 /2011.25)

ที่มา: Mangan, 2014

การวิเคราะห์ไข้อาหารรวมนั้นจำเป็นอย่างยิ่งในการพัฒนาด้านโภชนาศาสตร์ ทั้งในมนุษย์และสัตว์เลี้ยง โดยอาหารที่ละลายน้ำและไข้อาหารที่ไม่ละลายน้ำต่างมีผลต่อการทำงานของระบบทางเดินอาหารและเมtabolismus ที่เกี่ยวข้อง โดยไข้อาหารที่ละลายน้ำมีบทบาทเกี่ยวข้องกับการเกิดโรคในระบบทางเดินอาหาร โรคอ้วน โรคเบาหวาน และโรคที่เกิดจากความผิดปกติของเมtabolismus อื่น (metabolic disorders) ในขณะที่ไข้อาหารชนิดไม่ละลายน้ำมีบทบาทในการควบคุมการทำงานของลำไส้ การดูดซึมกลูโคสและเมtabolismus ของไขมัน เป็นต้น

4. การวิเคราะห์สารโพลิแซคคาไรด์ที่ไม่ใช้แป้ง (non-starch polysaccharide; NSP) วิธีการวิเคราะห์นี้เป็นการรวมวิธีการวิเคราะห์ โดยการใช้เอ็นไซม์ร่วมกับการวิเคราะห์ปริมาณของน้ำตาล โดยใช้เทคนิคเคมิโตรไฟฟ์ โดยเมื่อตัวอย่างผ่านการย่อยด้วยเอ็นไซม์แล้ว กากที่ได้จะประกอบด้วยเซลลูโลส พลีแซคคาไรด์ที่ไม่ใช่เซลลูโลส และลิกนิน จากนั้นนำ kak ไปผ่านกระบวนการย่อยด้วยกรด และวัดปริมาณน้ำตาลรวมด้วยเครื่อง colorimeter (Southgate, 1969) จากนั้นก็มีพัฒนาวิธีการวิเคราะห์ปริมาณน้ำตาลรวมถึงโอลิโกแซคคาไรด์โดยใช้เทคนิค gas-liquid chromatography (Englyst, 1982) และ liquid chromatography (McCleary et al., 2012)

ระหว่างแต่ละวิธีการนั้นผลปริมาณไขอาหารที่ได้นั้นมีความแตกต่างกัน ดังการทดลองของ Wolters et al. (1992) ได้ทำการทดลองเปรียบเทียบวิธีการวิเคราะห์ไขอาหารแบบ van Soest system เปรียบเทียบกับการวิเคราะห์ไขอาหาร AOAC (Prosky et al., 1985) ซึ่งเป็นวิธีการวิเคราะห์แบบ enzymatic-gravimetric และการวิเคราะห์แบบ Englyst et al. (2007) ซึ่งเป็นการวิเคราะห์แบบ enzymatic-chromatographic ในวัตถุดิน 2 ชนิด คือ whole wheat และ toasted soy bean ดังแสดงใน Table 2 พบว่าการวิเคราะห์ van Soest system นั้นให้ค่าวิเคราะห์ต่ำที่สุด นอกจากนี้วิธีวิเคราะห์ไขอาหารตามวิธีการของ AOAC ให้ค่าวิเคราะห์สูงกว่าวิธีวิเคราะห์แบบ Englyst et al. (2007) เนื่องมาจากวิธีการของ AOAC มีการรวมปริมาณลิกโนนและเก้าไธวด้วย

ตาราง 2 Dietary fiber content in whole wheat and toasted soy bean determined by different methods (mean  $\pm$  standard deviation) in g/100 gDM

Methods	Whole wheat	Toasted soy bean
NDF	10.8 $\pm$ 0.2	44.1 $\pm$ 0.5
ADF	2.9 $\pm$ 0.2	31.5 $\pm$ 0.2
AOAC – total	12.0 $\pm$ 0.4	53.9 $\pm$ 2.3
AOAC – insoluble	10.1 $\pm$ 0.6	49.0 $\pm$ 0.8
AOAC – soluble	1.1 $\pm$ 0.4	6.4 $\pm$ 0.5
Englyst – total	8.9 $\pm$ 0.1	44.8 $\pm$ 0.2
Englyst – insoluble	7.2 $\pm$ 0.1	38.2 $\pm$ 0.5
Englyst –soluble	3.3 $\pm$ 0.1	7.6 $\pm$ 0.2

ที่มา: Wolters et al., 1992

#### คุณสมบัติทางกายภาพของไขอาหาร

คุณสมบัติทางกายภาพของไขอาหาร มีความสำคัญต่อการเปลี่ยนแปลงของไขอาหาร เมื่ออยู่ในระบบทางเดินอาหาร ทั้งขนาดอนุภาค การละลาย คุณสมบัติการอุ้มน้ำ และความชื้นหนืด ความสามารถในการละลายน้ำของไขอาหารขึ้นอยู่กับโครงสร้างทางเคมี และลักษณะทางกายภาพ ของไขอาหาร โดยไขอาหารที่มีโครงสร้างเป็นสายยาว ต่อกันด้วยพันธะเดียว ไม่มีแขนงข้าง จะมีความสามารถละลายน้ำได้ต่ำ ในขณะที่ไขอาหารที่มีแขนงข้าง เช่น เอมิเซลลูลโคลส แขนงข้างนั้น

มักจะละลายน้ำได้ดี หากจากน้ำแล้วก็จะสามารถคงสภาพของวัตถุดิบมีความสำคัญต่ออนุภาคและความหนาแน่น การย่อยและการเปลี่ยนแปลงของจุลินทรีย์ในระบบทางเดินอาหาร (Jha, & Berrocoso, 2016)

### 1. ความหนาแน่นและอนุภาค

ความหนาแน่นของวัตถุดิบ สามารถประเมินได้จากน้ำหนักของวัตถุดิบเมื่อใส่ลงในภาชนะที่ทราบปริมาตรแล้วหัด ความหนาแน่นมีผลกระทบโดยตรงกับปริมาณการกินอาหารของสัตว์ และยังมีความสัมพันธ์เชิงลบกับปริมาณ NDF และไขอาหารนิดไม่ถ้วนน้ำในวัตถุดิบ ด้วยเหตุนี้ การนำวัตถุดิบที่มีไขอาหารสูงมาใช้มาก ทำให้สัตว์ได้รับอาหารที่มีความหนาแน่นของอาหารต่ำ หรืออีกนัยหนึ่งคือมีปริมาณไขอาหารสูง สัตว์จะปรับตัวโดยเพิ่มปริมาณการกินอาหารขึ้น เพื่อให้ได้พลังงานอย่างเพียงพอต่อความต้องการของร่างกาย ก่อให้เกิดการขยายตัวของอวัยวะในระบบทางเดินอาหาร โดยเฉพาะกระเพาะอาหาร เป็นการเพิ่มความดู (Gerritsen et al., 2012) สำหรับขนาดอนุภาคน้ำมีความสำคัญต่อการไหลผ่าน การหมักย่อย และการขับถ่าย โดยขนาดอนุภาคขึ้นอยู่กับชนิดของพืชที่เป็นแหล่งของไขอาหารและการผ่านกระบวนการของวัตถุดิบ จากการศึกษาของ Sangnark, & Noomhorm (2003) รายงานว่าอนุภาคมีความสัมพันธ์เชิงลบกับความหนาแน่น กล่าวคือ หากลดขนาดอนุภาคลง ความหนาแน่นของวัตถุดิบจะเพิ่มขึ้น

### 2. คุณสมบัติการจับน้ำ (hydration properties)

คุณสมบัติการจับน้ำ เป็นคุณสมบัติที่บ่งชี้ถึงปริมาตรของรูพรุน (pore volume) ของวัตถุดิบ และเกี่ยวข้องกับลักษณะของไขอาหารเมื่ออยู่ในระบบทางเดินอาหาร หรือระหว่างที่แหล่งน้ำในทางเดินอาหาร เช่น การเกิดความชื้นหนืดและการหมักย่อย เป็นต้น ปัจจัยที่มีผลต่อปฏิกิริยาการรับน้ำของวัตถุดิบได้แก่ กระบวนการผลิตต่างๆ เช่น การบด การอบแห้ง การให้ความร้อนหรือการเข้ากับน้ำ ตลอดจนการเปลี่ยนแปลงโครงสร้างของไขอาหาร รวมถึงคุณสมบัติการจับน้ำด้วย (Dhingra et al., 2012) โดยค่าที่นิยมใช้ในการประเมินสมบัติการจับน้ำของวัตถุดิบคือ ค่าการพองตัว (swelling capacity) และความสามารถการจับน้ำ (water binding capacity)

2.1 การพองตัว (swelling capacity) เป็นการประเมินปริมาตรของไขอาหารเมื่อถูกซับน้ำเข้าไปในโครงสร้าง ซึ่งเป็นขั้นตอนแรกของการละลาย โดยโครงสร้างของไขอาหารจะขยายยืดออก (extended) และเกิดการกระจาย (dispersed) ทำให้มีความฟานและง่ายต่อการเข้ากับน้ำ ถาวรสลายโดยอัตโนมัติ ซึ่งคุณสมบัตินี้จะไม่พบในไขอาหารที่มีโครงสร้างที่เป็นสายยาวและเรื่อมตัวโดยพันธะเดี่ยวที่มีความแข็งแรง เช่น เซลลูโลส (Eastwood, & Morris, 1992)

2.2 ความสามารถการจับน้ำ (water binding capacity) เป็นการประเมินปริมาณน้ำที่ไขอาหารสามารถกักเก็บไว้ได้ต่อน้ำหนักแห้ง โดยธรรมชาติไขอาหารเป็นสารที่มีคุณสมบัติซึ่งอน้ำทำให้สามารถกักกันน้ำภายในช่องว่างของโมเลกุลและช่องว่างของโครงสร้างของไขอาหารอีกด้วย โดยไขอาหารที่ละลายน้ำมักมีความสามารถการจับน้ำดีกว่าไขอาหารชนิดไม่ละลายน้ำอย่างเชลดูลิสหรือลิกนิน อย่างไรก็ดีนอกจากชนิดของไขอาหารแล้ว ยังมีอีกหลายปัจจัยที่เกี่ยวข้องความสามารถในการจับน้ำ เช่นค่าความเป็นกรดด่าง การเกิดประจุ และการผ่านกระบวนการบางอย่าง เช่น การให้ความร้อน การบด การเอ็กซ์ทรูด ซึ่งมีผลทำให้เกิดการเปลี่ยนแปลงโครงสร้างของไขอาหาร (Mudgil, 2017) ยกตัวอย่างผลการศึกษาการบดไขอาหารที่อนุภาคขนาดต่างๆ โดยการศึกษาภัณฑ์พิริยะที่ได้จากการแยกกะทิ (coconut residue) ที่ขนาดอนุภาค 1,127-550 μm พบร่วมกับเมื่อขนาดอนุภาคที่เล็กลง ทำให้วัตถุดิบมีความสามารถในการอุ้มน้ำสูงขึ้น (Raghavendra et al., 2004) ความสามารถในการอุ้มน้ำ (water holding capacity) จากการศึกษาของ Ngoc et al. (2012) พบร่วมกับความสามารถในการอุ้มน้ำของวัตถุดิบมีความสัมพันธ์กับปริมาณของโพลิแซคคาไรด์ที่ไม่ใช่เชลดูลิสและละลายได้ในน้ำ (soluble non-cellulosic polysaccharides; S-NCP) ( $R^2 = 0.82, P < 0.001$ )

2.3 สมบัติการละลาย (Solubility) และการเกิดความข้นหนืด คุณสมบัติทั้งสองประการมีความสัมพันธ์เชิงบวกกัน ซึ่งส่งผลกระทบต่อการย่อยและดูดซึมสารอาหาร และการไหลผ่านของตัวอย่างภายในทางเดินอาหารของสัตว์ กล่าวคือโพลิแซคคาไรด์ที่มีโครงสร้างเป็นสายยาว เช่น เชลดูลิส มีความสามารถในการละลายต่ำ ส่วนโพลิแซคคาไรด์ที่มีแขนงข้าง เช่น อะราบิโนไซด์ มีความสามารถในการละลายสูงกว่า สมบัติการละลายมีความเกี่ยวข้องกับการเกิดความข้นหนืด (viscosity)

### 3. ความสามารถในการจับน้ำมัน (Oil binding capacity)

เป็นคุณสมบัติที่บ่งบอกค่าความสามารถในการจับกับน้ำมันไว้ในโครงสร้างของไขอาหาร คุณสมบัติการจับน้ำมันนี้ มีความสัมพันธ์ไปในแนวเดียวกับสมบัติการจับน้ำ ไขอาหารที่ได้จากผักและผลไม้มักมีความสามารถในการจับน้ำมันค่อนข้างต่ำ ( $<2\%$ ) เมื่อเปรียบเทียบกับไขอาหารจากไขอาหารจากหัญพืช (2-4%) ซึ่งสันนิษฐานว่าอาจเกี่ยวข้องกับปริมาณของลิกนิน (Gadhe et al., 2018)

คุณสมบัติทางกายภาพของไขอาหาร นอกจากจะชี้นำอยู่กับลักษณะโครงสร้างชนิดของไขอาหารที่เป็นองค์ประกอบ และกระบวนการเตรียมไขอาหารแล้ว ยังชี้นำอยู่กับขนาดของอนุภาคซึ่งมีผลทำให้ลักษณะทางกายภาพของไขอาหารเปลี่ยนแปลงไป ดังผลการวิจัยของ

Gadhe et al. (2018) ที่ได้ทำการศึกษาอิทธิพลของขนาดอนุภาคของไขอาหารต่อคุณสมบัติทางกายภาพของไขอาหารจากหัวสูกรับ (Beta vulgaris) ผลการทดลองชี้ให้เห็นว่าเมื่อขนาดอนุภาคขนาดเล็ก ทำให้ความหนาแน่นของอนุภาคเพิ่มขึ้น ทำให้มีพื้นที่ภายในโครงสร้างลดลง ดังนั้นลักษณะทางกายภาพที่ต้องอาศัยลักษณะซองว่างภายในโครงสร้างของไขอาหาร มีผลทำให้ความสามารถในการจับน้ำ ความสามารถในการจับน้ำมัน และความสามารถในการพองตัวจึงลดลง นอกจากนี้ยังมีผลงานวิจัยที่ให้ผลแนวเดียวกันในฟักเจียว (ashgourd, *Benincasa hispida*) และหัวไชเท้า (radish, *Raphanus sativus*) อีกด้วย (Gupta, & Premavalli, 2010)

### การหมักย่อยของไขอาหารในระบบทางเดินอาหาร

การย่อยไขอาหารในทางเดินอาหารของสุกร เริ่มจากการย่อยเชิงกลไกในปากด้วยการเคี้ยว ทำให้อาหารมีขนาดอนุภาคเล็กลง และทำให้ผนังเซลล์พีซแตก ทั้งนี้ขนาดอนุภาค มีความสัมพันธ์โดยตรงกับการใช้ประโยชน์ได้ของสารอาหาร อาหารจะได้คลุกเคล้ากับน้ำลาย ทำให้อาหารย่อนนุ่มลง นอกจากน้ำลายยังมีเอนไซม์อะไมเลส ซึ่งถือเป็นการเริ่มการย่อยของแป้ง จากนั้นอาหารจะถูกลำเลียงผ่านหลอดอาหาร ไปยังกระเพาะอาหารที่มีการคลุกเคล้ากับกรดไฮโดรคลอริก และเอ็นไซม์เปปซิน ภายใต้สภาวะเป็นกรด โดยความเป็นกรด-ด่างอยู่ระหว่าง 5-7 ทั้งนี้ขึ้นกับความสามารถในการจับกรดของวัตถุติดอาหาร เมื่อผ่านการย่อยภายในกระเพาะอาหาร ซึ่งใช้ระยะเวลาประมาณ 150-180 นาที (N' Goma et al., 2012) อาหารจะมีขนาดอนุภาคที่เล็กลง เรียกว่า ไคร์ม (chyme) เมื่อไคร์มเคลื่อนเข้าสู่ลำไส้เล็กที่ทำหน้าที่ย่อยและดูดซึมสารอาหาร จะถูกคลุกเคล้ากับเกลือใบคาร์บอนेट (bicarbonate salt) จากตับอ่อนเพื่อปรับค่าความเป็นกรดด่างให้อยู่ที่ 5-7 นอกจากนั้นสารคัดหลั่งจากตับอ่อนยังประกอบด้วยเอ็นไซม์สำคัญ เช่น ยอฟานิล ยอฟานิล คาร์บอไฮเดรตให้กล้ายเป็นน้ำตาลหรือเด็กซ์ตرين เอ็นไซม์สำหรับย่อยโปรตีน และไมมัน นอกจากเอ็นไซม์จากตับอ่อนแล้วยังมีการผลิตเอ็นไซม์จากลำไส้เล็ก เพื่อย่อยน้ำตาลโมเลกุลคู่และเด็กซ์ตرين ให้กล้ายเป็นน้ำตาลโมเลกุลเดียว ไขมันถูกไฮดรอลายโดยน้ำดีจากตับและเอ็นไซม์ไลเปสจากตับอ่อนได้ผลผลิตหลัก 2 ชนิด คือ กลีเซอรอล และกรดไขมันคิสระ นอกจากนี้ระหว่างที่ไขอาหารเคลื่อนผ่านกระเพาะอาหาร และลำไส้เล็กจะเกิดการเปลี่ยนแปลงโครงสร้าง ตามคุณสมบัติทางกายภาพของไขอาหารแต่ละชนิด (Capuano, 2017)

การย่อยจะสิ้นสุดที่เมื่อไคร์มเคลื่อนเข้าสู่ลำไส้ใหญ่ ซึ่งลำไส้ใหญ่ส่วนต้นเป็นส่วนที่มีเยื่องคง มีการดูดซึมสารอาหาร และเป็นที่อยู่ของจุลินทรีย์ซึ่งจะเกิดการหมักย่อยสารอาหารที่เหลือจาก การย่อยด้วยเอ็นไซม์จากตัวสัตว์ ไขอาหารจะถูกหมักย่อยในลำไส้ใหญ่ส่วนท้าย (coioto)

ได้ผลผลิตเป็นกรดไขมันระเหยจ่าย (short chain fatty acids, SCFAs) ได้แก่ กรดอะซิติก (acetic acid) กรดโพรพิโอนิก (propionic acid) และกรดบิวทิริก (butyric acid) และแก๊สไฮโดรเจน คาร์บอนไดออกไซด์ และมีเทน (Zijlstra et al., 2012) ซึ่งกรดไขมันระเหยจ่ายเป็นแหล่งพลังงานสำคัญสำหรับผนังลำไส้ใหญ่ โดยสามารถผลิตและดูดซึมภายในเยื่อบุลำไส้ใหญ่ (colonocytes) ได้ประมาณ 90% และใช้เป็นแหล่งพลังงานให้กับเนื้อเยื่ออื่น ได้แก่ 1) เซลล์เยื่อบุลำไส้ใหญ่ใช้กรดบิวทิริกเป็นแหล่งพลังงาน 2) เซลล์ตับเปลี่ยนกรดบิวทิริกเหลือให้กล้ายเป็นสารประกอบคีโตนเปลี่ยนกรดโพรพิโอนิกเป็นกลูโคส โดยผ่านกระบวนการ gluconeogenesis และเปลี่ยน acetate ประมาณ 50-70% เป็นพลังงาน 3) เซลล์โครงร่างและเซลล์ล้ามเนื้อจะออกซิไดซ์ acetate ที่เหลือซึ่งกรดไขมันระเหยจ่าย สามารถให้พลังงานกับสัตว์ โดยในสูตรรุ่นดั้ดเป็นประมาณ 15% ของความต้องการพลังงานเพื่อการดำเนินชีพ (maintenance energy) และสูตรอุ่มท้อง ประมาณ 30% ของความต้องการพลังงานเพื่อการดำเนินชีพ (Jha et al., 2019) กรดไขมันเตトラชนิดมีหน้าที่แตกต่างกัน ดังแสดงใน ตาราง 3

ตาราง 3 Roles of volatile fatty acids in digestive system

กรดอะซิติก	กรดโพรพิโอนิก	กรดบิวทิริก	บทบาทหน้าที่
✓	✓	✓	เป็นแหล่งของพลังงาน (สมอง หัวใจ กล้ามเนื้อ)
		✓	เป็นแหล่งพลังงานของเยื่อบุผนังลำไส้ (colonocytes)
✓	✓	✓	ทำให้เกิดสภาวะความเป็นกรดในระบบทางเดินอาหาร
✓	✓	✓	ลดการดูดซึมแอมโมเนียผ่านเยื่อบุทางเดินอาหาร
✓	✓	✓	ลดการเจริญของเชื้อจุลินทรีย์ที่ก่อโรค
		✓	ยับยั้งการขยายตัว และเพิ่มอัตราการตายของเซลล์มะเร็ง
✓	✓		มีบทบาทเกี่ยวข้องกับเมแทบoliซึมของไขมัน

ที่มา: ดัดแปลงจาก Williams et al., 2017

เนื่องจากไขอาหารไม่สามารถถูกย่อยสลายได้ด้วยอีนไซม์ในระบบทางเดินอาหารของสัตว์กระเพาะเดียว ต้องอาศัยการหมักย่อยของจุลินทรีย์ที่อาศัยอยู่ในทางเดินอาหารส่วนท้ายทำให้การย่อยได้ของไขอาหารมีความผันแปรมาก คือประมาณ 40-60% ซึ่งน้อยกว่าสารอาหารชนิดอื่นๆ ไม่ว่าจะเป็น แป้ง น้ำตาล ไขมัน หรือโปรตีน (Jha, & Berrocoso, 2016) ถึงแม้ว่าไขอาหารจะเป็นสารที่ทนต่อการย่อยด้วยอีนไซม์ในระบบทางเดินอาหารของสัตว์ แต่โครงสร้างและลักษณะทางกายภาพของไขอาหารจะห่างอยู่ในทางเดินอาหารก็มีการเปลี่ยนแปลง เริ่มจากการเคี้ยวในปากทำให้ผังเซลล์ฉีกขาดและลดขนาดของไขอาหารลง จากนั้นเมื่อไขอาหารเคลื่อนเข้าสู่กระเพาะอาหารและลำไส้ จะคุณชับน้ำและเกิดการพองตัว ตามคุณสมบัติของไขอาหารแต่ละชนิด เมื่อไขอาหารเกิดการพองตัวขึ้น ส่วนที่สามารถละลายน้ำได้จะเกิดการละลายในของเหลว ภายในทางเดินอาหารและเกิดการไฮโดรไลซ์ภายในได้สภาวะความเป็นกรดภายในกระเพาะอาหารยกตัวอย่างเช่น เพศติน ซึ่งเป็นไขอาหารที่ละลายน้ำ สามารถไฮโดรไลซ์ได้ประมาณ 7-18% ภายในได้สภาวะความเป็นกรด (ค่าพีเอกซ์เท่ากับ 1.9) เป็นระยะเวลา 4 ชั่วโมง (Mikhaleva et al., 2011) ลักษณะทางกายภาพของไขอาหารยังส่งผลต่อการสูญเสียในตอรเจนด้วย ยกตัวอย่างเช่นไขอาหารชนิดละลายน้ำ จะเพิ่มความชื้นหนืดในทางเดินอาหารและเพิ่มการสูญเสียในตอรเจน ซึ่งความชื้นหนืดนี้สามารถกระตุนการเพิ่มจำนวนของเซลล์เยื่อบุลำไส้ และเกิดการหลุดลอกของเซลล์ผังลำไส้ การเพิ่มระดับไขอาหารช่วยกระตุนการหลังสารเมือก ซึ่งเป็นผลเนื่องมาจากการปฏิกิริยาระหว่างไขอาหารและผังลำไส้เล็ก (Zijlstra et al., 2012) เมื่อไขอาหารเคลื่อนเข้าสู่ลำไส้ใหญ่ที่มีจุลินทรีย์อาศัยอยู่ จุลินทรีย์เหล่านี้จะอาศัยสารกลุ่มคาร์โบไฮเดรตเป็นสารตั้งต้นในการหมักย่อย ได้เป็นกรดไขมันระหว่างๆ (Knudsen, 2001) โดยการผลิตกรดไขมันระหว่างๆจะชื่นอยู่กับความสามารถในการละลายของไขอาหาร กล่าวคือไขอาหารชนิดไม่ละลายน้ำจะสามารถถูกย่อยได้น้อยกว่าไขอาหารชนิดละลายน้ำ (Jha et al., 2019)

นอกจากนี้กรดไขมันระหว่างๆที่เกิดขึ้นจากการหมักย่อยไขอาหารโดยจุลินทรีย์ จะสร้างสภาวะที่เป็นกรดให้ระบบทางเดินอาหารส่วนท้าย ดังการทดลองของ Banino (2012) ซึ่งพบว่าไขอาหารชนิดละลายน้ำได้อย่างชิโครี่ (chicory) ในอาหารสุกรจะระยะเล็ก (น้ำหนักประมาณ 24.8 กิโลกรัม) จะทำให้ค่าพีเอกซ์ในมูลต่ำกว่าเมื่อเทียบกับแหล่งไขอาหารชนิดไม่ละลายน้ำอย่างรำข้าวสาลี (wheat bran) หรือหญ้า (grass meal) ซึ่งเป็นการแสดงให้เห็นถึงกิจกรรมการหมักย่อยไขอาหารชนิดละลายน้ำจากชิโครี่ภายในทางเดินอาหารส่วนท้าย ในขณะที่ไขอาหารชนิดไม่ละลายน้ำจะช่วยเพิ่มปริมาณวัตถุแห้งในมูล ทั้งนี้สามารถสูบการเปลี่ยนแปลงของไขอาหารในระหว่างอยู่ภายในระบบทางเดินอาหารดังแสดงใน ตาราง 4

**ตาราง 4 Physical changing of dietary fiber during transit digestive system (human model)**

ขั้นตอนการย่อย	ผลต่ออาหาร	การเปลี่ยนแปลงที่เกิดขึ้น
<u>ปาก (&lt;1 นาที)</u>	การเปลี่ยนโครงสร้างของสารประกอบพิโนลิกในอาหาร และ ไอลเปส	ปรับเปลี่ยนการใช้ประยุกต์ของสารประกอบพิโนลิก
▪ หลังเข้าไซม์โม่ไมเลส และ ไอลเปส	สารประกอบพิโนลิกในอาหาร	สารประกอบพิโนลิก
▪ ค่าไฟเบอร์ประมาณ 7		
<u>กระเพาะอาหาร (ระยะเวลาประมาณ 2-3 ชั่วโมง)</u>	เพิ่มความชื้นให้กับอาหาร เนื่องจากกระบวนการย่อยและการเคลื่อนไหวของกระเพาะอาหาร	ช่วงระยะเวลาที่องุ่น ลิมอนชีน การดูดซึมสารอาหารเป็นไปอย่างช้าๆ การย่อยโปรตีนก็ลดลง
▪ หลังเข้าไซม์เบปชิน	ยับยั้งการทำงานของเอนไซม์เบปชิน	
▪ ค่าไฟเบอร์ประมาณ 1-3 ในระยะท้องว่าง และ ระหว่างกินอาหาร		
▪ ประมาณ 5-7.5		
<u>ลำไส้เล็ก (ระยะเวลาประมาณ 3-5 ชั่วโมง)</u>	โครงสร้างของผนังเซลล์ทันทนาต่อการย่อย	การใช้ประยุกต์ได้ของสารอาหารภายใน เชลล์ลดลง
▪ มีการหลังสารจากตับ อ่อน ประกอบด้วย เอ็นไซม์ อะไมเลส ทริปชิน น้ำดี		
▪ กิจกรรมของจุลินทรีย์ ในลำไส้เล็กส่วนท้าย (ค่าไฟเบอร์ 6-8)	เกิดความชื้นให้กับอาหาร เนื่องจากกระบวนการย่อยของไอกี้มันในลำไส้ การยับยั้งการทำงานของเอนไซม์ ทริปชิน การแตกเปลี่ยนประจุกับเร็วชาตุ	การดูดซึมสารอาหารเป็นไปอย่างช้าๆ ทำให้รู้สึกอิ่มนานขึ้น กระบวนการย่อยไอกี้มัน การไอลิเซอร์ของสารอาหารลดลง โดยเฉพาะสารประกอบพิโนลิกในเลกุลขนาดใหญ่ การใช้ประยุกต์ได้ของเร็วชาตุลดลง การเกิดปฏิกิริยาสูญ (calcium soap) ของกรดไอกี้มัน ทำให้การย่อยได้ของไอกี้มันลดลง

#### ตาราง 4 (ต่อ)

ขั้นตอนการย่อย	ผลต่ออาหาร	การเปลี่ยนแปลงที่เกิดขึ้น
	การจับกับสารประกอบพื้นозд	อาจเกี่ยวข้องกับการยับยั้งการทำงานของเอนไซม์ และการเปลี่ยนแปลงคุณสมบัติการด้านอนุมูลอิสระของสารประกอบพื้นอดบางชนิด
<u>ลำไส้ใหญ่ (ระยะเวลา 12- 24 ชั่วโมง)</u>	การแตกเปลี่ยนประจุกับกรดน้ำดี	ทำให้มีการขับ排ดีในมนุษย์ เช่นลดคลอเรสเตอรอลในชีรั่ม ทำให้ประสิทธิภาพของการเกิดการแขวนลอยของไขมันน้อยลง ผลงานเชิงลบต่อการย่อยไขมัน
โดยๆ ลิ่นทรีย์ (ค่าพีเอช 5-6)	■ มีกิจกรรมการหมักย่อย	สร้างสภาวะที่เหมาะสมต่อการเจริญให้กับจุลินทรีย์ที่เป็นประโยชน์ (prebiotic effect) ป้องกันการเจริญของจุลินทรีย์ก่อโรค ผลงานกระบวนการต่อเนื่องของอัลลิสต์ของไขมัน และกลูโคส เพิ่มการเจริญของเซลล์เยื่อบุผนังลำไส้ใหญ่ (colonocytes) และเร่งการตายของเซลล์มะเร็งในลำไส้ใหญ่ เพิ่มปริมาณน้ำ และลดความเข้มข้นของสารพิษต่างๆ
	ส่งเสริมการเจริญของแบคทีเรีย	เพิ่มความเร็วการไหลผ่านในลำไส้ใหญ่ ลดระยะเวลาการสัมผัสของสารพิษและผัง ลำไส้ใหญ่ เพิ่มการใช้ประโยชน์ได้ของไขมันภายในลำไส้ใหญ่
	กระตุ้นการเคลื่อนตัวของลำไส้ (peristalsis) และเพิ่มการหลั่งสารเมือก	
	การปลดปล่อยสารประกอบพื้นอด	

ที่มา: ดัดแปลงจาก Capuano, 2017

การเปลี่ยนแปลงสภาพแวดล้อมในทางเดินอาหารส่วนท้าย สงผลโดยตรงต่อปริมาณและชนิดของปะ刹那แบคทีเรียในระบบทางเดินอาหารของสุกร หลายงานวิจัยชี้ให้เห็นถึงการเพิ่มปริมาณแบคทีเรียที่เป็นประโยชน์อย่างแบคทีเรียในกลุ่มผลิตกรดแลคติก (Lactic acid bacteria) และลดจำนวนแบคทีเรียก่อโรคอย่าง *E. coli* และ *Salmonella* spp. (Gerritsen et al., 2012; Kim et al., 2012) โดยปกติจำนวนจุลินทรีย์ในกระเพาะอาหารของสุกรมีอยู่ประมาณ  $10^3$ - $10^5$  โคลนีต่อกรัมของสิ่งป่อย จะเพิ่มขึ้นเมื่อผ่านลำไส้เล็กเพิ่มเป็น  $10^9$ - $10^{10}$  โคลนีต่อกรัมของสิ่งป่อย และเพิ่มขึ้นเป็น  $10^{10}$ - $10^{11}$  โคลนีต่อกรัมของสิ่งป่อยในลำไส้ใหญ่ ลักษณะที่มีความหลากหลายของสายพันธุ์แบคทีเรียมากกว่า 500 สายพันธุ์ (Jensen, & Jorgensen, 1994) โดยแบ่งเป็นแบคทีเรียแกมบวกประมาณ 90% ได้แก่ แบคทีเรียในกลุ่ม *Streptococcus*, *Lactobacillus*, *Eubacterium*, *Clostridium* และ *Peptostreptococcus* ส่วนอีก 10% เป็นแบคทีเรียแกมลบ เช่น แบคทีเรียในกลุ่ม *Bacteroides* และ *Prevotella* (Gaskins, 2001) การหมักป่อยโดยอาหารภายในทางเดินอาหารส่วนท้าย สงผลทำให้เกิดการเปลี่ยนแปลงสภาพแวดล้อมและสมดุลของแบคทีเรียภายในทางเดินอาหาร การหมักป่อยที่เกิดขึ้นมีการความผันแปรมาก ซึ่งเกิดจากลักษณะทางกายภาพของเยื่อไข่อง เช่น ความฟานความชื้นหนืด การละลายได้ ความสามารถในการอุ้มน้ำ (water-holding capacity) และความสามารถในการหมักป่อย (fermentability) ยกตัวอย่างเช่นโดยอาหารกลุ่ม  $\beta$ -glucan, arabinoxylans และ pectins จะถูกย่อยอย่างรวดเร็วในไส้ตึงและลำไส้ใหญ่ ในขณะที่เยื่อไข่ชนิดไม่ละลายน้ำ เช่น cellulose และ arabinoxylans ชนิดไม่ละลายน้ำ ถูกย่อยอย่างช้าๆ ในส่วนท้ายของลำไส้ใหญ่ การย่อยได้ของเยื่อไข่จะขึ้นอยู่กับอายุของสัตว์ เนื่องจากระยะเวลาการคงอยู่ในระบบทางเดินอาหารที่นานขึ้น จากการเพิ่มความชุกของระบบทางเดินอาหารร่วมกับปริมาณการกินที่ลดลง เมื่อเทียบกับน้ำหนักตัว (feed intake per unit of live weight)

นอกจากนี้ยังพบอิทธิพลของใบอาหารต่อการย่อยได้ของสารอาหารอื่น ดังมีรายละเอียดดังนี้ (Dégen et al., 2007)

### 1. การย่อยได้ของโปรตีน

เนื่องจากใบอาหารมีการเปลี่ยนแปลงทางกายภาพระหว่างที่อยู่ในทางเดินอาหารโดยอาหารที่มีความสามารถในการอุ้มน้ำสูง ทำให้เกิดความชื้นหนืดระหว่างที่อยู่ในทางเดินอาหาร และสงผลให้มีการซับในไตรเจนออกทางน้ำเสียเพิ่มขึ้น (nitrogen loss) ซึ่งเป็นส่วนสารคัดหลังเยื่อเมือก และเอ็นไซม์ สงผลให้การย่อยได้ของโปรตีนและกรดอะมิโนลดลง โดยเฉพาะการย่อยได้แบบปรากฏ (apparent digestibility) และอีกนัยหนึ่งคืออาจเกิดการขัดขวางการดูดซึมกลับของสารประกอบในโตรเจนในลำไส้เล็ก ทำให้ปริมาณในโตรเจนในน้ำเสียเพิ่มขึ้น (Dégen et al., 2007)

ทั้งนี้จากบทวิจารณ์ของ Souffrant (2001) ถึงแม้ว่าการป้องกันทั้งหมดของโปรดีนจะลดลง แต่จากการศึกษาการป้องกันที่ปลายสำลักได้เล็ก บริมาณของไข้อาหารกลับไม่มีผลต่อการป้องกันของโปรดีน ผลกระทบของมินที่ปลายสำลักได้เล็ก

## 2. การป้องกันของไขมัน

การเพิ่มระดับไข้อาหารในอาหารสัตว์น้ำ ทำให้พัฒนาของอาหารลดลง จึงมักต้องเพิ่มไขมันในสูตรอาหารให้สูงขึ้น เพื่อชดเชยพัฒนาในอาหาร ซึ่งผลกระทบของไข้อาหารต่อการป้องกันของไขมันนั้น ขึ้นอยู่กับชนิดของไข้อาหาร กล่าวคือไข้อาหารที่ละลายน้ำได้ จะก่อให้เกิดความขันหนนีดเมื่ออยู่ในระบบทางเดินอาหารและระบบกระบวนการอาหารคิมลัชั่นของไขมัน ในขณะที่ไข้อาหารชนิดไม่ละลายน้ำ จะทำให้การหล่อผ่านของอาหารเร็วขึ้น และทำให้ระยะเวลาการทำปฏิกิริยาของเข็นไชมีในระบบทางเดินอาหารลดลง รวมถึงเข็นไชมีในการป้องกันไขมันอย่างไร เป็นสัดสวน แต่อย่างไรก็ตาม การเพิ่มระดับของไข้อาหารส่วนใหญ่ส่งผลทำให้ค่าการป้องกันของไขมันลดลง (Knudsen, & Hansen, 1991; Noblet, & Perez, 1993; Freire et al., 1998; Noblet, & Goff, 2001) แต่เมื่อบางการทดลองที่ไข้อาหารไม่ได้ส่งผลต่อการป้องกันของไขมัน (Högberg, & Lindberg, 2004) นอกจากนี้ยังมีสมมติฐานที่สนับสนุนผลของไข้อาหารที่มีต่อการป้องกันและใช้ประโยชน์ได้ของไขมันคือการที่ไขมันถูกสร้างโดยแบคทีเรียในทางเดินอาหารส่วนท้าย โดยแนวคิดนี้เสนอโดย Dierick et al. (1990; Noblet, & Goff, 2001) ซึ่งได้ให้ข้อสังเกตถึงการป้องกันของไขมันที่เก็บจากมูลน้ำมีค่าเฉลี่ยลดลงอย่างเห็นได้ชัด แต่เมื่อกีบตัวอย่างการป้องกันของไขมันจากปลายสำลักได้เล็ก กลับไม่พบความแตกต่างที่ชัดเจน จึงกล่าวได้ว่าอาจเกิดการรับกวนจากกิจกรรมของจุลินทรีย์ หรืออาจเกิดจากการจับกับน้ำดีในระบบทางเดินอาหาร โดยไข้อาหารชนิดละลายน้ำสามารถจับกับน้ำได้ และขับออกทางมูลมากกว่าไข้อาหารชนิดไม่ละลายน้ำ ซึ่งอาจอธิบายโดยสรุปว่า ไข้อาหารชนิดละลายน้ำจะส่งผลต่อการป้องกันของไขมันมากกว่าไข้อาหารชนิดไม่ละลายน้ำ

## สรีระและสัณฐานวิทยาของสำลักของสุกร

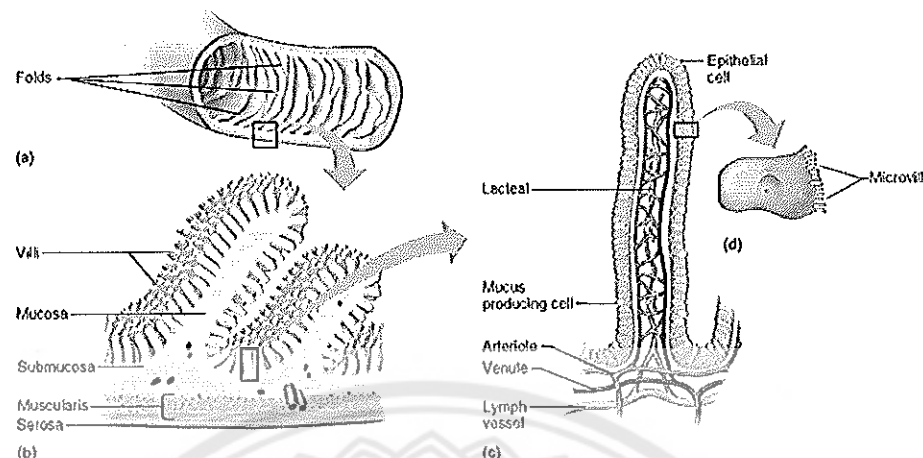
### 1. ลักษณะทางสัณฐานวิทยาที่ไปของสำลัก

สำลัก ทำหน้าที่ในการป้องกัน หัวหลังเข็นไชม์และสารคัดหลัง และดูดซึมสารอาหาร สำลักของสุกรเมื่อแรกเกิดมีความยาวประมาณ 2 เมตร ความจุประมาณ 72 มิลลิลิตร หลังจากหย่านม ความยาวเพิ่มขึ้นประมาณ 3 เท่าคือ 6.5 เมตร และมีความจุเพิ่มประมาณ 9 เท่า เป็น 650 มิลลิลิตร สำหรับสุกรโตเต็มวัยยาวประมาณ 16-21 เมตร และความจุประมาณ 20 ลิตร เมื่อเปรียบเทียบกับน้ำหนักตัวแล้ว สุกรจะอยู่ดูดนมมีน้ำหนักของสำลัก ประมาณ 4-5% ของน้ำหนักตัว และลดลงเหลือประมาณ 1.5% ของน้ำหนักตัวของสุกรโตเต็มวัย

(Lærke, & Hedemann, 2012) ลำไส้เล็กแบ่งออกเป็น 3 ส่วน คือ ลำไส้เล็กส่วนต้น (duodenum) ยาวประมาณ 4-4.5% ของความยาวทั้งหมด ลำไส้เล็กส่วนกลาง (jejunum) เป็นส่วนที่มีความยาวมากที่สุด คือ ประมาณ 88-91% ของความยาวทั้งหมด และลำไส้เล็กส่วนปลาย (ileum) ยาวประมาณ 4-5% ของความยาวทั้งหมด ทางเดินอาหารจะมีการพัฒนามากในช่วง 3 เดือนแรก หลังคลอด ทั้งเยื่อบุทางเดินอาหาร ระบบภูมิคุ้มกัน และระบบประสาทของผนังทางเดินอาหาร (enteric nervous system) หัวนี้ยังเกี่ยวข้องกับหล่ายปัจจัย ได้แก่ ลักษณะทางพันธุกรรม การเจริญของจุลินทรีย์ภายในระบบทางเดินอาหาร และปัจจัยเกี่ยวกับแมลงนมนำเหลือง เป็นต้น (Moeser et al., 2017; Wijtten et al., 2011)

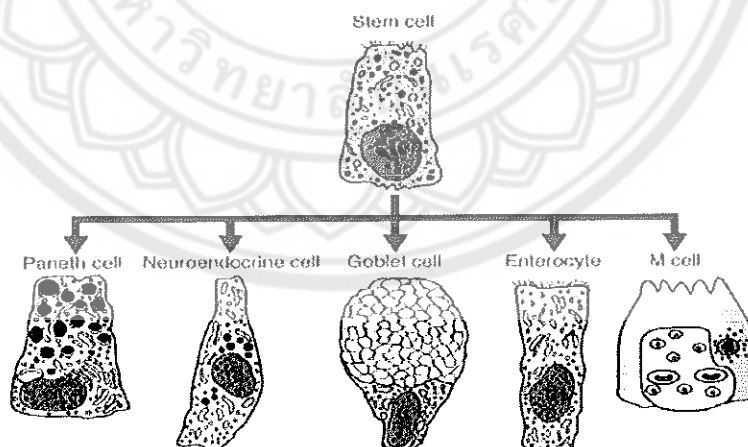
ลำไส้เล็กประกอบด้วยผนังทั้งหมด 4 ชั้น เรียงจากด้านนอกไปด้านใน คือ serosa layer, muscular layer, submucosa layer และ mucosa layer โดยชั้น serosa layer เป็นผนังชั้นนอกสุดของลำไส้ มีเนื้อเยื่ออ่อน เช่นเส้นเลือดและเส้นประสาทมาหล่อเลี้ยง ถัดมาเป็นชั้น muscular layer ประกอบด้วยชั้นกล้ามเนื้อตามยาว (longitudinal muscle) และชั้นในเป็นชั้นกล้ามเนื้อตามวง (circular muscle) ทำหน้าที่เกี่ยวกับการเคลื่อนตัวของลำไส้ ชั้นต่อมา คือ ชั้น submucosa layer เป็นชั้นที่ประกอบด้วยเนื้อเยื่ออ่อน เช่นเส้นเลือด น้ำเหลือง และเส้นประสาท ส่วนผนังชั้นในสุดคือชั้น mucosa layer แบ่งเป็นชั้นย่อยๆ อีก 3 ชั้น ด้านนอกสุด คือชั้น muscularis mucosa ถัดมาเป็นชั้น laminar propria มีเดินเลือด น้ำเหลือง เซลล์เม็ดเลือดขาว และต่อมน้ำเหลือง ส่วนชั้นในสุดคือชั้น epithelial layer เป็นชั้นที่มี enterocytes เรียงเป็นชั้นเดียว มีลักษณะคล้ายนิ่วมีเยื่อออกไปภายในลำไส้ เรียกว่า vili ที่ปลายของวิลล์ มีลักษณะเป็นขนาดเล็ก เรียกว่าไมโครวิลล์ (microvilli) ที่ฐานของวิลล์จะมีส่วนที่เรียกว่าวิลล์ไซด์ (crypt of lieberkuhn) ทำหน้าที่สร้างสารคัดหลั่งเข่น ยอร์โนน และเอ็มไซม์ อีกทั้งยังเป็นที่อยู่ของเซลล์ต้นกำเนิด (stem cell) ดังแสดงในภาพ 4

รูปร่างและความลึกของคริปท์ รูปร่างและความสูงของวิลล์ และจำนวนของ goblet cell เป็นตัวบ่งชี้วัดที่สำคัญซึ่งสามารถบ่งบอกถึงความสมบูรณ์ของลำไส้ รูปร่างของวิลล์แบ่งออกเป็น 5 แบบคือ รูปลิ้น (tongue-shaped) รูปนิ้วมือ (finger-shaped) รูปใบไม้ (leaf-shaped) ridged-shaped และ convoluted shape (Mouwen, 1971)



ภาพ 4 ลักษณะทางกายวิภาคของผนังลำไส้เล็ก โดย (a), (b) ลักษณะพื้นผิวของผนังลำไส้เล็ก (c) วิลล่า และ (d) เชลล์เยื่อบุทางเดินอาหารและไมโครวิลล่า

เซลล์เยื่อบุผนังลำไส้ (epithelial cell) เป็นเซลล์ที่พัฒนามาจากเซลล์ต้นกำเนิด (enterocyte หรือ stem cell) ที่อยู่บริเวณคริปท์ สุกรระยะดูดนนมจะมีกระบวนการผลัดเซลล์เยื่อบุลำไส้ประมาณ 7 วัน แต่สำหรับสุกรโตเต็มวัยจะมีกระบวนการผลัดเซลล์ประมาณ 2-3 วัน โดย stem cell ที่อยู่ที่คริปท์จะเจริญขึ้นทดแทนเซลล์ที่หลุดออกไประ (Xiong et al., 2019)



ภาพ 5 ชนิดของเซลล์เยื่อบุผนังลำไส้เล็กชนิดต่าง ๆ ซึ่งพัฒนามาจากเซลล์ต้นกำเนิด (stem cells)

ที่มา: Gelberg, 2014

เซลล์ตันกำเนิดสามารถพัฒนาเป็นเซลล์เยื่อบุทางเดินอาหารที่แตกต่างกัน 5 ชนิด คือ Enterocyte, Goblet cell, Neuroendocrine cell, Paneth cell และ M cell (ภาพ 5) ซึ่งแต่ละเซลล์ ทำหน้าที่แตกต่างกัน ดังนี้ (Gelberg, 2014)

1.1 Enterocytes หรือ the absorptive cells หรือเซลล์ดูดซึม เป็นเซลล์ทรงสูง ด้านบนมีไนโตริล์ล์ไว เรียงตัวชั้นเดียว มีการสร้างเอ็นไซม์ที่ใช้ในการย่อยและดูดซึมสารอาหาร ยึดเกาะกันโดยอาศัย apical junction complex ที่ประกอบไปด้วย transmembrane protein และโมเลกุลอื่นๆ อีกกว่า 40 โมเลกุล ในช่วงที่สูกรินนมนำเหลือง สารที่มิโมเลกุลในญี่สามารถดูดซึม ผ่านเซลล์ชนิดนี้ได้ผ่านกระบวนการ pinocytosis เซลล์ชนิดนี้มีจำนวนประมาณ 90% ของเซลล์เยื่อบุลำไส้ทั้งหมด (Xiong et al., 2019)

1.2 Goblet cells พับได้ทั้งในส่วนของวิล์ล์และคริปท์ ทำหน้าที่สร้าง high molecular weight glycoproteins หรือที่เรียกว่าสารเมือก (mucins) ซึ่งมีหน้าป้องกันการจับผนัง ลำไส้เล็กจากแบคทีเรีย และทำให้แบคทีเรียถูกขับออกมากับมูล

1.3 Paneth cells พับได้บริเวณส่วนลึกที่สุดของคริปท์ ทำหน้าที่ไม้เเนร์ชัด แต่เชื่อว่า เกี่ยวกับกันการกลืนกิน (phagocytosis) และการคัดหลั่งสาร (secretion) จำพวก cryptidins, lysins peptidases และ lysozymes ซึ่งเป็นพิษต่อแบคทีเรีย

1.4 Neuroendocrine cell ทำหน้าที่สร้างสารหลาຍชนิด เช่น serotonin, catecholamines, gastrin, somatostatin, cholecystokinin, secretin, bombesin, enteroglucagon, fibroblast growth factor 19 และยอร์โมนอีกหลาຍชนิด

1.5 M (microfold, membranous) cells เซลล์ชนิดนี้ทำงานร่วมกับเซลล์ภูมิคุ้มกัน ในระบบทางเดินอาหาร Peyer's patches หรือ gut-associated lymphoid tissue (GALT) ทำหน้าที่ กลืนกินแอนติเจน (antigen) รวมถึงสารพิษจากภายในลำไส้เล็ก สองต่อให้กับระบบนำ้เหลือง

## 2. การเปลี่ยนแปลงสัณฐานวิทยาของลำไส้เล็กในช่วงการหย่านม

การพัฒนาเยื่อบุทางเดินอาหารอย่างสมบูรณ์จะเกิดขึ้นเมื่อสูกรมีอายุประมาณ 10-12 สัปดาห์ แต่ในปัจจุบันมีการรายงานที่เร็วขึ้น เพื่อเพิ่มรอบการผลิตให้กับแม่สูกร หลังหย่านม สูกรจะเผชิญกับความเครียดจากการรวมกสุ่มทางสังคม การเปลี่ยนสภาพแวดล้อม และการเปลี่ยนอาหาร (Xiong et al., 2019) โดยสามารถแบ่งการเปลี่ยนแปลงเกิดขึ้นกับสูกรหลังจากหย่านม ออกได้เป็น 2 ระยะคือ acute phase และ regenerate phase ช่วง acute phase เกิดในระยะ สัปดาห์แรกหลังหย่านม เป็นระยะที่สูกรมีการกินอาหารลดลง และมีการเปลี่ยนแปลงโครงสร้าง และการทำงานของระบบทางเดินอาหาร อันเนื่องมาจากการทำงานของเอ็นไซม์ และการ

เปลี่ยนแปลงอาหารในทันที ทำให้สูกรเกิดความเครียดและส่งผลกระทบต่อการกินของสุกร (Pluske, & Williams, 1996) จากรายงานของ Brooks et al. (2001) พบว่าประมาณ 10% ของสุกรที่ห่างนมเมื่ออายุ 28 วัน จะกินอาหารน้อยมากในช่วง 48 ชั่วโมงหลังการห่างนม ส่งผลให้ความสูงของวิลไอลลดลงประมาณ 75% เมื่อเทียบกับก่อนห่างนม การที่วิลไอลหนดสั้นหรือฝ่อนั้นเกิดจากการหลุดลอกของเซลล์เยื่อบุทางเดินอาหารในอัตราที่สูงกว่าการสร้างเซลล์ใหม่ขึ้นมาทดแทน การคุณซึ่มสารอาหารลดลง มีสารอาหารเหลือไปถึงทางเดินอาหารส่วนท้ายมากขึ้น เป็นแหล่งอาหารให้กับจุลินทรีย์ที่ก่อโรค และเพิ่มโอกาสของการเกิดอาการท้องเสียหลังห่างนม (post-weaning diarrhea) (Molist et al., 2014) ระยะที่สอง (regenerate phase) คือ ช่วง 7-15 วันหลังการห่างนม สุกรมีการปรับตัวต่ออาหารมากขึ้นเป็นลำดับ สามารถตั้งเกตได้จากการเพิ่มขึ้นของมวลของลำไส้เล็กส่วนกลาง น้ำหนักของตับอ่อนที่เพิ่มขึ้น ที่ให้เห็นถึงการพัฒนาการทำงานของเอนไซม์ที่เข้าสู่กระบวนการป่าตี (Montagne et al., 2007)

ช่วงหลังการห่างนมมักจะเกิดการหลุดลอกของเยื่อบุผนังลำไส้ ทำให้ความยาวของวิลไอล ลดลงและเพิ่มความลึกของคริพท์ นอกจากนี้ยังพบการฟื้นตัวของวิลไอล ซึ่งเกิดจากการเจริญทดแทนไม่ทันต่อการหลุดลอกของเยื่อบุทางเดินอาหาร (Pluske et al., 1997) การห่างนมเมื่อสุกรอายุ 21 วัน วิลไอลจะลดลงประมาณ 75% (เมื่อเทียบกับความสูงวิลไอลก่อนห่างนม) ภายในระยะเวลา 24 ชั่วโมงหลังการห่างนม และหลังจากนั้นประมาณ 5-8 วันหลังห่างนม วิลไอลจะค่อยๆ เพิ่มความยาวขึ้น โดยวันที่ 5 หลังจากการห่างนมความสูงของวิลไอลต่อความลึกของคริพท์ (VH:CD) ของลำไส้เล็กอยู่ที่ประมาณ 1.5-2.0:1 เท่านั้น (Hampson, 1986)

สุกรหลังการห่างนมมักพบการเข้าทำลายจากเชื้อแบคทีเรียก่อโรค จากการลดลงของเอนไซม์ alkaline phosphatase ซึ่งเป็นเอนไซม์ที่สร้างโดย brush border ในลำไส้เล็กทำหน้าที่ขัดสารพิษที่สร้างโดยแบคทีเรียก่อโรค นอกจากนี้ยังพบความบกพร่องของสันฐานวิทยาของลำไส้เล็ก เซลล์ผนังลำไส้ (enterocytes) ทำหน้าที่คัดเลือกไม่เลกุลของสารอาหารที่จะผ่านเข้าสู่เซลล์ และกระแสเลือด ในขณะเดียวกันก็ป้องกันไม่ให้เชื้อแบคทีเรียก่อโรคและแอนติเจนเข้าสู่เซลล์ได้โดยด้านบนของเซลล์ผนังลำไส้จะมีชั้นเยื่อเมือก (mucus layer) ปกคลุมอยู่ ทำหน้าที่ป้องกันเอนไซม์proto-แอกซิเจนแบคทีเรียก่อโรค รวมถึงปักป้องเซลล์ผนังลำไส้จากกรดที่หลังจากกระแสอาหารและลำไส้เล็กส่วนต้น (Kim et al., 2012) สารอาหารที่สัตว์อยู่และคุณซึ่งไม่นำมด ล้วนส่งผลให้แบคทีเรียก่อโรคสามารถเพิ่มจำนวนได้อย่างรวดเร็ว ทำให้เกิดอาการที่เรียกว่าอาการท้องเสียหลังห่างนม (post-weaning diarrhea)

จากบทวิจารณ์ของ Pluske et al. (1997) ได้แบ่งปัจจัยที่มีผลต่อการเปลี่ยนแปลงสัณฐานวิทยาและการทำงานของลำไส้เล็กหลังการหย่านมออกเป็น 5 ปัจจัย คือ 1) การบุกรุกของแบคทีเรียก่อโรค 2) ความผิดปกติจากความเครียดหลังที่เกิดจากการหย่านม 3) การอดนมจากแม่สูง 4) การเปลี่ยนแปลงด้านอาหาร และ 5) การหลังใช้ยาที่มีผลควบคุมการเจริญของลำไส้ ซึ่งแต่ละปัจจัยนั้นมีรายละเอียดดังนี้

### 2.1 การบุกรุกของแบคทีเรียก่อโรค

เมื่อแรกเกิดนั้นสูกรนมระบบทางเดินอาหารที่ปราศจากเชื้อ (sterile) หลังนั้นได้รับเชื้อจุลินทรีย์จากแม่และสภาพแวดล้อม ทำให้มีการพัฒนาของเชื้อจุลินทรีย์ในระบบทางเดินอาหารทั้งด้านปริมาณและความหลากหลาย (Inoue et al., 2005) โดยปกติผนังของลำไส้เล็กทำหน้าที่ป้องกันการเข้ามายึดเกาะของเชื้อแบคทีเรียก่อโรค แต่หลังการหย่านมพบการหลุดลอกของเซลล์เยื่อบุผนังลำไส้เล็กอย่างรวดเร็ว และการสร้างขึ้นใหม่ท้องให้เจลานาน จึงมีช่วงที่ผนังสำไส้เล็กบางลง เป็นโอกาสให้เชื้อจุลินทรีย์ก่อโรคเข้ามายึดเกาะและเจริญเพิ่มจำนวนได้ (Kelly et al., 1992) โดยเฉพาะแบคทีเรียนในกลุ่ม  $\beta$ -haemolytic *Escherichia coli* (*E. coli*) ซึ่งเป็นแบคทีเรียก่อโรคที่เป็นสาเหตุหลักในการเกิดกลุ่มอาการท้องเสียหลังหย่านมของสูง (post-weaning diarrhea; PWD) มักพบทำให้เกิดการติดเชื้อในลำไส้เล็กส่วนต้น ทำให้การเจริญเติบโตของสูกรลดลง หรือตายได้ (Luppi, 2017) จากการศึกษาการดูดซึมของเหลว เช่น โซเดียม โพแทสเซียม และคลอไรด์ในลำไส้เล็กของสูกรที่มีการติดเชื้อกลุ่ม  $\beta$ -haemolytic *E. coli* พบร่วมสูกรที่มีติดเชื้อหลังการหย่านมมีความสัมพันธ์เชิงลบกับความสูงของวิลล์ໄล ( $r = -0.95, P < 0.02$ ) และการดูดซึมแร่ธาตุในสูกรที่ติดเชื้อน้อยลงเมื่อเทียบกับสูกรที่ไม่มีการติดเชื้อ (Nabuurs et al., 1994) ซึ่งเกิดจากการกินอาหารลดลง ทำให้ลำไส้ปรับตัวโดยเพิ่มการดูดซึมสารอาหารหลังจากการหย่านม ทำให้โอกาสที่จะดูดซึมสารพิษที่สร้างโดย  $\beta$ -haemolytic *E. coli* มีมากขึ้น จนทำให้เกิดการติดเชื้อ (Cohen et al., 1986; Chu, & Walker, 1993)

### 2.2 ความผิดปกติจากความเครียดที่เกิดหลังการหย่านม

ความผิดปกติที่เกิดจากความเครียดจากการเคลื่อนย้ายและการจัดกลุ่มของสูกรหลังหย่านม สูกรที่มีการชะงักการเจริญเติบโตหลังหย่านม มีการแบ่งเซลล์ของคริปท์ทำให้ความสูงของวิลล์ໄลด์ลดลง (Albinsson, & Andersson, 1990) ทั้งนี้ความผิดปกติที่เกิดขึ้นจากการรวมกลุ่มนี้อาจเกี่ยวข้องกับผลกระทบหลังหย่านม ปัญหาปริมาณการกินอาหารลดลงหลังหย่านม การเจ็บป่วยจากการต่อสู้กับหลังจากการรวมกลุ่มใหม่ หรือปัจจัยด้านอาหาร ซึ่งจะกล่าวรายละเอียดในหัวข้อที่ 4 (Pluske et al., 1997)

### 2.3 การย่างนมจากแม่สุกร

น้ำนมของแม่สุกร ไม่ว่าจะเป็นน้ำนมเหลือง (colostrum) หรือน้ำนมปกติ พบร่องค์ประกอบของ milk-borne growth factors ยอร์โมน และสารสำคัญอื่นๆ ที่มีผลต่อการพัฒนาของลำไส้ของสุกร ซึ่งการย่างนมทำให้สุกรไม่ได้รับสารเหล่านี้จากนมแม่และเปลี่ยนเป็นการรับสารอาหารจากอาหารแข็ง (solid feed) อย่างทันทีทันใด ส่งผลโดยตรงต่อการพัฒนาของเซลล์ของลำไส้ ซึ่งสารสำคัญในกลุ่มนี้ได้แก่ epidermal growth factor (EGF), polyamines, insulin และ insulin-like growth factors (IGF)

### 2.4 การเปลี่ยนแปลงด้านอาหาร

รูปแบบของอาหารมีผลต่อสัณฐานวิทยาของลำไส้เล็ก ก่อตัวคือ สุกรที่มีการให้อาหารในรูปแบบกึ่งแข็งกึ่งเหลว (slurry form) มีวิลไสูงกว่าในวันที่ 8 และ 11 หลังการย่างนม เมื่อเทียบกับอาหารแบบเม็ด เนื่องมาจากอาหารแบบเม็ดมีการกัดเฉพาะผิวหนังลำไส้มากกว่าอาหารกึ่งแข็งกึ่งเหลว (Deprez et al., 1987) นอกจากนี้ยังมีรายงานว่าอาหารกึ่งแข็งกึ่งเหลวทำให้อัตราการเจริญเติบโตเพิ่มขึ้น 11% และมีปริมาณการกินอาหารเพิ่มขึ้น 13% (Partridge et al., 1992) และสุกรที่กินอาหารเพิ่มขึ้น ทำให้ความสูงของวิลไสเพิ่มขึ้น (Beers-Schreurs et al., 1992) นอกจากนี้ยังพบว่าสารอาหารบางอย่างส่งผลต่อสัณฐานวิทยาของลำไส้ เช่น การให้โปรตีนจากถั่วเหลือง หรือสารต้านการให้ประโยชน์ของโภชนาณนิดต่างๆ เช่น lectins, tannins และ  $\alpha$ -amylase inhibitors (Huisman, & Jansman, 1991) และกรดไขมันระเหยง่าย เป็นต้น

### 2.5 การหลังไชโตไซด์ (Cytokines) ที่มีผลควบคุมการเจริญของลำไส้

ไชโตไซด์ มีความสำคัญในการเป็นสารที่ใช้ในการสื่อสารระหว่างเซลล์ข้างเคียง โดยสำหรับในลำไส้เล็ก ไชโตไซด์ทำหน้าที่ในการสื่อสารระหว่างเม็ดเลือดขาวของระบบภูมิคุ้มกันของเซลล์เยื่อบุผนังลำไส้ ได้แก่ Peyer's Patches, lamina propria lymphocytes และ intra-epithelial lymphocytes ซึ่งเซลล์เหล่านี้มีหน้าที่เกี่ยวข้องกับระบบภูมิคุ้มกันของลำไส้ (Elson, & Beagley, 1994) โดยพบว่าเมื่อเซลล์เม็ดเลือดขาวชนิด macrophage ถูกกระตุ้น จะทำให้เกิดการผ่องตัวของวิลไส ความลึกของคริปท์เพิ่มขึ้น หรือทำลายเยื่อบุทางเดินอาหาร (Lionetti et al., 1993) อย่างไรก็ตาม Pluske et al. (1997) ได้ให้ข้อเสนอว่าการศึกษาความสัมพันธ์ระหว่างการหลังไชโตไซด์กับการเปลี่ยนแปลงสัณฐานวิทยาของลำไส้ยังน้อยมาก อย่างไรก็ตามความสัมพันธ์ระหว่างไชโตไซด์กับสัณฐานวิทยาของลำไส้ยังไม่สามารถสรุปกลไกที่แนัดได้

## สมดุลของจุลินทรีย์ในระบบทางเดินอาหารของสุกรหย่านม

### 1. ระบบบิเวศน์ของจุลินทรีย์ช่วงก่อนและหลังหย่านมของสุกร

จุลินทรีย์ในระบบทางเดินอาหารของสุกรสูตรแรกเกิดนั้นอยู่ในสภาพปลอดเชื้อ (*sterile*) เมื่อราเกิดการฉีกขาดระหว่างการคลอด ทำให้สุกรได้รับเชื้อจุลินทรีย์จากหلامแหล่ง เช่น ช่องคลอดของแม่สุกร มูล และผิวนังของแม่สุกร จากนั้นก็ได้รับจากสภาพแวดล้อมและน้ำนมของแม่ตามลำดับ (Konstantinov et al., 2004; Pieper et al., 2008) ทำให้ระบบทางเดินอาหารเริ่มมีการเจริญของจุลินทรีย์ โดยจากการศึกษาของ Katouli et al. (1997) พบว่าในช่วงแรกของชีวิตนั้น เที่ยงจุลินทรีย์ในระบบทางเดินอาหารของสุกรสูตร มีรูปแบบที่คล้ายคลึงกับรูปแบบจุลินทรีย์ของแม่สุกรเป็นอย่างมาก ซึ่งสามารถพิสูจน์ได้ว่าสุกรได้รับเชื้อจุลินทรีย์กลุ่มแรก (*first colonize*) มาจากตัวแม่สุกรเอง นอกจากนี้ยังพบว่ามูลของแม่สุกรนั้นเป็นปัจจัยสำคัญต่อระบบบิเวศน์ของจุลินทรีย์ในทางเดินอาหารของสุกรสูตร โดยจากการทดลองให้สุกรกินมูลของแม่สุกร 85 gramm ต่อวัน มีผลทำให้ระบบบิเวศน์ของจุลินทรีย์ในทางเดินอาหารของสุกรสูตรเปลี่ยนแปลงไป และในเวลาต่อมาจะมีความเป็นเอกลักษณ์เฉพาะตัวมากขึ้น (Sansom, & Gleed, 1981) จุลินทรีย์กลุ่มแรกนี้เป็นจุลินทรีย์ในกลุ่มที่ใช้ออกซิเจน (*aerobes*) หลังจากนั้นเป็นกลุ่มไม่ใช้ออกซิเจนในการดำรงชีพ (*anaerobes*) หลังจากสุกรได้รับภูมิคุ้มกันจากน้ำนมเหลือง จนกว่าทั้ง 48 ชั่วโมงหลังคลอด สุกรจะมีปริมาณของแบคทีเรียที่เรียกว่าเม็ดต้องการออกซิเจนในการดำรงชีพ (*strict anaerobes*) เพิ่มขึ้นเป็นประมาณ 90% ของแบคทีเรียทั้งหมด (Swords et al., 1993) อย่างไรก็ตาม เที่ยงจุลินทรีย์ซึ่งนอกจากจะมาจากปัจจัยของแม่สุกรแล้ว ยังมีความเกี่ยวข้องกับปัจจัยของสภาพแวดล้อมในการเลี้ยงและอาหารอีกด้วย (Ewing, & Cole, 1994)

หากแบ่งระบบบิเวศน์ของจุลินทรีย์ตามส่วนของระบบทางเดินอาหาร เที่ยงจุลินทรีย์ในทางเดินอาหารส่วนต้น ได้แก่ภายในช่องปาก กระเพาะอาหารและลำไส้เล็กส่วนต้น ที่มีสภาพความเป็นกรดสูงและมีการเคลื่อนผ่านของอาหารค่อนข้างเร็ว ดังนั้นกระเพาะอาหารและลำไส้เล็ก จึงพบจุลินทรีย์ในกลุ่มที่ทนต่อสภาพที่เป็นกรด เช่นกลุ่ม *Lactobacilli* และกลุ่ม *Streptococci* เป็นต้น ส่วนเที่ยงจุลินทรีย์ *E. coli*, *Clostridia*, *Eubacterium*, *Bifidobacterium*, *Staphylococcus*, *Actinomyces* และ *Klebsiella* พบได้น้อยมากในกระเพาะอาหารและลำไส้เล็กส่วนต้น ในส่วน ลำไส้เล็กส่วนปลาย ซึ่งมีสภาพที่เป็นกรด มีอัตราการไหลของลิ่งอย่างช้ากว่า ทำให้จุลินทรีย์มีจำนวนและมีความหลากหลายมากขึ้น สำหรับส่วนนี้จะพบจุลินทรีย์ในกลุ่ม *Lactobacilli*, *Streptococci*, *Clostridia* และ *Eubacterium* นอกจากนี้ยังสามารถพบจุลินทรีย์ในกลุ่ม *E. coli* และ *Bacteroides* "ได้อีกด้วย" ได้ตั้งแต่ลำไส้ใหญ่จะพบจุลินทรีย์ในกลุ่มที่ไม่ใช้ออกซิเจน (*strict*

anaerobic bacteria) เนื่องจากมีการเคลื่อนผ่านของสิ่งปอยซ่า และการเคลื่อนตัวของลำไส้ส่วนนี้ เป็นแบบ anti-peristaltic movement ซึ่งเป็นการเคลื่อนตัวแบบกลับทางทำให้อาหารมีการดูดซึม ดีขึ้น ทำให้บริเวณลำไส้ใหญ่เป็นบริเวณที่เหมาะสมต่อการเจริญของแบคทีเรีย โดยแบคทีเรียที่พบ “ได้ในลำไส้ใหญ่” ได้แก่ *Bacteroides*, *Prevotella*, *Colostridia* และ *Eubacteria* เป็นต้น

สำหรับช่วงหย่านมักพบปัญหาสุกรกินอาหารน้อย ทำให้เกิดการเปลี่ยนแปลง การทำงานของระบบทางเดินอาหารมีการเปลี่ยนแปลง อัตราการไหลผ่านของอาหาร รวมถึงส่งผล ต่อจุลินทรีย์ และแหล่งสารอาหารของจุลินทรีย์ ซึ่งในช่วงสัปดาห์แรกของการหย่านม ความหลากหลาย ทางชีวภาพของจุลินทรีย์ลดลงอย่างมาก และใช้เวลาประมาณ 2-3 สัปดาห์ปรับตัว จากรายงาน ของ Inoue et al. (2005) พบว่าความหลากหลายของจุลินทรีย์จะเพิ่มขึ้นหลังจาก 24 วันหลัง หย่านม นอกจากจำนวนของจุลินทรีย์จะลดลงแล้ว ชนิดของจุลินทรีย์ก็มีการเปลี่ยนแปลงด้วย เช่นกัน รวมถึงแบคทีเรียก่อโรคที่ทำให้เกิดอาการท้องเสียหงส์หย่านม เช่นแบคทีเรียในกลุ่ม *E. coli* ในมูลของสุกรโดยเติมวัยนั้น ส่วนใหญ่เป็นแบคทีเรียแกรมลบได้แก่ *Bacteroides* และ *Prevotella* พบได้ ประมาณ 10% ของแบคทีเรียที่ตรวจพบจากวิธีการเพาะเลี้ยงในอาหารเสียหงส์เท่านั้น (Konstantinov et al., 2004; Mathew et al., 1993; Jensen et al., 1998)

## 2. ปัจจัยที่มีผลต่อสมดุลของจุลินทรีย์ในทางเดินอาหารสุกร (Nowland et al., 2019)

### 2.1 การใช้ยาต้านจุลชีพ

การใช้ยาต้านจุลชีพในสุกรจะยกระดับค่าอนามัยนม มีผลเชิงลบต่อความหลากหลาย ของจุลินทรีย์ และเพิ่มจำนวนของแบคทีเรียต้านทาน (resistant bacteria) ในระบบทางเดินอาหาร โดยการใช้ยาต้านจุลชีพจะออกฤทธิ์ในวงกว้าง และออกฤทธิ์ทั้งกับแบคทีเรียที่เป็นประโยชน์และ แบคทีเรียก่อโรค ทำให้แบคทีเรียที่เป็นประโยชน์ลดจำนวนลงไปด้วย และเปิดโอกาสให้แบคทีเรีย ก่อโรคเพิ่มจำนวนขึ้นมากกว่า ซึ่งจะส่งผลต่อสุขภาพของสัตว์ได้ ตามการศึกษาของ Loof et al. (2012) ที่ศึกษาการใช้ยาต้านจุลชีพในอาหารสุกรก่อนหย่านม พบว่า ทั้งปริมาณและความหลากหลาย ของจุลินทรีย์ในทางเดินอาหารลดลงเมื่อใช้ยาปฏิชีวนะ นอกจากนี้ยังทำให้ปริมาณเชื้อ *E. coli* ในลำไส้เล็กส่วนท้ายเพิ่มขึ้นอีกด้วย

### 2.2 ความเครียด

ในกระบวนการผลิตสุกรในระดับอุตสาหกรรม สุกรเผชิญกับความเครียด มากมายในช่วงของการหย่านม เช่น การเปลี่ยนแปลงทางสังคม สภาพแวดล้อม อาหาร และ

ศิริวิทยา ซึ่งทำให้สุกรหลังหย่ามเกิดปัญหาจะงักการเจริญเติบโต และยังส่งผลต่อความสมบูรณ์ของลำไส้ เปิดโอกาสให้เชื้อแบคทีเรียก่อโรคเช่น *E. coli* เข้ามีดเคาะและเพิ่มจำนวนที่ผนังลำไส้ได้จากการศึกษาของ Chase (2018); Santos et al. (2000) พบว่า ระดับของ cortisol ในกระเพาะเลือด มีความสัมพันธ์กับการเพิ่มการขยับสารที่เยื่อบุผนังลำไส้ (permeability) ทำให้เพิ่มโอกาสการรับสารพิษจากแบคทีเรีย (enterotoxin)

### 2.3 อายุของสัตว์และอาหาร

ในการศึกษาประชากรจุลินทรีย์ในทางเดินอาหารนั้น อายุของสัตว์ในการเก็บตัวอย่างมีผลต่อประชากรจุลินทรีย์ได้ เนื่องจากระบบนิเวศของจุลินทรีย์ในระบบทางเดินอาหาร มีการเปลี่ยนแปลงตลอดเวลา และตัวแปรสำคัญอีกประการหนึ่งคืออาหารที่สุกรได้รับ เช่น สุกรที่ได้รับอาหารที่เพิ่มไข่อาหารทำให้ปริมาณของจุลินทรีย์ในทางเดินอาหารมีการเปลี่ยนแปลง นอกจากนี้การให้เยื่อไข่รวมที่ระดับสูง (217 กรัมต่อกิโลกรัมอาหาร) ในอาหารสุกรหลังหย่าม โดยเริ่มให้อาหารหลังจากหย่าม 15 วัน จะมีปริมาณเชื้อแบคทีเรีย *Enterococcus* น้อยกว่าสุกรกลุ่มที่ให้เยื่อไข่ระดับต่ำ (146 กรัมต่อกิโลกรัมอาหาร) อย่างมีนัยสำคัญทางสถิติ ( $4.06 \text{ vs. } 4.56 \log \text{ cfu/g; } P = 0.05$ ) แต่การให้เยื่อไข่ในระดับสูงหลังจากหย่ามทันที (169 กรัมต่อกิโลกรัมอาหาร) มีแนวโน้มเพิ่มความเสี่ยงต่อการเกิดอาการท้องเสียในสุกร ( $P = 0.07$ ) เมื่อเปรียบเทียบ กับกลุ่มควบคุม (เยื่อไข่รวมเท่ากัน 121 กรัมต่อกิโลกรัมอาหาร) (Montagne et al., 2012) และจากการศึกษาของ Lee et al. (2016) แสดงให้เห็นว่าการใช้แหล่งเยื่อไขชนิดต่างๆ ในอาหารสุกร หลังหย่าม ช่วยเพิ่มจุลินทรีย์จำพวกย่อยเยื่อไข (cellulolytic bacteria) ในลำไส้และมุต การเสริมเยื่อไขชนิดละลายน้ำจากกัวกัม (guar gum) ที่ระดับ 10% ของน้ำหนักแห้งในอาหาร และมีการให้เชื้อ enterotoxigenic *Escherichia coli* ใน 48 ชั่วโมงหลังจากหย่าม ผลการศึกษาพบว่า สุกรที่ให้อาหารที่ใช้กัวกัมในอาหาร พบรการเจริญของ enterotoxigenic *E. coli* ภายในลำไส้เล็กมากกว่ากลุ่มควบคุมอย่างมีนัยสำคัญทางสถิติ ซึ่งเชื้อรินิดนี้เป็นแบคทีเรียก่อโรคท้องร่วงในสุกรโดยเฉพาะสุกรหลังหย่าม (McDonald et al., 1999)

นอกจากกรณีของไข่อาหาร ยังมีการศึกษาการลดระดับโปรตีนในอาหาร จะช่วยลดโอกาสการเกิดอาหารท้องเสียหลังหย่ามของสุกรหลังหย่ามที่เหนี่ยวนำด้วยเชื้อ *E. coli* ด้วยเหตุนี้จะเห็นว่าทั้งอายุและอาหารที่สุกรได้รับต่างมีผลต่อการเปลี่ยนแปลงของระบบนิเวศของจุลินทรีย์ในระบบทางเดินอาหารได้ (Nowland et al., 2019)

## การศึกษาการใช้ไข้อาหารในอาหารสุกร

สุกรมีความต้องการเยื่อไข่ในระดับที่น้อย เพื่อรักษาระบบการทำงานและสรีรวิทยาของระบบทางเดินอาหารให้เป็นปกติ แต่ปริมาณที่มากเกินไปจะมีผลขัดขวางการใช้ประโยชน์ได้ของสารอาหารและพลังงาน ซึ่งผลทางลบของเยื่อไข่มีความแตกต่างกันตามคุณสมบัติและแหล่งของเยื่อไข่ที่แตกต่างกัน อย่างไรก็ตามเยื่อไข่มีส่วนช่วยกระตุ้นสุขภาพของระบบทางเดินอาหาร ทำให้อ่อน และมีผลเชิงบวกกับสุขภาพระบบทางเดินอาหารของสัตว์ โดยเฉพาะในปัจจุบันที่มีการใช้ยาปฏิชีวนะในรูปแบบของสารเเพ่วการเจริญเติบโต และยับยั้งการเจริญของเชื้อโรคในระบบทางเดินอาหารในช่วงเวลาที่สำคัญ เช่น เพื่อควบคุมโรคห้องเสียหรือโรคบิดในสุกรหลังหย่านม (Lindberg, 2014)

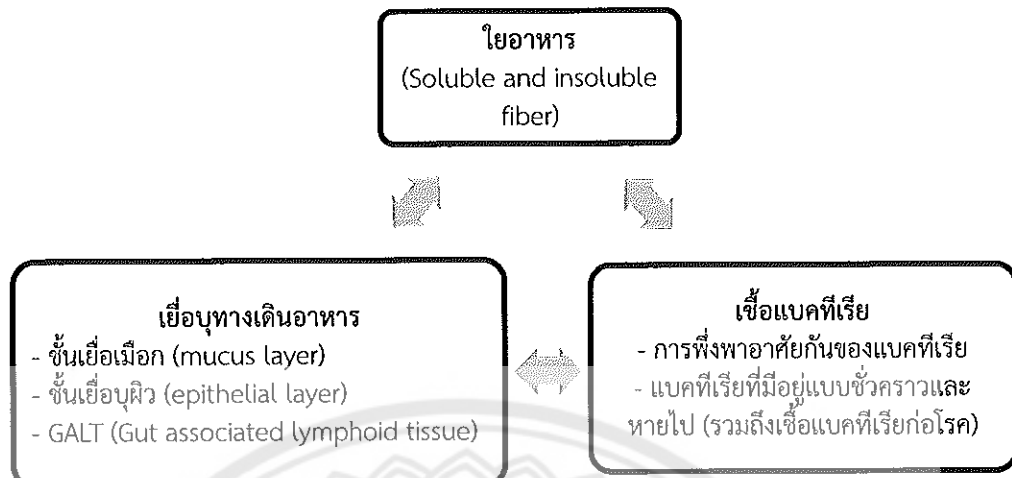
Hedemann et al. (2006) ศึกษาผลของเยื่อไข่ที่ต่างกันต่อสัณฐานวิทยาของลำไส้ และการหลังเย็นไข่มีน้ำของสุกรหย่านมอายุ 4 สัปดาห์ น้ำหนักประมาณ  $8.6 \pm 1.4$  กิโลกรัม ให้อาหารที่มีระดับเยื่อไข่ต่างกัน คือ 73, 104 และ 145 กรัมต่อกิโลกรัมอาหาร อาหารทดลองประกอบด้วยเพคตินเป็นตัวแทนของเยื่อไขมนิดละลายน้ำ และแกลบข้าวบาร์เลย์เป็นตัวแทนของเยื่อไขมนิดไม่ละลายน้ำ พบร้า สุกรที่ได้รับอาหารที่มีเพคติน มีปริมาณการกินต่อวัน และอัตราการเจริญเติบโตต่อวัน สูงกว่ากลุ่มที่ได้รับอาหารที่ไม่มีเพคตินอย่างมีนัยสำคัญทางสถิติ นอกจากนี้ยังพบว่าการใช้ไข้อาหารชนิดไม่ละลายน้ำเพียงอย่างเดียวส่งผลเชิงลบต่อการย่อยได้ของสารอาหาร ดังเช่น การศึกษาของ Wang et al. (2016) ซึ่งได้ศึกษาระดับการใช้หากหัวชูการบีท (sugar beet pulp) เป็นแหล่งของไข้อาหารชนิดละลายน้ำ ในอาหารสุกรหย่านม 1-14 วัน โดยใช้ที่ระดับ 60, 120, 180 และ 240 กรัมต่อกิโลกรัมอาหาร และมีปริมาณNDF เท่ากับ 12.3, 11.9, 13.3 และ 16.9% ตามลำดับ พบว่าการเพิ่มระดับของหากหัวชูการบีทที่ระดับสูงขึ้น มีความสัมพันธ์เชิงลบกับการย่อยได้แบบปรากฏของพลังงานและปรตีนในช่วง 14 วันหลังหย่านม

ในขณะที่การให้ไข้อาหารชนิดไม่ละลายน้ำจะให้ผลทางด้านการส่งเสริมทำงานของระบบทางเดินอาหาร ดังเช่นการศึกษาของ Gerritsen et al. (2012) ทำการทดลองเบรี่ยบเทียนอาหารทดลอง 3 ชนิดในระยะหลังหย่านม คือ 1) อาหารควบคุมเชิงบวก (positive control: PC) ซึ่งเป็นสูตรอาหารที่ประกอบด้วยโปรตีนคุณภาพดี 2) อาหารควบคุมเชิงลบ (negative control: NC) ซึ่งประกอบด้วยข้าวบาร์เลย์ 20% ข้าวสาลี 20% และข้าวโพด 20% 3) อาหารพื้นฐานที่ประกอบด้วย 15% ของเยื่อไข่ที่ไม่ละลายน้ำ(INSF) จากแกลบข้าวโถตและฟางข้าวสาลี โดยอาหารทดลองมีเยื่อใบหยาน (crude fiber) เท่ากับ 2.7, 2.9 และ 7.4% ตามลำดับ ผลการทดลองนี้ให้เห็นว่าการเสริมเยื่อไขมนิดไม่ละลายน้ำจะช่วยเพิ่มปริมาณอาหารที่กินต่อวัน ในช่วง 0-14 วัน หลังหย่านม และขั้ตตราการเจริญเติบโตต่อวันของสุกร ในช่วง 0-7 วันหลังหย่านม ลักษณะมูด

ของทั้งสามกลุ่มไม่แตกต่างกัน แต่ müลของสุกรกลุ่ม INSP ดีกว่ากลุ่มอื่นในช่วง 0-14 วัน นอกจานนอาหารที่มีปริมาณเยื่อไขที่ไม่ละลายน้ำสูง มีแนวโน้มเพิ่มการทำงานของเอนไซม์ อะไมเลส ( $P = 0.060$ ) และมีน้ำหนักของกระเพาะอาหารมากกว่ากลุ่มอื่น เนื่องมาจากสุกรพยายามปรับตัวตอบรับปริมาณเยื่อไขชนิดไม่ละลายน้ำ โดยการเพิ่มปริมาตรของทางเดินอาหารให้ใหญ่ขึ้น นอกจากนี้จากการทดลองใช้ไขอาหารชนิดไม่ละลายน้ำจากร้าวสาลีโดย Langlois et al. (1987) ซึ่งได้ทำการศึกษาการหลังคืนไขม์จากตับอ่อนในสุกรที่ใช้ร้าวสาลีที่ระดับ 400 กรัมต่อ กิโลกรัม เบรียบเทียบกับกลุ่มที่ไม่ใช้ ผลการศึกษาพบว่าการสุกรที่ใช้ร้าวสาลี ส่งผลทำให้ขนาดของตับอ่อนใหญ่ขึ้น (+115%) และเพิ่มปริมาณการหลังโปรดตีนจากตับอ่อน (+36%) แต่ความเข้มข้นของโปรตีนมีค่าลดลง อีกทั้งยังเพิ่มการทำงานของเอนไซม์โดยรวมอีกด้วย

การใช้ไขอาหารสองชนิดร่วมกัน คือไขอาหารชนิดละลายน้ำและชนิดไม่ละลายน้ำในสูตรอาหาร (3% ภาคหัวชูกรรบีท + 4% ร้าวสาลี) ในสุกรหลังห่านม 15 วัน ทำให้ประสากระเชื้อจุลทรรศน์ก่อโรคในกลุ่ม *Enterobacteria* ในลำไส้ใหญ่ลดลงอย่างมีนัยสำคัญทางสถิติ เมื่อเทียบกับกลุ่มควบคุม (ส่วนประกอบหลักได้แก่ไข่ 33.0% ช้ำบาร์เลย์ 23.8% หางนม 13.0% หางนมไขมันสูง 10.0% และโปรดตีนเข้มข้นจากถั่วเหลือง 9.2%) นอกจากนี้การใช้ไขชนิดที่ไม่ละลายน้ำในอาหารสุกรหลังห่านม มีแนวโน้ม ( $P = 0.069$ ) ในการลดเชื้อ *E. coli* ในมูล (Molist et al., 2009) ซึ่งเชื้อดังกล่าวเป็นสายพันธุ์ที่ก่อให้เกิดการทำลายอย่างรุนแรงในสุกร สอดคล้องกับงานวิจัยของ Pluske et al. (2014) ที่ทดลองในสุกรห่านมที่ได้รับเชื้อ *E. coli* สายพันธุ์ 0149:K91:F4 ซึ่งเป็นสายพันธุ์ที่สร้าง enterotoxin ทำให้สุกรแสดงอาการท้องเสีย หลังจากนั้นให้สุกรได้รับอาหารที่มีเซลลูโลสจากไม้เป็นตัวแทนของเยื่อไขชนิดไม่ละลายน้ำ โดยระดับการใช้คือ 0, 30, 60 และ 90 กรัมต่อ กิโลกรัมอาหาร พนจ่าการให้อาหารที่มีเยื่อไขชนิดไม่ละลายน้ำเพิ่มขึ้น มีความสัมพันธ์เชิงลบต่อปริมาณเชื้อ *E. coli* ที่ขับออกมากับมูล ( $P = 0.010$ )

ดังนั้นจากการวิจัยที่ได้รวบรวมมาสามารถสรุปได้ว่า ไขอาหารมีความสัมพันธ์กับการทำงานของระบบทางเดินอาหาร โดยช่วยส่งเสริมการฟื้นฟูเยื่อบุทางเดินอาหาร เพิ่มการหลังคืนไขม์ และออกฤทธิ์ในเชิงของการเป็นอาหารให้กับแบคทีเรียที่เป็นประโยชน์ หรือพรีไบโอติก ช่วยควบคุมเชื้อแบคทีเรียที่ก่อโรคในระบบทางเดินอาหารได้ ดังแสดงในภาพ 2.6 ทั้งนี้ยังมีรายปัจจัยที่เกี่ยวข้องซึ่งทำให้ผลที่ได้จากการใช้ไขอาหารแตกต่างกันไป เช่น ชนิดของไขอาหาร และแหล่งที่มาของไขอาหาร โดยหน้าที่และความสำคัญของไขอาหาร



ກາພ 6 ຄວາມສ້າມພັນຮ້ອງຫວ່າງປັ້ງຈັກທີ່ມີຜລຕ່ອສຸຂພາພຂອງຮະບບທາງເດີນອາຫານ

ທີມາ: ດັດແປລັງຈາກ Conway, 1994

### ວັດຖຸດີບທີ່ມີໄຍ້ອາຫານສູງໃນປະເທດໄທ

ປະເທດໄທມີຄັກຍາພີໃນກາຮັດຕິພິບປະເທດ ວັດຖຸດີບໜັກໃນກາຮັດຕິພິບປະເທດໄທ ສັນຕິພິບປະເທດໄທ ແລະ ປະເທດໄທ ບໍ່ແມ່ນແບ່ງເປັນແຫຼ່ງຂອງພລັງງານ ໄດ້ແກ່ຂ້າວ ຂ້າວໂພດ ມັນສໍາປະຫັດ ແລະ ຂ້າວສາລີ ຄິດເປັນ ປະມານ 60% ສ່ວນແຫຼ່ງຂອງໂປຣຕິນ ຄືອຄ້ວ່າເໜືອງແລະ ກາກຄ້ວ່າເໜືອງ ຄິດເປັນ 28% ປາກປິນ ປະມານ 3% ແລະ ອື່ນໆ ອີກ 9% (ສາມາຄູ່ຜົດລິຕອາຫານສັຕ່ວໂນໂທ, 2561)

ຂ້າວ ເປັນພື້ນເສດຖະກິນທີ່ລຳຄັ້ງຂອງປະເທດໄທ ເນື່ອຈາກຄານໄທຍບວິໂນາຄຂ້າວເປັນອາຫານຫັກ ແລະ ຍັງເປັນສິນຄ້າເກະຊົດຮ່າງອົບອັດນິ່ງຂອງໄທຍ ໂດຍໃນປີ พ.ສ. 2562 ໄທຍມີພື້ນທີ່ເພະປຸງຂ້າວ ຮວມປະມານ 70.97 ລ້ານໄໝ ຄວບຄຸມພື້ນທີ່ປຸງປະມານ 45.2% ຂອງພື້ນທີ່ເກະຊົດທັງໝົດ ຂອງປະເທດ ແລະ ມີຜລຜິດຮ່າງ 33.56 ລ້ານຕົ້ນ ຄິດເປັນຜລຜິດປະມານ 4.2% ຂອງຜລຜິດຂ້າວ ທົ່ວໂລກ ຜົ່ງໄທຍຄືວ່າເປັນຜົດລິຕ້າວມາກເປັນອັນດັບ 6 ຂອງໂລກ ຮອງຈາກຈືນ ອິນໂດນີເຫື່ຍ ບັນຄລາເທດ ແລະ ເວີຍດນາມ (ສໍານັກງານເສດຖະກິນກາຮັດຕິ, 2562a)

ຄ້ວ່າເໜືອງ ຈາກຂໍ້ອມຸດປີ ພ.ສ. 2561 ພື້ນທີ່ປຸງຂ້າວຄ້ວ່າເໜືອງຮ່າງທັງປະເທດປະມານ 152,106 ໄວ ຄິດເປັນຜລຜິດປະມານ 42,829 ຕັ້ນ ໂດຍການເຫື່ອມືພື້ນທີ່ເພະປຸງມາກທີ່ສຸດ ຮອງຄົນມາ ຄືອ ກາກຕະວັນອອກເຈີຍເໜືອແລະ ກາກຄລາງ (ສໍານັກງານເສດຖະກິນກາຮັດຕິ, 2562b) ທັງນີ້ ຄວາມຕ້ອງການໃຊ້ຄ້ວ່າເໜືອງເພື່ອເປັນວັດຖຸດີບອາຫານສັຕ່ວໂນປີ ພ.ສ. 2562 ມີຄວາມຕ້ອງກາຮ່າມ 4,186-

5.448 ล้านตัน ซึ่งเกินกว่ากำลังการผลิตภายในประเทศ ต้องอาศัยการนำเข้าเพิ่มเติม ทั้งในรูปของเมล็ดถั่วเหลืองและากาถั่วเหลือง

มันสำปะหลัง จากสถิติของสำนักเศรษฐกิจการเกษตร (2562a) ได้รายงานข้อมูลการผลิตปี พ.ศ. 2561 มันสำปะหลังในงาน มีพื้นที่เพาะปลูกรวมประมาณ 8.6 ล้านไร่ ให้ผลผลิตประมาณ 29.4 ล้านตัน ทั้งนี้การปลูกมันสำปะหลังมีแนวโน้มเพิ่มขึ้นตั้งแต่ปีเพาะปลูก 2561 เนื่องจากราคาหัวมันสำปะหลังราคายังต่อเนื่อง ทำให้เกษตรกรมีแรงจูงใจในการทำการปลูก ประกอบกับสถานการณ์อ้อยในงาน ที่มักจะใช้พื้นที่ปลูกทดแทนกัน มีราคาตกต่ำ และคาดการณ์ว่าปี พ.ศ. 2563 จะมีพื้นที่ปลูกเพิ่มขึ้น 1.23% เป็น 8,809,194 ไร่ และได้ผลผลิตเพิ่มขึ้น 1.83% เป็น 32,004,184 ตัน (สมาคมผู้ผลิตอาหารสัตว์ไทย, 2562) พื้นที่ปลูก 5 อันดับแรก คือ นครราชสีมา กำแพงเพชร ชัยภูมิ กาญจนบุรี และอุบลราชธานี ตามลำดับ

จากข้อมูลเบื้องต้นแสดงให้เห็นถึงความสำคัญทางเศรษฐกิจของข้าว ถั่วเหลือง และมันสำปะหลัง และจากการบวนการแปรรูปตุติดทำให้มีผลผลอยได้จากการบวนการแปรรูปผลผลอยได้เหล่านี้มีปริมาณเยื่อใยสูง สามารถใช้เป็นแหล่งใยอาหารสำหรับอาหารสัตว์ได้ ได้แก่ แกลบดิบ (ผลผลอยได้จากการสีข้าว) รำสกัดน้ำมัน (ผลผลอยได้จากการสกัดน้ำมันรำข้าว) ภาคมันสำปะหลัง (ผลผลอยได้จากการผลิตแบ่งมันสำปะหลัง) และผิวถั่วเหลือง (ผลผลอยได้จากการสกัดน้ำมันถั่วเหลือง) โดยรายละเอียดของผลผลอยได้แต่ละชนิดดังนี้

### 1. แกลบข้าว

แกลบ เป็นผลผลอยได้จากการบวนการสีข้าวที่เกิดขึ้นประมาณ 20-30% ของกระบวนการผลิต (อรอนงค์ วินัยกุล, 2547; Feng et al., 2004) แกลบข้าวมีองค์ประกอบของเซลลูโลสเป็นส่วนใหญ่ 51.5% รองลงมาเป็นเอมิเซลลูโลส 21% และลิกนิน 10% (Oliveira et al., 2017) ซึ่งกระบวนการสีข้าวประกอบด้วยขั้นตอนหลัก 4 ขั้นตอน (อรอนงค์ วินัยกุล, 2547) ได้แก่

1.1 การทำความสะอาด เพื่อกำจัดส่วนเปลกปลอกต่างๆ ที่อาจติดมากับข้าวเปลือก เช่น เมล็ดลีบ หิน กรวด ทราย เมล็ดธัญพืชและสิ่งสกปรกต่างๆ

1.2 การสะเทาะ เพื่อแยกเปลือกหุ้มเมล็ดและมูกข้าว (คัพภะ) หลุดออกจากการเมล็ด สิ่งที่ได้รับจากการบวนการนี้คือ แกลบ เป็นส่วนผสมของเปลือกเมล็ด หาง ก้านเลี้ยง และข้าวเมล็ด และอีกส่วนคือข้าวกล้องที่มีเยื่อหุ้มเมล็ดหันนอกติดอยู่ด้วย

1.3 การขัดขาว เป็นการทำจัดเยื่อหุ้มเมล็ดหลุดออกจากเมล็ดข้าว และทำให้ข้าวขาว สิ่งที่ได้จากการบวนการนี้คือ รำ มีประมาณ 8 – 10% ของข้าวเปลือก ซึ่งเป็นส่วนผสมของเยื่อหุ้มผลเยื่อหุ้มเมล็ด จมูกข้าว และผิวนอกของข้าวสาร และได้ข้าวสารประมาณ 68-70% ของข้าวเปลือก

1.4 การคัดแยก เพื่อแยกข้าวเต็มเมล็ด ตันข้าว ข้าวหัก ซึ่งอาจมีปริมาณมากน้อยแตกต่างกันตามคุณภาพของข้าวเปลือกก่อนสี และข้าวเดือนระหงการสีข้าว

แกลบดิบสามารถนำไปใช้ได้ในหลายอุตสาหกรรม สำหรับด้านปศุสัตว์ มักใช้สำหรับเจื้อเพลิง วัสดุปูรองพื้นคอกสำหรับสัตว์ปีก สื่อสำหรับผสมพรีเมิก์ และเวชภัณฑ์ สำหรับการใช้ในอาหารสัตว์ จากงานวิจัยของ Tartrakoon et al. (2017) พบร่วมกันว่าสามารถใช้แกลบดิบบด เพื่อเป็นแหล่งของไขอาหารชนิดไม่ละลายน้ำ สามารถใช้ได้ถึง 3% ในสูตรอาหารสุกรรุ่น-ชุน โดยไม่ส่งผลต่อค่าการย่อยได้แบบปรากฏของพลังงานและโปรตีน สำหรับองค์ประกอบของไขอาหารในแกลบดิบดังแสดง ตาราง 5

ตาราง 5 Total, soluble and insoluble dietary fiber composition of rice hull

แหล่ง	DF (%)	iDF (%)	sDF (%)	ที่มา
ไทย	67.80	59.85	7.96	Tartrakoon et al. (2017)
ไทย	59.50	-	-	กุลนิภา อนุรุ่งรังษี และคณะ (2557)
มาเลเซีย	59.01 ± 0.16	58.01 ± 0.13	1.00 ± 0.02	Kuan et al. (2012)
อิหร่าน	53.55	52.63	0.92	Rezaei et al. (2014)
สเปน	74.0	72.0	2.0	Jiménez-Moreno et al. (2016)

## 2. รำสกัดน้ำมัน

รำสกัดน้ำมันเป็นผลผลิตที่ได้จากการกระบวนการสกัดน้ำมันรำข้าว มีองค์ประกอบของไขอาหาร 32.98% แบ่งเป็นไขอาหารชนิดไม่ละลายน้ำ 93.84% และไขอาหารชนิดละลายน้ำ 6.16% ของปริมาณไขอาหารทั้งหมด (Daou, & Zhang, 2014) รำสกัดน้ำมันสามารถใช้ในอาหารสุกรหลังหย่านมได้ที่ระดับ 10-20% โดยไม่ส่งผลกระทบต่อประสิทธิภาพการเจริญเติบโตของสุกร (Casas, & Stein, 2016) และสามารถใช้ในอาหารสุกรรุ่นได้ไม่เกิน 20% (Stein et al., 2015)

## 3. กากรมันสำปะหลัง

กากรมันสำปะหลังเป็นผลผลิตที่ได้จากการผลิตแป้งมันสำปะหลัง โดยหากมันสำปะหลังที่ได้คิดเป็น 11.1% (พิพัฒน์ เหลืองวิลาวัลย์, และวิศิษฐ์พร ศุขสมบัติ, 2550) กากรมันสำปะหลังมีปริมาณแป้งประมาณ 50-60% เช่นไบประมาณ 4.6-16.1% (วิริยา โภสุม,

2552) สำหรับองค์ประกอบของไข้อาหารนั้น กากมันสำปะหลังมีปริมาณไข้อาหารทั้งหมด 27.40% แบ่งเป็นไข้อาหารชนิดไม่ละลายน้ำ 25.25% และไข้อาหารชนิดละลายน้ำ 2.15% (Pramana et al., 2018) ความแปรปรวนของกากมันสำปะหลังขึ้นอยู่กับกระบวนการและเทคโนโลยีการผลิต ที่แตกต่างกัน กากมันสำปะหลังสามารถใช้เป็นอาหารสุกระยะหลังหย่านมได้ถึง 10% ในรูป ของอาหารเม็ด โดยไม่มีผลต่อคุณภาพเม็ดอาหาร และปริมาณการกินอาหารของสุกร (นุจิรา ทักษิณานันท์ และคณะ, 2553)

#### 4. ผิวถั่วเหลือง

ผิวถั่วเหลือง เป็นผลผลอยได้จากการแปรรูปเมล็ดถั่วเหลือง โดยการแยกเอาเปลือก หุ้มเมล็ดออกจากเมล็ดถั่วเหลือง โดยผิวถั่วเหลืองนี้ ได้มาจากการคัด 2 ชุดสาหกรรม คือ โรงงานสกัด น้ำมันถั่วเหลือง ซึ่งเป็นแหล่งของผิวถั่วที่ใช้ในอาหารสัตว์มาก และผิวถั่วจากกระบวนการทำอาหาร เช่น น้ำนมถั่วเหลือง เต้าหู้ เต้าเจี่ยว ซึ่งเป็นต้น หากเป็นผลผลอยได้จากการกระบวนการสกัดน้ำมัน ถั่วเหลืองคิดเป็นประมาณของผิวถั่วเหลืองประมาณ 7-8% ของปริมาณการผลิต (สุกัญญา เกินกลาง, 2546; Liu, & Li, 2017) การกระบวนการคัดผิวถั่วเหลืองทำให้กากถั่วเหลืองที่ได้มีปริมาณเพิ่มขึ้น องค์ประกอบทางเคมีของผิวถั่วเหลืองมีความผันแปรอันเนื่องมาจากประสิทธิภาพของกระบวนการผลิต โดยผิวถั่วเหลืองมีวัตถุแห้ง 90.58% โปรตีน 12.06% สำหรับด้านองค์ประกอบตามชนิด ควรนำไปใช้เดรต ประกอบด้วยเซลลูโลสประมาณ 29-51% เอมิเซลลูโลส 10-25% ลิกโนน 1-4% และ เพคติน 4-8% (Liu and Li, 2017) ผิวถั่วเหลืองสามารถใช้ในอาหารสุกรหลังหย่านมได้ไม่เกิน 20% โดยไม่ส่งต่อประสิทธิภาพการเจริญเติบโตของสุกร (Ani et al., 2013; Goebeling et al., 2012) ปริมาณไข้อาหารรวม ไข้อาหารชนิดไม่ละลายน้ำ และไข้อาหารชนิดละลายน้ำ ดังแสดงใน ตาราง 6

ตาราง 6 Total, soluble and insoluble dietary fiber composition of soybean hull

Source	DF (%)	iDF (%)	sDF (%)	iDF:sDF
Pascoal et al. (2015)	76.4	70.7	5.7	12.4
Burkhalter et al. (2001) <sup>1</sup>	63.8 – 80.7	59.9 – 72.2	3.9 – 12.7	5.0-15.4
Cargill	77.3	70.0	7.3	9.6
Central soya	80.7	72.2	8.5	8.5
Jones-A	76.4	63.7	12.7	5.0
Jones-B	75.5	68.4	7.1	9.6
Quincy	63.8	59.9	3.9	15.4

ตาราง 6 (ต่อ)

Source	DF (%)	iDF (%)	sDF (%)	iDF:sDF
Cole et al. (1999) <sup>2</sup>	63.8 – 81.2	59.9 – 72.2	3.9 – 12.7	5.0 -15.4
A	79.6	71.4	8.2	8.7
B	77.3	70.0	7.3	9.6
C	80.7	72.2	8.5	8.5
D	75.3	66.1	9.2	7.2
E	72.4	66.3	6.1	10.9
F	63.8	59.9	3.9	15.4
G1	76.4	63.7	12.7	5.0
G2	75.5	68.4	7.1	9.6
G3	81.2	68.8	12.4	5.5
Jaworski and Stein (2017) <sup>3</sup>	67.46	62.15	5.31	11.7
Yang et al. (2014)	66.0 ± 0.2	54.5 ± 0.1	5.3 ± 0.1	-

หมายเหตุ: 1 = five samples from four U.S. processing plants

2 = nine samples from U.S. processing plants

3 = samples from Archer Daniels Midland Company, Illinois, U.S.

## บทที่ 3

### วิธีดำเนินการวิจัย

การศึกษาครั้งนี้แบ่งการวิจัยออกเป็น 3 การทดลอง คือ

การทดลองที่ 1 การศึกษาลักษณะทางกายภาพและเคมีของวัตถุดิบแหล่งไข่อาหาร

การทดลองที่ 2 การทดลองเพื่อหาระดับการใช้ไข่อาหารที่เหมาะสมสำหรับสูตรหลังหย่านม โดยใช้วัตถุดิบแหล่งไข่อาหารที่ได้คัดเลือกจากจากการทดลองที่ 1 และศึกษาผลของการใช้ต่อการพัฒนาของระบบทางเดินอาหาร ประสิทธิภาพการผลิต การอยู่ได้ของสารอาหารแบบปรากฏ และปริมาณเชื้อแบคทีเรียในทางเดินอาหารส่วนท้าย

การทดลองที่ 3 การทดลองเพื่อหาสัดส่วนของที่เหมาะสมของเยื่อยีนนิดไม่ละลายน้ำต่อเยื่อยีนนิดละลายน้ำ (IDF:sDF) ในอาหารสูตรหลังหย่านม โดยใช้แหล่งไข่อาหารชนิดไม่ละลายน้ำ จากการคัดเลือกวัตถุดิบจากการทดลองที่ 1 และศึกษาผลต่อการพัฒนาของระบบทางเดินอาหาร สัณฐานวิทยาของลำไส้เล็ก ปริมาณเชื้อแบคทีเรียในทางเดินอาหารส่วนท้ายและสมรรถภาพการผลิต

โดยรายละเอียดของการทดลองมีดังนี้

การทดลองที่ 1 ศึกษาลักษณะทางกายภาพและองค์ประกอบทางเคมีของแหล่งไข่อาหาร

#### 1. ตัวอย่างและการเตรียมตัวอย่าง

ใช้ตัวอย่างที่เป็นแหล่งของเยื่อยีน ได้แก่ กากมันสำปะหลัง รากศักดิน้ำมัน แกลงบด และเปลือกถั่วเหลือง โดยเก็บตัวอย่างจากฟาร์มเกษตรกรและผู้ขายในห้องถัง จากนั้นบดวัตถุดิบด้วยเครื่องบดชนิด Hammer mill ยี่ห้อ Retsch รุ่น SM 100 ผ่านตะแกรงรูเปิดขนาด 0.5 มิลลิเมตร คงไว้ที่ภาชนะสาสน์และเก็บในถุงพลาสติกใส่ห้องตู้เย็น ทุกอย่างต้องสะอาด ไม่มีเชื้อโรค ก่อนทำการวิเคราะห์

#### 2. การวิเคราะห์คุณสมบัติทางกายภาพ

##### 2.1 การพองตัว (Swelling capacity; SC)

วัดค่าการพองตัวของอาหารและแหล่งเยื่อยีน วันพุธ (2551) นำตัวอย่างแห้ง 0.5 กรัม ใส่ในกระบอกตวงขนาด 50 มิลลิลิตร เติมน้ำ 10 มิลลิลิตร ทึบไว้ 18 ชั่วโมง ค่าการพองตัวคำนวณจากสมการ ดังนี้

$$SC \text{ (ml/g)} = \frac{\text{ปริมาตรของตัวอย่างที่พองตัว (ml)}}{\text{น้ำหนักตัวอย่างเริ่มต้น (กรัม)}}$$

## 2.2 ความสามารถในการดูมน้ำ (Water holding capacity; WHC)

วิเคราะห์ความสามารถในการดูมน้ำของอาหารและแหล่งของเยื่อไผ่ ตามวิธีการของ วันเพญ แสงทองพาณิช (2551) ใช้ตัวอย่างแห้ง 0.5 กรัม ใส่ในหลอดทดลอง เติมน้ำ 10 มิลลิลิตร ทิ้งไว้ 18 ชั่วโมง นำไปกรอง และอบที่อุณหภูมิ 105 องศาเซลเซียส นาน 2 ชั่วโมง นำมาซับน้ำหนักอีกครั้ง นำมาคำนวณโดยใช้สูตร

$$WHC \text{ (g/g)} = \frac{\text{น้ำหนักตัวอย่าง (เปียก)} - \text{น้ำหนักตัวอย่างหลังอบ (แห้ง)}}{\text{น้ำหนักตัวอย่างที่ใช้}}$$

## 2.3 การวิเคราะห์คุณสมบัติทางเคมี

นำตัวอย่างที่ผ่านการบดแล้วมาวิเคราะห์หาปริมาณใยอาหาร (Total dietary fiber; DF) เยื่อไขมันไม่ละลายน้ำ (Insoluble dietary fiber; iDF) ด้วยชุดวิเคราะห์ปริมาณใยอาหาร ยี่ห้อ Megazyme total dietary fiber assay kit (K-TDFR-200A) (Megazyme International Ireland, Co. Wicklow, Ireland) ตามวิธีของ AOAC 991.43 (AOAC, 1995) และปริมาณใยอาหารชนิดละลายน้ำ (sDF) หาได้จากผลต่างระหว่าง DF และ iDF

## 2.4 การวิเคราะห์ทางสถิติ

นำข้อมูลที่ได้จากการวิเคราะห์ทั้งทางกายภาพและทางเคมี นำมาหาค่าเฉลี่ย (mean) และส่วนเบี่ยงเบนมาตรฐาน (standard deviation; SD)

การทดลองที่ 2 การศึกษาผลของระดับไขอาหาร (DF ในอาหารสุกรหลังหย่านมต่อประสิทธิภาพการเจริญเติบโต สัณฐานวิทยาของลำไส้ และการย่อยได้ของสารอาหาร) การทดลองนี้แบ่งออกเป็น 2 การทดลองป้อม คือ

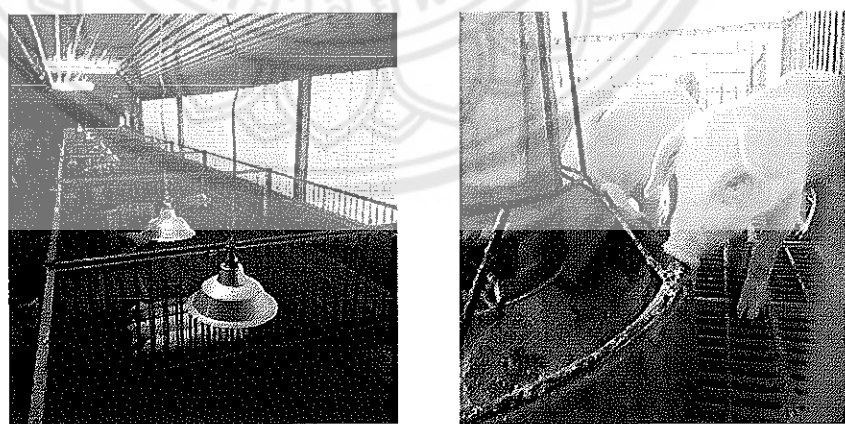
การทดลองที่ 2.1 การศึกษาเรื่องประสิทธิภาพการผลิต การพัฒนาňานักระบบทางเดินอาหาร สัณฐานวิทยาของลำไส้เล็ก และปริมาณเชื้อแบคทีเรียในระบบทางเดินอาหาร

การทดลองที่ 2.2 การศึกษาเรื่องการย่อยได้แบบปรากฏของสารอาหารของสุกร ซึ่งมีรายละเอียดดังนี้

การทดลองที่ 2.1: ศึกษาอิทธิพลของระดับไขอาหารในอาหารสุกรหลังหย่านมต่อประสิทธิภาพการผลิต การพัฒนาňานักระบบทางเดินอาหาร สัณฐานวิทยาของลำไส้เล็ก และปริมาณเชื้อแบคทีเรียในระบบทางเดินอาหาร

#### 1. สัดสวนทดลอง

การทดลองนี้วางแผนการทดลองแบบสุ่มสมบูรณ์ (Completely Randomized Design; CRD) โดยใช้สุกรลูกผสมสามสายพันธุ์ ดูร์รอก x (ลาวร์จไวท์ x แลนด์เรช) จำนวน 30 ตัว จากบางเฉียงฟาร์ม อ. บางเลน จ.นครปฐม หย่านมที่อายุ  $21 \pm 4$  วัน มีน้ำหนักเฉลี่ยตันละ 5-6 กิโลกรัม แบ่งสุกรออกเป็น 3 กลุ่มๆ ละ 10 ตัว เลี้ยงสุกรในกรงขนาด  $2 \times 2$  ตารางเมตร จำนวน 2 ตัวต่อกรง ( $n = 5$ ) เพศผู้และเพศเมียเท่ากัน (gap 6) สุกรได้รับอาหารและน้ำอย่างเต็มที่ตลอดการทดลอง เป็นระยะเวลา 28 วัน โรงเรือนเป็นระบบปิด ควบคุมอุณหภูมิเริ่มต้น  $32^{\circ}\text{C}$  และลดลง สับดาห์ละ  $1-2^{\circ}\text{C}$



ภาพ 7 ลักษณะคอกและโรงเรือนทดลอง

## 2. อาหารทดลอง

อาหารทดลองมีระดับไข้อาหารต่างกัน 3 ระดับคือ  $130 \pm 5$  (DF130),  $140 \pm 5$  (DF140) และ  $150 \pm 5$  (DF150) กรัมต่อกรัมอาหาร โดยอาหารทดลองควบคุมสัดส่วน iDF:sDF =  $4.00 \pm 0.5$  เท่ากันทุกสูตร โดยใช้แกลบดิบ (คัดเลือกจากอาหารทดลองที่ 1) และเพคตินผงเพื่อเป็นแหล่งวัตถุดิบในการปรับสัดส่วน iDF:sDF แกลบดิบเป็นแหล่งของไข้อาหารชนิดไม่ละลายน้ำ เตรียมแกลบดิบโดยล้างทำความสะอาด อบให้แห้ง และบดด้วยเครื่องบดชนิด Hammer mill ยี่ห้อ Retsch รุ่น SM 100 ผ่านตะแกรงรูเปิดขนาด 0.5 มิลลิเมตร ณ คณะวิทยาศาสตร์และเทคโนโลยีการเกษตร มหาวิทยาลัยราชมงคลล้านนา พิษณุโลก ก่อนนำมาผสมอาหาร สำหรับเพคตินผงเป็นแหล่งของไข้อาหารชนิดละลายน้ำ เป็นเพคตินทางการค้าสกัดจากแอปเปิลเขียว อาหารทดลองทุกสูตรมีไข่น้ำมะพร้าวที่มีน้ำอย่างจุ่ม ความต้องการของสุกร ตามคำแนะนำของ NRC (2012) สำหรับสุกรน้ำหนัก 7-11 กิโลกรัม ดังแสดงในตาราง 8 ให้กินอาหารในรูปแบบอาหารผง อาหารทดลองผสมไว้ไม่เกิน 7 วัน หากสุกรกินไม่หมดต้องทำการผสมใหม่

## 3. การเก็บข้อมูลและการเก็บตัวอย่าง

3.1 บันทึกน้ำหนักเมื่อเริ่มต้นการทดลอง น้ำหนักเป็นรายสัปดาห์ และน้ำหนักเมื่อสิ้นสุดการทดลอง เพื่อคำนวณหาสมรรถภาพการผลิต ได้แก่ น้ำหนักที่เพิ่มขึ้น (weight gain) อัตราการเจริญเติบโตต่อวัน (ADG) ประมาณอาหารที่กินต่อวัน (ADFI) และประสิทธิภาพการใช้อาหาร (FCR) เป็นรายสัปดาห์ ทั้งเป็นรายสัปดาห์และตลอดการทดลอง (0-28 วัน)

3.2 บันทึกคะแนนมูลสุกร เป็นรายวันตลอดการทดลอง (28 วัน) โดยแบ่งเป็น 5 ระดับ (Li et al., 2018) คือ 1 = hard feces, 2 = slightly soft feces, 3 = soft, partially formed feces, 4 = loose และ 5 = watery ทำการประเมินเป็นรายคอก ในตอนเช้า สุกรที่มีคะแนนมูลระดับ 4 และ 5 จะถือว่ามีอาการท้องเสีย จากนั้นนำจำนวนคอกที่มีอาการท้องเสีย มาคำนวณอัตราการเกิดท้องเสีย (diarrhea incidence) เป็นรายกลุ่มทดลอง โดยใช้สูตรดังนี้ (Chen et al., 2013)

อัตราการเกิดท้องเสีย (diarrhea incidence, %)

$$= \frac{\text{จำนวนคอกที่ท้องเสียในกลุ่มการทดลอง (0-28 วัน)}}{\text{จำนวนคอกทั้งหมดในกลุ่มการทดลอง} \times 28 \text{ วัน}} \times 100$$

3.3 เก็บตัวอย่างเนื้อเยื่อในวันที่ 29 ของการทดลอง สุมสุกรโดยไม่อุดอาหารก่อนจำนวน 1 ตัวต่อคอก จำนวน 4 คอกต่อกลุ่มการทดลอง ( $n = 4$ ) จากจำนวนคอกทั้งหมด 5 คอกต่อ

ก่อกลุ่มการทดลอง ชั้นนำหนักและทำการกรูณยมาตรฐาน โดยการฉีด sodium pentobarbital ขนาด 200 มิลลิกรัมต่อน้ำหนักตัว 1 กิโลกรัม (Chen et al., 2013) จากนั้นเก็บตัวอย่างชิ้นส่วนเนื้อเยื่อความยาวประมาณ 2 เซนติเมตร จากลำไส้ทั้ง 3 ส่วน ได้แก่ ลำไส้เล็กส่วนต้น (duodenum) ตำแหน่งประมาณ 10 เซนติเมตรจาก stomach sphincter ลำไส้เล็กส่วนกลาง (jejunum) ตำแหน่งประมาณ 40 เซนติเมตร จาก stomach sphincter และลำไส้เล็กส่วนปลาย (ileum) ตำแหน่งก่อนถึง ileo-caecal junction ประมาณ 10 เซนติเมตร แซด้าอย่างชิ้นส่วนเนื้อเยื่อใน formaldehyde-phosphate buffer 10% เพื่อนำไปศึกษาสัณฐานวิทยาของลำไส้

3.4 บันทึกน้ำหนักตับ กระเพาะอาหาร ลำไส้เล็ก และลำไส้ใหญ่ หลังจากทำความสะอาดเรียบร้อยแล้ว

3.5 ทำการ swab สิ่งย่อยจากลำไส้เล็กส่วนปลาย ไส้ติ่ง และลำไส้ใหญ่ หลังจากทำการสูมตัวอย่างเนื้อเยื่อแล้ว โดยใช้ก้านสำลีที่ผ่านการทำผ่าเชือกแล้ว swab สิ่งย่อยภายในส่วนที่จะเก็บตัวอย่าง จากนั้นนำก้านสำลีจุ่มลงในสารละลายโซเดียมคลอรอโรมต์ 0.85% ปริมาณ 9 มิลลิลิตร ในหลอดแก้วที่ผ่านการทำผ่าเชือกแล้ว (Gerritsen et al., 2012) นำไปน้ำแข็ง เพื่อนำไปวิเคราะห์หาปริมาณเชื้อแบคทีเรีย 3 กลุ่ม ได้แก่ *Salmonella* spp., *E. coli* และ lactic acid bacteria ต่อไป

3.6 วัดค่าความเป็นกรดด่างของสิ่งย่อยของลำไส้เล็กส่วนปลาย ไส้ติ่งและลำไส้ใหญ่ ด้วย pH meter ยี่ห้อ Eutech รุ่น pHTestr20

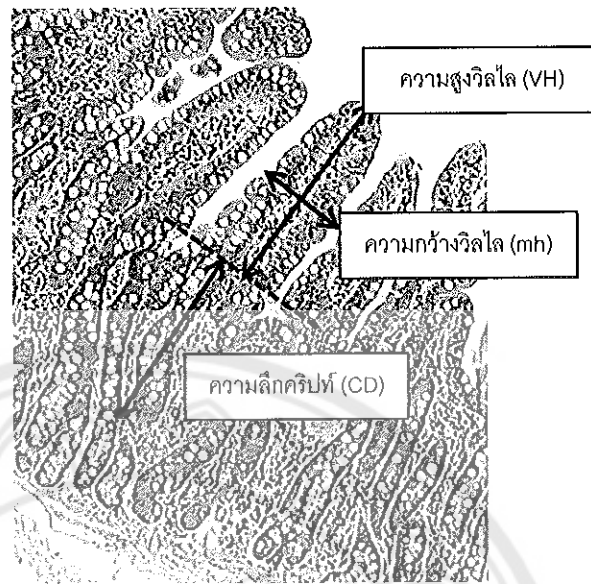
#### 4. การวิเคราะห์ตัวอย่าง

4.1 ด้านการศึกษาสัณฐานวิทยาของลำไส้เล็กทั้ง 3 ส่วน นำตัวอย่างชิ้นส่วนเนื้อเยื่อมาผ่านกระบวนการดึงน้ำออกจากเซลล์ (dehydrate) และนำไปปั่นในพาราฟิน จากนั้นนำไปปัตต์ตามแนวขวาง ความหนา 5 μm และย้อมด้วยสี haematoxilin และ eosin. จากนั้นนำสไลด์ที่ได้ไปสองภายนอกล้องด้วยกล้องจุลทรรศน์ OPTIKA รุ่น B-383PLi (OPTIKA, Italy) ด้วยกำลังขยาย 40 เท่า วัดความสูงของวิลลัส (Villus height; VH) และความลึกของคริปท์ (crypt depth; CD) จากนั้นคำนวนหาสัดส่วนความสูงของวิลลัสต่อความลึกของคริปท์ (VH:CD) และพื้นที่ผิวของวิลลัส (villus surface area, VSA) คำนวนโดยใช้สูตรของ Swiech et al (2016) ดังนี้

$$VSA = (\pi * mh * h) + \pi (1/2 * mh)^2$$

เมื่อ      mh    = ความกว้างของวิลลัส (วัดที่กึ่งกลางของความสูง)

h        = ความสูงของวิลลัส



ภาพ 8 การวัดค่าความสูงของวิลลัส (villus height; VH) ความกว้างของวิลลัส (villus width) และความลึกของคริปท์ (crypt depth; CD)

4.2 ตัวอย่างมูลจากการ rectal swab ในหลอดทดลอง นำมาทำให้เจือจาง และถ่ายลงในอาหารเลี้ยงเชื้อแบบจำเพาะ (selective agar) ดังนี้ เชื้อ *Salmonella spp.* อาหาร Bismuth sulfite agar (BSA) เชื้อ *E.coli* ใช้อาหาร Eosin methylene blue agar (EMB) และเชื้อเบคทีเรียกลุ่มผลิตกรดแลคติก (Lactic acid bacteria) ใช้อาหาร de man, rogosa and sharpe (MRS) จากนั้น ปั่นที่อุณหภูมิ 38°C เป็นเวลา 48 ชั่วโมง หลังจากนั้นนำมานับจำนวนโคโลนี ประมาณของเชื้อเบคทีเรียที่ศักยภาพแสดงในหน่วย log CFU/g

ตาราง 7 Ingredients and nutrient composition of experimental diets with different dietary fiber levels

Items	DF level (g/kg)		
	130	140	150
Extruded soybean	22.0	22.0	22.0
Broken rice	17.7	15.4	14.0
Grounded corn	25.0	25.0	25.0
Soybean meal	18.0	18.0	18.0
Palm oil	2.0	3.0	3.0
Milk replacer	6.0	6.0	6.0
Rice bran	5.0	5.0	5.0
Rice hull	-	1.2	2.5
Pectin <sup>1</sup>	0.5	0.6	0.7
Lysine	0.4	0.4	0.4
DL-Methionine	0.2	0.2	0.2
DCP	2.0	2.0	2.0
NaCl	0.5	0.5	0.5
CaCO <sub>3</sub>	0.2	0.2	0.2
Vitamin-mineral premix <sup>2</sup>	0.5	0.5	0.5
Nutrient composition (as fed basis)			
CP, %	20.86	20.72	20.66
EE, %	9.76	10.40	10.39
CF, %	4.16	4.76	5.40
Total dietary fiber, %	13.10	14.02	15.00
Insoluble dietary fiber, %	10.50	11.21	11.99

ตาราง 7 (ต่อ)

Items	DF level (g/kg)		
	130	140	150
Soluble dietary fiber, %	2.60	2.81	3.01
iDF:sDF ratio	4.02	4.00	3.99
ME, kcal/kg	3,418	3,429	3,391

หมายเหตุ: <sup>1</sup>Commercial pectin (extract from green apple)

<sup>2</sup> Premix provided the following per kg of complete diets: Vitamin A 50,000 IU, Vitamin E 100 IU, Vitamin D3 10,000 IU, Vitamin K3 8.0 mg, Vitamin B1 6.0 mg, Vitamin B2 16.0 mg, Vitamin B6 10.0 mg, Vitamin B12 0.08 mg, Pantothenic acid 50 mg, Niacin 80.0 mg, Folic acid 2.0 mg, Biotin 0.30 mg, Vitamin C 0.3 mg, Selenium 0.5 mg, Ferrous 360.0 mg, Manganese 100.0 mg, Zinc 300.0 mg, Copper 320.0 mg, Cobalt 1.6 mg and Iodine 3.0 mg

## 5. การวิเคราะห์ทางสถิติ

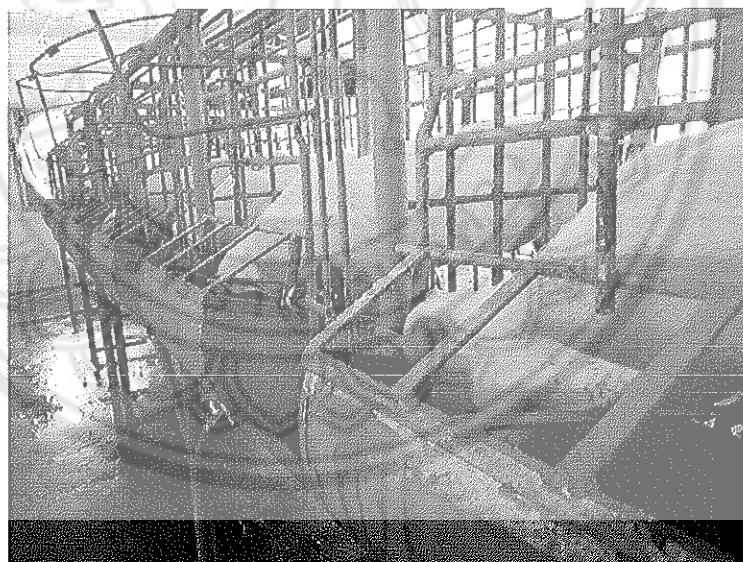
วิเคราะห์ข้อมูลที่ได้จากการทดลองโดยวิธีการวิเคราะห์ความแปรปรวน (Analysis of variance) ตามแผนการทดลอง และเปรียบเทียบความแตกต่างของค่าเฉลี่ยด้วยวิธี Duncan's New Multiple Range Test ด้วยโปรแกรมวิเคราะห์สถิติสำเร็จรูป SPSS (SPSS, 2010) ที่ระดับความเชื่อมั่น 95%

การทดลองที่ 2.2 การศึกษาผลของระดับไข้อาหารในอาหารสุกรหลังหย่านม ต่อการย่อยได้แบบปراกถูของโภชนาของสุกรด้วยวิธี indirect method

การทดลองนี้วางแผนการทดลองแบบสุ่มสมบูรณ์ (Completely Randomize Design) โดยมีอาหารทดลอง 3 กลุ่ม (ตามการทดลอง 2.1) สุกรลูกผสมสามสายพันธุ์ ดูร์อค x (ลาร์จ่าท์ x แลนด์เรช) เพศผู้ จำนวน 12 ตัว จากแหล่งเดียวกับการทดลองที่ 2.1 แบ่งเป็น 3 กลุ่มๆ ละ 4 ตัว เลี้ยงสุกรในกรงเมटาบอเลติกแบบข้างเดียว ขนาด 50 x 70 เซนติเมตร (ภาพ 8) เริ่มการทดลองหลังหย่านม 1 สัปดาห์ เพื่อให้สุกรปั๊บสภาพกับกรงเลี้ยงและสภาพแวดล้อมใหม่ จากนั้นเมื่อเริ่มการทดลอง สุกรแต่ละตัวจะได้รับอาหารทดลอง 4% ของน้ำหนักตัว ให้ระยะเวลาทั้งสิ้น 7 วัน โดย 3 วันแรกเป็นช่วงปรับตัวของสุกรต่ออาหารทดลอง และ 4 วันหลังจากนั้น เป็นช่วงเก็บตัวอย่างมูล ให้วิธี

หากการย่อยได้แบบ indirect method โดยใช้โครมิกซ์ออกไซด์ที่ระดับ 0.5% เป็นสารปั่งชีปสมในอาหารทดลอง ให้สูกรกินอาหารที่ผสมโครมิกซ์ออกไซด์ในวันที่ 3-6 ของการทดลอง จากนั้นเปลี่ยนให้อาหารทดลองที่ไม่ผสมโครมิกซ์ออกไซด์ เริ่มเก็บตัวอย่างมูลเมื่อมูลสุกรกลับมาเป็นสีปกติ (ประมาณวันที่ 4 ของการทดลอง) และหยุดเก็บตัวอย่างเมื่อมูลสุกรกลับมาเป็นสีปกติ (ประมาณวันที่ 7 ของการทดลอง) โดยเลือกเก็บมูลที่ไม่มีการปนเปื้อน เป็นรายตัว นำเข้าแข็งที่อุณหภูมิ -20°C ทันที เพื่อบังกันการเจริญของเชื้ออุลิโนว์ จากนั้นนำมูลมาอบแห้งที่อุณหภูมิ 60°C แล้วบดให้ละเอียด จากนั้นนำไปวิเคราะห์หาโภชนาและปริมาณความเข้มข้นของโครมิกซ์ออกไซด์ ทั้งในมูล และอาหารทดลองในห้องปฏิบัติการ ตามวิธีการของ Bolin et al. (1952) จากนั้นนำมาคำนวณค่าสัมประสิทธิ์การย่อยได้ของโภชนา ตามวิธีการของอังคณา หาญบรรจง และดวงสมร สินเจมศิริ (2532) ตามสูตรดังนี้

$$\text{การย่อยได้ของสารอาหาร (\%)} = \frac{100 - 100 \times \left( \frac{\% \text{ สารปั่งชีในอาหาร} \times \% \text{ โภชนาในมูล}}{\% \text{ สารปั่งชีในมูล} \times \% \text{ โภชนาในอาหาร}} \right)}{100}$$



ภาพ 9 ลักษณะกรงทดลองการย่อยได้แบบปรากวของสุกร

การทดลองที่ 3 การทดลองเพื่อหาสัดส่วนของที่เหมาะสมของเยื่อไชนิดไม่ละลายน้ำต่อเยื่อไชนิดละลายน้ำ (IDF:sDF) ในอาหารสุกรหลังหย่านม โดยใช้แหล่งไข้อาหารชนิดไม่ละลายน้ำ (จากการคัดเลือกวัตถุดิบจากการทดลองที่ 1) และผลต่อการพัฒนาของระบบทางเดินอาหาร สัณฐานวิทยาของลำไส้เล็ก ปริมาณเชื้อแบคทีเรียในทางเดินอาหาร ส่วนท้ายและสมรรถภาพการผดุง

### 1. สัตว์ทดลอง

ศึกษาทดลองในสุกรลูกผสมสามสายเลือด ดูร์อค x (ลาวร์จไวท์ x แคนดี้เรซ) จำนวน 64 ตัว หย่านมที่อายุ  $21 \pm 4$  วัน จากฟาร์มเกษตรตรัชัย ต.หนองกรด อ.เมือง จ.นครสวรรค์ มีน้ำหนักเริ่มต้นเฉลี่ย 5-6 กิโลกรัม วางแผนการทดลองแบบสุ่มสมบูรณ์ (Completely Randomized Design; CRD) โดยแบ่งสุกรออกเป็น 4 กลุ่มๆ ละ 16 ตัว (4 ตัวต่อคอก กะเพศผู้และเพศเมียเท่ากัน) เลี้ยงสุกรแบบขั้งรวมในคอกยกพื้นขนาด  $2 \times 2$  ตารางเมตร พื้นคอกเป็น สแลฟพลาสติก ให้อาหารและน้ำอย่างเต็มที่ตลอดการทดลอง เลี้ยงสัตว์ในโรงเรือนระบบปิด ควบคุมอุณหภูมิเริ่มต้น  $32^{\circ}\text{C}$  และลดลงสับ派้าห์ละ  $1-2^{\circ}\text{C}$  ระยะเวลาทดลองรวม 28 วัน (4 สัปดาห์) เปิดไฟกันให้สุกรในช่วงสัปดาห์แรกของการเลี้ยง

### 2. อาหารทดลอง

อาหารทดลองมี 4 สูตร คือสูตรควบคุม และอาหารที่มีสัดส่วน IDF:sDF แตกต่างกันคือ  $3 \pm 0.5$  (กลุ่มควบคุม),  $4 \pm 0.5$  (R4),  $5 \pm 0.5$  (R5) และ  $6 \pm 0.5$  (R6) ตามลำดับ โดยอาหารทดลองทั้ง 4 สูตร มีระดับไข้อาหารใกล้เคียงกันคือ  $140 \pm 0.5$  กรัมต่อ กิโลกรัมอาหาร ใช้แกงบดibe เป็นแหล่งของ IDF โดยแกงบดibeได้ชี้จากผู้ขายในห้องถิน จ. พิษณุโลก นำมาล้างทำความสะอาด ก่อนให้แห้งที่อุณหภูมิ  $60-65^{\circ}\text{C}$  จนแห้ง จากนั้นนำมาตัวยเครื่องบดชนิด Hammer mill ยี่ห้อ Retsch รุ่น SM 100 ผ่านตะแกรงชูเบิดขนาด 0.5 มิลลิเมตร ณ คณะวิทยาศาสตร์และเทคโนโลยีการเกษตร มหาวิทยาลัยราชมงคลล้านนา พิษณุโลก ก่อนนำมาผสานอาหาร และใช้ข้อมูลองค์ประกอบทางโภชนาธิการวิเคราะห์ในการทดลองที่ 1 ในกระบวนการสุขาอาหาร อาหารทดลองทุกสูตรมีโภชนาธิการที่ต้องการของสุกร ตามคำแนะนำของ NRC (2012) สำหรับสุกรช่วงน้ำหนัก 7-11 กิโลกรัม ให้อาหารแบบอาหารผง โดยอาหารทดลองจะผสมไว้ไม่เกิน 7 วัน ถ้าสุกรกินไม่หมดต้องทำการผสมใหม่ อาหารที่มีการตกหล่นจะนำมาหักออกจากปริมาณกิน ปริมาณภัตตุดิบและองค์ประกอบทางโภชนาธิการของอาหารทดลองแสดงใน Table 8

### 3. การบันทึกข้อมูลและการเก็บตัวอย่าง

3.1 บันทึกน้ำหนักเมื่อเริ่มต้นทดลอง น้ำหนักรายสัปดาห์ และน้ำหนักสุดท้ายของ การทดลอง รวมทั้งปริมาณอาหารที่สูกรกินแต่ละวัน เพื่อทำการคำนวณหาสมรรถภาพการผลิต ได้แก่ น้ำหนักที่เพิ่มขึ้น อัตราการเจริญเติบโตต่อวัน ปริมาณอาหารที่กินต่อวัน และประสิทธิภาพ การเปลี่ยนอาหาร เป็นรายสัปดาห์และตลอดการทดลอง (0-28 วัน)

3.2 เมื่อสิ้นสุดการทดลอง (วันที่ 28 ของการทดลอง) เก็บตัวอย่างมูลสุกรโดยวิธีการ swab จากทวารหนักโดยใช้ก้านไม้พันสำลีที่ผ่านการนึ่งฆ่าเชื้อแล้ว หลังจาก swab แล้วจุ่ม ก้านสำลีลงในสารละลายโซเดียมคลอโร๊ด 0.85% ปริมาณ 9 มิลลิลิตร ซึ่งบรรจุในหลอดแก้วที่ผ่าน การนึ่งฆ่าเชื้อแล้ว ตามวิธีการของ Gerritsen et al. (2012) เพื่อทำการวิเคราะห์หาปริมาณเชื้อ แบคทีเรีย *E. coli*, *Salmonella* spp. และ lactic acid bacteria ต่อไป

3.3 เก็บตัวอย่างเนื้อเยื่อในวันที่ 29 ของการทดลอง สุมสุกร 1 ตัวในแต่ละคอก โดยสุ่มจำนวน 4 คอกต่อกลุ่มการทดลอง ( $n = 4$ ) โดยไม่คัดอาหาร นำมาซึ่งน้ำหนัก และทำการถ่ายภาพโดยการฉีด sodium pentobarbital ขนาด 200 มิลลิกรัมต่อวันน้ำหนักตัว 1 กิโลกรัม (Chen et al., 2013) จากนั้นเก็บตัวอย่างชิ้นส่วนเนื้อเยื่อความยาวประมาณ 2 เซนติเมตร ของ ลำไส้ทั้ง 3 ส่วน ได้แก่ ลำไส้เล็กส่วนต้น (duodenum) ตำแหน่งประมาณ 10 เซนติเมตรจาก stomach sphincter ลำไส้เล็กส่วนกลาง (jejunum) ตำแหน่งประมาณ 40 เซนติเมตร จาก stomach sphincter และลำไส้เล็กส่วนปลาย (ileum) ตำแหน่งก่อนถึง ileo-caecal junction ประมาณ 10 เซนติเมตร จากนั้นแยกตัวอย่างใน formaldehyde-phosphate buffer ความเข้มข้น 10% เพื่อใช้ในการศึกษาสัณฐานวิทยาของลำไส้เล็ก

3.4 บันทึกน้ำหนักตับ กระเพาะอาหาร ลำไส้เล็ก และลำไส้ใหญ่ และวัดความยาว ของลำไส้เล็ก โดยล้างทำความสะอาดก่อนนำนำไปซึ่งน้ำหนัก

### 4. การวิเคราะห์ตัวอย่าง

4.1 ตัวอย่างมูลจากการ rectal swab ที่เก็บในหลอดทดลอง นำมาทำให้เจือจาง และถ่ายลงในอาหารเตี้ยงเชื้อแบบจำเพาะ (selective agar) ดังนี้ เชื้อ *Salmonella* spp. อาหาร Bismuth sulfite agar (BSA) เชื้อ *E. coli* ใช้อาหาร Eosin methylene blue agar (EMB) และเชื้อ แบคทีเรียกลุ่มผลิตกรดแลคติก (Lactic acid bacteria) ใช้อาหาร de man, rogoza and sharpe (MRS) จากนั้น ปั่นที่อุณหภูมิ 38°C เป็นเวลา 48 ชั่วโมง หลังจากนั้นนำมานับจำนวนโคลีนี ปริมาณของเชื้อแบคทีเรียที่ศึกษาแสดงในหน่วย log CFU/g

4.2 การศึกษาสัณฐานวิทยาของลำไส้เล็ก นำตัวอย่างชิ้นส่วนเนื้อเยื่อที่แยกใน สารละลายน้ำผ่านกระบวนการดึงน้ำออกจากเซลล์ (dehydrate) และนำชิ้นเนื้อเยื่อไปฝังใน

พาราฟิน จากนั้นนำไปตัดตามแนวขวาง ความหนา  $5\text{ }\mu\text{m}$  และย้อมด้วยสี haematoxilin และ eosin แล้วนำสไลด์ที่ได้ไปสองภายนอกล้องจุลทรรศน์ OPTIKA รุ่น B-383PLi (OPTIKA, Italy) ด้วยกำลังขยาย 40 เท่า (40X) วัดความสูงของวิลลัส (Villus height; VH) ความกว้างวิลลัส (villus width) และความลึกของคริปท์ (crypt depth; CD) ดังภาพ 3.2 จากนั้นนำมาคำนวณหาสัดส่วนความสูงของวิลลัสต่อความลึกของคริปท์ (VH:CD) และพื้นที่ผิวของวิลลัส (villus surface area, VSA) คำนวณโดยใช้สูตรของ Swiech et al (2016) โดยรายละเอียดใน การวัดเป็นเช่นเดียวกับการทดลองที่ 2.1

### 5. การวิเคราะห์ทางสถิติ

วิเคราะห์ข้อมูลประสิทธิภาพการผลิต สัณฐานจิทยาของลำไส้เล็ก และปริมาณเชื้อแบคทีเรีย ที่ได้จากการทดลองโดยวิธีการวิเคราะห์ความแปรปรวน (Analysis of variance) ตามแผนการทดลอง และเปรียบเทียบความแตกต่างของค่าเฉลี่ยด้วยวิธี Duncan's New Multiple range Test ด้วยโปรแกรมวิเคราะห์สถิติสำหรับ SPSS (SPSS, 2010) ที่ระดับความเชื่อมั่น 95%

ตาราง 8 Ingredients and nutrient composition of experimental diets with different ratio of iDF:sDF

Items	iDF:sDF ratio			
	Control	4	5	6
Extruded soybean	17.0	17.0	17.0	17.0
Broken rice	28.7	10.2	20.7	27.2
Grounded corn	18.5	35.5	23.5	15.5
Soybean meal	18.0	18.0	18.0	18.0
Palm oil	3.0	3.5	4.0	4.5
Milk replacer	5.0	5.0	5.0	5.0
Rice bran	5.0	5.0	5.0	5.0
Rice hull	-	1.0	2.0	3.0
Lysine	0.4	0.4	0.4	0.4
DL-Methionine	0.2	0.2	0.2	0.2
Threonine	0.2	0.2	0.2	0.2
DCP	2.0	2.0	2.0	2.0
NaCl	0.5	0.5	0.5	0.5
CaCO <sub>3</sub>	1.0	1.0	1.0	1.0
Vitamin-mineral premix <sup>1</sup>	0.5	0.5	0.5	0.5
Calculated Nutrient composition (as fed basis)				
CP, %	19.22	19.15	19.05	18.96
EE, %	7.78	8.65	8.85	9.97
CF, %	2.99	3.91	4.11	4.41
Total dietary fiber, %	10.88	13.69	14.15	13.82
Insoluble dietary fiber, %	9.17	11.01	11.85	11.93
Soluble dietary fiber, %	3.05	2.69	2.30	1.89
iDF:sDF ratio	3.00	4.10	5.15	6.31
ME, kcal/kg	3,352	3,346	3,360	3,365

หมายเหตุ: <sup>1</sup> Premix provided the following per kg of complete diets: Vitamin A 50,000 IU, Vitamin E 100 IU, Vitamin D3 10,000 IU, Vitamin K3 8.0 mg, Vitamin B1 6.0 mg, Vitamin B2 16.0 mg, Vitamin B6 10.0 mg, Vitamin B12 0.08 mg, Pantopthenic acid 50 mg, Niacin 80.0 mg, Folic acid 2.0 mg, Biotin 0.30 mg, Vitamin C 0.3 mg, Selenium 0.5 mg, Ferrous 360.0 mg, Manganese 100.0 mg, Zinc 300.0 mg, Copper 320.0 mg, Cobalt 1.6 mg and Iodine 3.0 mg

### **สถานที่ทำการทดลอง/เก็บข้อมูล**

1. ศึกษาทดลองในสุกร ณ หน่วยวิจัยและทดสอบอาหารสัตว์ สถาบันวิจัยและฝึกอบรมปีงราชนก คณบดีเกษตรศาสตร์ ทรัพยากรธรรมชาติและสิ่งแวดล้อม มหาวิทยาลัยนเรศวร ต. วังพิกุล อ. วังทอง จ. พิษณุโลก
2. วิเคราะห์องค์ประกอบทางเคมีและกายภาพของอาหารทดลองและวัตถุดิบแหล่งเยื่อไช ณ ห้องปฏิบัติการอาหารสัตว์ คณบดีเกษตรศาสตร์ ทรัพยากรธรรมชาติ และสิ่งแวดล้อม มหาวิทยาลัยนเรศวร
3. เตรียมแกงลบดิบสำหรับใช้ผสมอาหารทดลอง ณ คณบดีเกษตรศาสตร์และเทคโนโลยีเกษตร มหาวิทยาลัยเทคโนโลยีราชมงคลล้านนา เชียงใหม่ พิษณุโลก



## บทที่ 4

### ผลการวิจัย

#### ผลการศึกษาลักษณะทางกายภาพและทางเคมีของเหลืองไขอาหารชนิดต่างๆ

ตัวอย่างที่ใช้ในการทดลองนี้ เป็นตัวอย่างที่ได้รับรวมจากผู้ขายและฟาร์มของเกษตรกร ประกอบด้วย กากมันสำปะหลัง จำนวน 7 ตัวอย่าง แกลบดิบ จำนวน 5 ตัวอย่าง รำสกัดน้ำมัน จำนวน 10 ตัวอย่าง และผิวถั่วเหลือง จำนวน 3 ตัวอย่าง เพื่อป้องกันไม่ให้มีอิทธิพลของขนาด อนุภาคมีผลต่อคุณสมบัติทางกายภาพของวัตถุดิบ ดังนั้นก่อนการวิเคราะห์นำวัตถุดิบทั้งหมดมา บดผ่านตะแกรงขนาด 0.5 มิลลิเมตร ก่อนการวิเคราะห์

ตาราง 9 Physical properties and chemical composition of various dietary fiber sources (mean  $\pm$  SD)

Items	Cassava pulp	Rice hull	Extracted rice bran	Soybean hull
n	7	5	10	3
<u>Physical properties</u>				
Swelling capacity (mL/g)	4.48 $\pm$ 0.71	3.80 $\pm$ 0.88	5.17 $\pm$ 0.63	8.37 $\pm$ 0.71
Water holding capacity (g/g)	3.47 $\pm$ 0.49	2.34 $\pm$ 0.20	3.58 $\pm$ 1.07	5.36 $\pm$ 0.45
<u>Chemical composition</u>				
Dry matter, %	89.65 $\pm$ 0.71	94.26 $\pm$ 2.19	90.87 $\pm$ 2.52	89.96 $\pm$ 0.19
Total dietary fiber (DF), %	29.26 $\pm$ 0.11	68.01 $\pm$ 1.97	32.04 $\pm$ 0.96	65.74 $\pm$ 3.46
Insoluble dietary fiber (iDF), %	26.37 $\pm$ 2.33	62.52 $\pm$ 3.22	30.53 $\pm$ 0.38	58.24 $\pm$ 2.11
Soluble dietary fiber (sDF), %	2.89 $\pm$ 2.23	5.49 $\pm$ 4.24	1.51 $\pm$ 0.58	7.50 $\pm$ 1.34
%iDF (of DF)	90.12	91.93	95.29	88.59

จากการทดสอบคุณสมบัติทางกายภาพของวัตถุดิบ ดังแสดงใน ตาราง 9 แบ่งเป็น คุณสมบัติการพองตัว ผิวถั่วเหลืองมีค่าสูงสุด คือ 8.37 มิลลิลิตรต่อกรัม รองลงมาคือรำสกัดน้ำมัน กากมันสำปะหลัง และแกลบดิบ เท่ากับ 5.17, 4.48, 3.80 มิลลิลิตรต่อกรัม ตามลำดับ สำหรับ

ความสามารถการอุ้มน้ำ ผิวถัวเหลืองมีค่าสูงที่สุด คือ 5.36 กรัม/กรัม รองลงมา ร้าสกัดน้ำมัน กากมันสำปะหลัง และแกลบดิน เท่ากับ 3.58, 3.47 และ 2.34 กรัม/กรัม ตามลำดับ

สำหรับการวิเคราะห์ค่าปริมาณไขอาหารพบว่า แกลบดิน มีค่าเฉลี่ย DF, IDF และ sDF เท่ากับ 68.01, 62.52 และ 5.49% ตามลำดับ ซึ่งเป็นวัตถุดินที่มีค่า DF สูงสุดเมื่อเปรียบเทียบกับ วัตถุดินอื่น รองลงมาคือผิวถัวเหลืองมีค่าเฉลี่ย DF, IDF และ sDF เท่ากับ 65.74, 58.24 และ 7.50% ตามลำดับ ร้าสกัดน้ำมันมีค่าเฉลี่ย DF, IDF และ sDF เท่ากับ 32.04, 30.53 และ 1.51% ตามลำดับ ส่วนกากมันสำปะหลังมีค่าเฉลี่ยของ DF ต่ำที่สุด คือ 29.26% และมีค่าเฉลี่ย IDF และ sDF เท่ากับ 26.37% และ 2.89% ตามลำดับ ซึ่งเมื่อพิจารณาสัดส่วนของ IDF เมื่อเทียบกับค่า DF แล้ว จะพบว่าวัตถุดินที่มีสัดส่วนของ IDF มากที่สุดคือร้าสกัดน้ำมัน เท่ากับ 95.3% รองลงมาคือ กากมันสำปะหลัง แกลบดิน และผิวถัวเหลือง คือ 90.1, 85.8 และ 84.3% ตามลำดับ

ดังนั้นมีอพิจารณาปริมาณ DF ในวัตถุดินแล้วพบว่า แกลบดิน มีปริมาณไขอาหารสูงที่สุด จึงคัดเลือกเป็นวัตถุดินที่เป็นแหล่งของไขอาหาร เพื่อใช้ในการทดลองต่อไป

**ผลการศึกษาผลของระดับไขอาหาร (DF) ที่แตกต่างกันในอาหารต่อประสิทธิภาพการเจริญเติบโต สัณฐานวิทยาของลำไส้เล็ก และการย่อยได้ของสารอาหาร**

### 1. ประสิทธิภาพการเจริญเติบโต

สุกรที่ใช้ในการทดลองครั้งนี้มีน้ำหนักเริ่มต้นเฉลี่ยไม่แตกต่างกันทางสถิติ โดยมีน้ำหนักเฉลี่ยเท่ากับ  $6.05 \pm 0.46$  กิโลกรัม ในช่วงสัปดาห์แรกของการทดลอง (0-7 วัน) สุกรทุกกลุ่ม มีน้ำหนักที่เพิ่มขึ้นจากการเจริญเติบโตต่อวัน บริเวณอาหารที่กินต่อวัน และประสิทธิภาพการผลิต ไม่แตกต่างกันทางสถิติ ( $P = 0.123, 0.121, 0.644$  และ  $0.189$  ตามลำดับ) โดยสุกรที่ได้รับไขอาหารที่ระดับ 140 กรัมต่อวัน มีแนวโน้มมีอัตราการเจริญเติบโตและประสิทธิภาพการผลิต ดีกว่าสุกรกลุ่มอื่น ( $P = 0.121$  และ  $0.189$  ตามลำดับ) สำหรับประสิทธิภาพการเจริญเติบโตในสัปดาห์ที่ 2 (8-14 วัน) สัปดาห์ที่ 3 (15-21 วัน) สัปดาห์ที่ 4 (22-28 วัน) และเมื่อคำนวณ ประสิทธิภาพการผลิตโดยรวมพบว่า สุกรทั้งสามกลุ่มการทดลองมีน้ำหนักเพิ่มขึ้นต่อวัน การเจริญเติบโตต่อวัน และปริมาณอาหารที่กินต่อวันไม่แตกต่างกันทางสถิติ แต่ทั้งนี้สุกรในกลุ่มที่ได้รับระดับไขอาหารที่ 140 กรัมต่อวัน มีแนวโน้มว่าจะมีประสิทธิภาพการผลิตดีกว่ากลุ่มอื่น ( $P = 0.308$ ) ตั้งแสดงในตาราง 10

ตาราง 10 Ingredients and nutrient composition of experimental diets with different ratio of lDF: sDF

Items	DF Level (g/kg diet)			SEM	<i>P</i> -value
	130	140	150		
Initial weight, kg	6.04	6.05	6.06	0.11	0.998
Final weight, kg	13.41	14.28	13.90	0.38	0.781
0-7 d;					
Weight gain, kg	0.77	1.23	1.17	0.17	0.123
ADG, g/d	110.00	183.57	152.15	26.49	0.121
ADFI, g/d	159.14	188.43	193.79	26.51	0.644
FCR	1.51	1.14	1.33	0.14	0.189
8-14 d;					
Weight gain, kg	2.08	1.89	1.73	0.27	0.215
ADG, g/d	297.86	270.00	228.57	11.79	0.216
ADFI, g/d	334.50	316.93	341.21	3.29	0.823
FCR	1.14	1.31	1.58	0.02	0.206
15-21 d;					
Weight gain, kg	2.24	2.30	2.45	0.30	0.739
ADG, g/d	292.14	346.43	350.00	48.49	0.739
ADFI, g/d	469.29	442.71	466.43	46.27	0.918
FCR	1.82	1.44	1.42	0.22	0.463
22-28 d;					
Weight gain, kg	2.45	2.81	3.15	0.15	0.674
ADG, g/d	350.00	395.00	407.14	21.08	0.674
ADFI, g/d	640.00	628.57	657.14	34.70	0.861
FCR	1.94	1.60	1.42	0.20	0.170
Overall (0-28 d);					
Weight gain, kg	7.54	8.23	8.50	0.67	0.730
ADG, g/d	263.54	294.00	299.96	25.25	0.730
ADFI, g/d	400.73	394.16	414.64	26.41	0.873
FCR	1.57	1.34	1.40	0.09	0.317
Diarrhea incidence (%)	0.28	0.11	0.06	0.04	0.308

## 2. การย่อยได้ของโภชนา

จาก ตาราง 11 แสดงให้เห็นว่าสุกรที่ได้รับอาหารที่มีระดับไข้อาหารแตกต่างกันทั้งสามกลุ่ม ไม่ส่งผลต่อค่าการย่อยได้แบบปراกวูของพลังงาน ( $P = 0.167$ ) และโปรตีน ( $P = 0.320$ ) แต่ทั้งนี้ก็มีแนวโน้มลดลงเมื่อได้รับอาหารที่มีระดับไข้อาหารเพิ่มขึ้น สำหรับค่าการย่อยได้แบบปراกวูของไขมัน และเยื่อยิ่หยาบ นั้นมีแนวโน้มเพิ่มขึ้น ( $P = 0.082$  และ  $0.074$ ) เมื่อสุกรได้รับอาหารที่มีระดับไข้อาหารสูงขึ้น ( $P = 0.082$  และ  $P = 0.074$ ) โดยการย่อยได้ของไขมันของสุกร กกลุ่มที่ได้รับอาหาร DF130, DF140 และ DF150 เท่ากับ 38.99, 48.71 และ 41.38% ส่วนค่าการย่อยได้ของเยื่อยิ่หยาบ เท่ากับ 44.92, 48.93 และ 56.26% ตามลำดับ

ตาราง 11 Nutrient digestibility (%) of weaning pigs fed the experimental diets with different level of dietary fiber

	DF Level (g/kg diet)			SEM	$P$ -value
	130	140	150		
Gross energy	79.80	78.14	64.95	0.83	0.167
Crude protein	80.30	77.35	67.82	0.84	0.320
Ether extract	38.99	48.71	41.38	0.55	0.082
Crude fiber	44.92	48.93	56.26	0.58	0.074

## 3. สัณฐานวิทยาของลำไส้เล็ก

การเพิ่มระดับไข้อาหารในสูตรอาหารสุกรหลังหย่านม ไม่ส่งผลต่อสัณฐานวิทยาของลำไส้เล็กส่วนต้น และส่วนกลาง โดยค่า VH:CD ของลำไส้เล็กส่วนต้นของสุกรที่ได้รับอาหาร DF130, DF140 และ DF150 เป็น 1.78, 1.88 และ 1.76 ตามลำดับ ส่วนค่า VH:CD ของลำไส้เล็ก ส่วนกลางเป็น 1.82, 2.03 และ 1.84 ตามลำดับ อย่างไรก็ตามการเพิ่มระดับของไข้อาหารมีแนวโน้มส่งผลต่อความสูงของวิลล์ไล และค่า VH:CD ของลำไส้เล็กส่วนท้าย ( $P = 0.074$  และ  $P = 0.062$ ) โดยความสูงของวิลล์ไลในสุกรกลุ่มที่ได้รับอาหารกกลุ่ม DF140 มีความสูงของวิลล์ไลสูงที่สุดคือ  $344.70 \mu\text{m}$  รองลงมาคือสุกรที่ได้รับอาหาร DF150 และ DF130 ( $335.04 \mu\text{m}$  และ  $267.41 \mu\text{m}$  ตามลำดับ) ส่วนค่า VH:CD ของลำไส้เล็กส่วนท้ายที่สูงที่สุดคือสุกรที่ได้รับอาหาร DF150 มีค่า VH:CD ต่ำที่สุด รองลงมาคือกลุ่มที่ได้รับอาหาร DF140 และ DF130 (2.37, 2.12 และ 1.94 ตามลำดับ)

สำหรับพื้นที่ผิวของวิลไลของลำไส้ทั้งสามส่วน ไม่มีความแตกต่างทางสถิติระหว่างกลุ่มทดลอง ดังแสดงใน ตาราง 12

ตาราง 12 Intestinal morphology of weaning pigs fed the experimental diets with different levels of dietary fiber

Items	DF Level (g/kg diet)			SEM	<i>P</i> -value
	130	140	150		
Duodenum					
Villus width, $\mu\text{m}$	56.25	52.67	56.25	2.08	0.757
Villous height, $\mu\text{m}$	296.93	306.97	325.22	21.86	0.693
Crypt depth, $\mu\text{m}$	171.23	165.88	185.57	13.82	0.627
VH : CD	1.73	1.85	1.75	0.15	0.881
Villous area, $\text{mm}^2$	55.08	53.58	61.04	3.50	0.720
Jejunum					
Villus width, $\mu\text{m}$	50.52	54.45	51.06	0.98	0.219
Villous height, $\mu\text{m}$	293.25	355.22	298.65	26.51	0.195
Crypt depth, $\mu\text{m}$	159.85	179.15	161.68	13.01	0.557
VH : CD	1.83	1.98	1.85	0.12	0.422
Villous area, $\text{mm}^2$	49.01	62.31	49.21	3.04	0.144
Ileum					
Villus width, $\mu\text{m}$	47.95	53.02	57.66	1.76	0.413
Villous height, $\mu\text{m}$	267.41	344.70	335.04	27.11	0.074
Crypt depth, $\mu\text{m}$	137.94	164.08	142.52	12.18	0.293
VH : CD	1.94	2.10	2.49	0.12	0.062
Villous area, $\text{mm}^2$	42.50	60.85	52.75	3.84	0.178

#### 4. น้ำหนักของอวัยวะของระบบทางเดินอาหาร

น้ำหนักเฉลี่ยของสุกรที่ทำการเก็บตัวอย่าง ไม่มีความแตกต่างกันทางสถิติ โดยมีน้ำหนักเฉลี่ย 18.86 กิโลกรัม ( $P = 0.545$ ) จาก ตาราง 13 แสดงให้เห็นว่าจะตัวของไขอาหารที่เพิ่มขึ้นไม่ส่งผลน้ำหนักของตัว กระเพาะอาหาร ลำไส้เล็กและลำไส้ใหญ่ ทั้งนี้ไม่พบความแตกต่างกันทางสถิติระหว่างกลุ่มทดลอง แต่จะตัวของไขอาหารมีผลต่อน้ำหนักของลำไส้เล็กเมื่อเทียบกับน้ำหนัก

ตัวคีวเมื่อเพิ่มระดับไข้อาหารเป็น 150 กรัมต่อ กิโลกรัมอาหาร ทำให้น้ำหนักของลำไส้เล็กเมื่อเทียบกับน้ำหนักตัวลดลง เมื่อเทียบกับสุกรที่ได้รับอาหารที่มีระดับไข้อาหาร 130 และ 140 กรัมต่อ กิโลกรัมอาหาร (3.64 VS 4.05 และ 4.34 เปอร์เซ็นต์ต่อน้ำหนักตัว ตามลำดับ)

ตาราง 13 Organ weight of weaning pigs fed experimental diets with different levels of dietary fiber

items	DF Level (g/kg diet)			SEM	P-value
	130	140	150		
Body weight, kg	17.27	19.34	19.89	0.954	0.545
Organ weight, g					
Liver	470.00	540.00	531.25	24.53	0.567
Stomach	128.75	147.50	137.50	7.08	0.657
Small intestine	707.50	840.00	722.50	35.98	0.399
Large intestine	358.00	370.00	362.75	30.70	0.990
Organ weight, %BW					
Liver	2.72	2.79	2.67	0.07	0.874
Stomach	0.75	0.76	0.69	0.02	0.477
Small intestine	4.10 <sup>a</sup>	4.34 <sup>a</sup>	3.63 <sup>b</sup>	0.06	0.012
Large intestine	2.07	1.91	1.82	0.15	0.836

หมายเหตุ: <sup>a,b</sup> means values with different superscript letters in the same row are significantly different ( $P<0.05$ )

##### 5. ค่าความเป็นกรดด่างและปริมาณเชื้อแบคทีเรียในทางเดินอาหาร

จากการศึกษาพบว่าระดับของไข้อาหารที่เพิ่มขึ้น ไม่ส่งผลต่อค่าความเป็นกรดด่างภายในระบบทางเดินอาหารส่วนท้าย ทั้งลำไส้เล็กส่วนปลาย ไส้ติ้ง และลำไส้ใหญ่ ถึงแม้ว่า เมื่อพิจารณาเฉพาะค่าเฉลี่ยน้ำจะมีความเป็นกรดมากขึ้นเมื่อระดับไข้อาหารเพิ่มขึ้น นอกจากนี้ การเพิ่มระดับของไข้อาหารในอาหารสูตรหลังนมยานม ไม่ส่งผลต่อปริมาณเชื้อแบคทีเรียในทางเดินอาหารที่สำคัญ ได้แก่ เชื้อแบคทีเรียในกลุ่มที่ก่อโรค คือ *E. coli*, *Salmonella* spp. และแบคทีเรีย

ที่เป็นประโยชน์คือ Lactic acid bacteria ทั้งในลำไส้เล็กส่วนท้าย ไส้ติ่ง และลำไส้ใหญ่ ดังแสดงในตาราง 14

ตาราง 14 Large intestinal pH and bacterial cell count of ileum, caecum and colon of weaning pigs fed the experimental diets with different levels of dietary fiber

items	DF level (g/kg diet)			SEM	<i>P</i> -value
	130	140	150		
<b>pH</b>					
Ileum	7.14	6.99	6.86	0.11	0.696
Cecum	5.66	5.37	5.43	0.13	0.722
Colon	6.12	5.87	5.61	0.10	0.264
<b>Ileum</b>					
<i>Salmonella</i> spp.	7.90	7.62	7.72	0.04	0.235
<i>E. coli</i>	7.40	7.48	7.72	0.13	0.466
Lactic acid bacteria	7.55	7.30	7.16	0.21	0.495
<b>Caecum</b>					
<i>Salmonella</i> spp.	7.66	7.36	7.18	0.12	0.208
<i>E. coli</i>	7.65	7.43	7.22	0.08	0.161
Lactic acid bacteria	6.92	7.06	7.06	0.19	0.869
<b>Colon</b>					
<i>Salmonella</i> spp.	7.60	7.51	7.43	0.15	0.830
<i>E. coli</i>	7.55	7.34	7.63	0.09	0.403
Lactic acid bacteria	7.08	7.08	6.75	0.39	0.697

ผลการศึกษาสัดส่วน iDF:sDF ที่เหมาะสมในสูตรอาหารสำหรับสุกรหลังหย่านม

### 1. ประสิทธิภาพการเจริญเติบโต

จาก Table 15 น้ำหนักเริ่มต้นเฉลี่ยของสุกรลดลงเท่ากับ  $6.13 \pm 0.23$  กิโลกรัม ( $P = 0.999$ ) ในสปีดาน์แรกหลังหย่านม สุกรกลุ่มควบคุมมีแนวโน้มกินอาหารสูงที่สุด รองลงมาคือ สุกรที่ได้รับอาหารกลุ่ม R6, R5 และ R4 โดยมีปริมาณการกินอาหารต่อวันอยู่ที่ 254.78, 243.27,

236.52 และ 216.34 กรัมต่อวัน ตามลำดับ ( $P = 0.070$ ) ในขณะที่อัตราการเจริญเติบโตวัน น้ำหนักที่เพิ่ม และประสิทธิภาพการผลิต ไม่มีความแตกต่างกันทางสถิติ ( $P = 0.524, 0.150$  และ  $0.290$  ตามลำดับ) โดยประสิทธิภาพการผลิตในสปดาห์แรกหลังหย่านมของสุกรกลุ่มควบคุม, R4, R5 และ R6 เท่ากับ  $1.20, 1.13, 1.18$  และ  $1.36$  ตามลำดับ

สำหรับผลการศึกษาในสปดาห์ที่ 2, 3 และ 4 สัดส่วนของ iDF:sDF ไม่มีผลต่อประสิทธิภาพการผลิตของสุกร ทั้งอัตราการเจริญเติบโตต่อวัน ปริมาณอาหารที่กินต่อวัน และน้ำหนักที่เพิ่ม อย่างไรก็ตาม เมื่อพิจารณาประสิทธิภาพการผลิตตลอดทั้งการทดลอง ( $0-28$  วัน) พบว่า ประสิทธิภาพการผลิตของสุกรกลุ่มที่ได้รับอาหาร R4 มีประสิทธิภาพการผลิตที่ดีกว่ากลุ่มอื่นอย่างมีนัยสำคัญทางสถิติ ( $P = 0.035$ ) คือเท่ากับ  $1.37$  ในขณะที่สุกรกลุ่มควบคุม, R5 และ R6 มีประสิทธิภาพการผลิตเท่ากับ  $1.57, 1.55$  และ  $1.51$  ตามลำดับ อันเนื่องมาจากสุกรกลุ่มนี้มีแนวโน้มการกินอาหารที่น้อยกว่ากลุ่มอื่น ( $P = 0.145$ ) คือเฉลี่ย  $459.75$  กรัมต่อวัน ในขณะที่สุกรกลุ่มควบคุม และสุกรกลุ่ม R5 และ R6 เท่ากับ  $540.35, 471.37$  และ  $477.42$  กรัมต่อวัน ตามลำดับ

ตาราง 15 Growth performance of weaning pigs fed experimental diets with difference iDF:sDF

items	Control	iDF:sDF ratio			SEM	$P$ -value
		4	5	6		
Initial weight, kg	6.14	6.13	6.13	6.12	0.11	0.999
Final weight, kg	15.74	15.54	14.65	14.96	0.29	0.355
0-7 d;						
Weight gain, kg	1.58	1.35	1.40	1.26	0.05	0.150
ADG, g/d	211.61	193.45	200.00	179.46	7.39	0.524
ADFI, g/d	254.78	216.34	236.52	243.27	5.49	0.070
FCR	1.20	1.13	1.18	1.36	0.04	0.290
8-14 d;						
Weight gain, kg	2.63	2.66	2.32	2.51	0.07	0.265
ADG, g/d	375.71	379.76	331.52	358.04	10.87	0.519
ADFI, g/d	458.93	402.68	432.14	420.54	12.34	0.472
FCR	1.22	1.06	1.30	1.17	0.05	0.335

ตาราง 15 (ต่อ)

items	Control	iDF:sDF ratio			SEM	P-value
		4	5	6		
<b>15-21 d;</b>						
Weight gain, kg	2.39	2.34	2.11	2.18	0.10	0.762
ADG, g/d	341.43	334.28	301.43	311.43	14.90	0.901
ADFI, g/d	624.88	534.96	529.21	540.50	18.94	0.194
FCR	1.83	1.60	1.76	1.73	0.05	0.348
<b>22-28 d;</b>						
Weight gain, kg	3.04	3.06	2.70	2.90	0.11	0.662
ADG, g/d	434.28	437.14	385.71	414.29	15.53	0.662
ADFI, g/d	822.84	685.04	697.62	705.36	28.90	0.320
FCR	1.89	1.57	1.81	1.70	0.15	0.167
<b>Overall (0-28 d);</b>						
Weight gain, kg	9.64	9.41	8.53	8.85	0.22	0.314
ADG, g/d	344.28	336.07	304.64	316.07	8.02	0.314
ADFI, g/d	540.35	459.75	471.37	477.42	13.65	0.145
FCR	1.57 <sup>a</sup>	1.37 <sup>b</sup>	1.55 <sup>a</sup>	1.51 <sup>a</sup>	0.02	0.035

หมายเหตุ: <sup>a,b</sup> means values with different superscript letters in the same row are significantly different ( $P<0.05$ )

2. น้ำหนักของอวัยวะในระบบทางเดินอาหารและสัณฐานวิทยาของลำไส้เล็ก จากการศึกษาน้ำหนักอวัยวะของระบบทางเดินอาหารของสุกรทดลอง พบว่า น้ำหนักมีชีวิตของสุกรที่เก็บตัวอย่างเฉลี่ยอยู่ที่  $18.74 \pm 0.86$  กิโลกรัม สุกรทุกกลุ่มการทดลองมี ความยาวของลำไส้เล็ก น้ำหนักของกระเพาะอาหาร ลำไส้เล็ก และลำไส้ใหญ่ไม่แตกต่างกันทางสถิติ แต่สุกรที่ได้รับอาหารควบคุม และสุกรกลุ่มที่ได้รับอาหาร R6 มีน้ำหนักตับมากกว่ากลุ่ม R5 อย่างมี นัยสำคัญทางสถิติ ( $P = 0.043$ ) กล่าวคือมีน้ำหนักตับเท่ากับ 517.5 และ 505.0 กรัม เทียบกับ 455.0 กรัม แต่ทั้งนี้น้ำหนักตับระหว่างสุกรกลุ่มที่ได้รับอาหาร R4 และ R5 ไม่มีความแตกต่างกัน ทางสถิติ ในขณะที่เมื่อพิจารณาในรูปของเปอร์เซ็นต์ของน้ำหนักตัวแล้ว สุกรทุกกลุ่มทดลองน้ำหนัก

ตับ กระเพาะ ลำไส้เล็กและลำไส้ใหญ่ เมื่อเทียบน้ำหนักตัวไม่แตกต่างกันทางสถิติ ( $P = 0.388$ ,  $0.331$ ,  $0.356$  และ  $0.607$ ) ดังแสดงใน ตาราง 16

ตาราง 16 Organ weight and small intestine length of digestive system and in pigs fed the experimental diets with difference iDF:sDF ratio

items	Control	iDF:sDF ratio			SEM	<i>P</i> -value
		4	5	6		
Body weight, kg	19.22	18.50	18.32	18.92	0.21	0.477
Small intestine length, cm	1,440.0	1,502.8	1,395.3	1,443.0	45.93	0.899
Organ weight, g						
Liver	517.5 <sup>a</sup>	490.0 <sup>ab</sup>	455.0 <sup>b</sup>	505.0 <sup>a</sup>	8.72	0.043
Stomach	175.0	192.5	172.5	202.5	4.34	0.411
Small intestine	1,022.5	922.5	855.0	895.0	26.75	0.171
Large intestine	545.0	490.0	502.5	492.5	10.92	0.585
Organ weight, %BW						
Liver	2.69	2.65	2.48	2.67	0.06	0.388
Stomach	0.91	1.04	0.91	1.01	0.04	0.331
Small intestine	5.32	4.99	4.67	4.73	0.18	0.356
Large intestine	2.83	2.65	2.74	2.60	0.09	0.607

หมายเหตุ: <sup>a,b</sup> means values with different superscript letters in the same row are significantly different ( $P < 0.05$ )

ทางด้านสัณฐานวิทยาของลำไส้เล็กทั้ง 3 ส่วน (ตาราง 16) พบว่า ในลำไส้เล็กส่วนต้น (Duodenum) สุกรที่ได้รับสัดส่วน iDF:sDF ที่แตกต่างกัน สงผลต่อสัดส่วน VH:CD ( $P = 0.016$ ) โดยเมื่อเพิ่มสัดส่วนของไขอาหารที่ไม่ละลายน้ำ ทำให้ค่า VH:CD ลดลงอย่างมีนัยสำคัญทางสถิติ กล่าวคือสุกรกลุ่มที่ได้รับอาหาร R4 มีค่า VH:CD สูงที่สุดคือ 2.57 ซึ่งสูงกว่ากลุ่มที่ได้รับอาหาร R5 และ R6 ที่มีสัดส่วน VH:CD เท่ากับ 1.90 และ 1.80 ตามลำดับ ทั้งนี้เกิดจากความสูงของวิลไลท์มีแนวโน้มลดลง ( $P = 0.083$ ) และความลึกของคริปท์ของสุกรทุกกลุ่มการทดลองไม่แตกต่างกันทางสถิติ ( $P = 0.292$ )

สำหรับลำไส้เล็กส่วนก Gast (Jejunum) การเพิ่มสัดส่วนของไขอาหารที่ไม่ละลายน้ำมากขึ้น ส่งผลต่อค่าทางสัณฐานวิทยาอย่างมีนัยสำคัญทางสถิติ กล่าวคือ ความกว้างของวิลไลของสุกรกลุ่มที่ได้รับอาหาร R5 มีค่าเท่ากับ  $217.67 \text{ } \mu\text{m}$  ซึ่งมีค่าสูงกว่ากลุ่มทดลองอื่นความสูงกว่ากลุ่มควบคุม ( $81.98 \text{ } \mu\text{m}$ ) กลุ่มสุกรที่ได้รับอาหาร R4 ( $88.22 \text{ } \mu\text{m}$ ) และสุกรที่ได้รับอาหาร R6 ( $81.55 \text{ } \mu\text{m}$ ) อย่างมีนัยสำคัญทางสถิติ ( $P < 0.01$ ) นอกจากนี้ยังพบว่าความสูงของวิลไลมีแนวโน้มเพิ่มขึ้นเมื่อ iDF:sDF เพิ่มขึ้น ( $P = 0.092$ ) ในกลุ่มสุกรที่ได้รับอาหาร R4, R5 และ R6 แต่มีวิลไลสั้นกว่าเมื่อเทียบกับกลุ่มควบคุม กล่าวคือ ความสูงของวิลไล ในกลุ่ม iDF:sDF เท่ากับ 4, 5 และ 6 เป็น  $280.40$ ,  $285.98$  และ  $317.56 \text{ } \mu\text{m}$  ในขณะที่กลุ่มควบคุมมีความสูงวิลไลเท่ากับ  $359.13 \text{ } \mu\text{m}$  และเมื่อพิจารณาสัดส่วน VH:CD แล้ว R6 มีค่า VH:CD ต่ำที่สุด คือ 3.02 รองลงมาคือกลุ่มควบคุม และกลุ่มที่ได้รับอาหาร R4 (2.48 และ 2.31) และกลุ่มที่ได้รับอาหาร R5 มีค่า VH:CD น้อยที่สุด คือ 1.92 หากด้านพื้นที่ผิวของวิลไลของลำไส้เล็กส่วนก Gast มีแนวโน้มว่ากลุ่มที่ได้รับอาหาร R5 มีพื้นที่ผิวสูงกว่ากลุ่มอื่น ( $P = 0.061$ )

ทางด้านสัณฐานวิทยาของลำไส้เล็กส่วนส่วนปลาย (Ileum) พบร่วมกับการเพิ่มสัดส่วน iDF:sDF ไม่ส่งผลต่อความกว้างของวิลไล ( $P = 0.500$ ) ความสูงของวิลไล ( $P = 0.817$ ) ความลึกของครีปท์ ( $P = 0.675$ ) สัดส่วน VH:CD ( $P = 0.196$ ) และพื้นที่ผิวของวิลไล ( $P = 0.828$ ) ในสุกรทุกกลุ่มทดลอง

ตาราง 17 Gut morphology of weaning pigs fed experimental diets with different ration of iDF:sDF

items	Control	iDF:sDF ratio			SEM	P-value
		4	5	6		
<b>Duodenum</b>						
Villous width, $\mu\text{m}$	88.69	78.64	78.34	88.27	2.66	0.339
Villous height, $\mu\text{m}$	326.89	293.99	255.13	256.26	10.21	0.083
Crypt depth, $\mu\text{m}$	146.52	114.17	134.34	142.46	6.09	0.292
VH:CD	2.23 <sup>bc</sup>	2.57 <sup>c</sup>	1.90 <sup>ab</sup>	1.80 <sup>a</sup>	0.08	0.016
Villous area, $\text{mm}^2$	181.51	142.79	115.95	126.27	10.11	0.113
<b>Jejunum</b>						
Villous width, $\mu\text{m}$	81.98 <sup>a</sup>	88.22 <sup>a</sup>	217.67 <sup>b</sup>	81.55 <sup>a</sup>	15.61	<0.01
Villous height, $\mu\text{m}$	359.13	280.40	285.98	317.56	10.99	0.092
Crypt depth, $\mu\text{m}$	141.78 <sup>bc</sup>	127.50 <sup>ab</sup>	149.41 <sup>c</sup>	110.57 <sup>a</sup>	3.13	0.004
VH:CD	2.48 <sup>b</sup>	2.31 <sup>ab</sup>	1.92 <sup>a</sup>	3.02 <sup>c</sup>	0.08	0.004
Villous area, $\text{mm}^2$	198.91	141.42	271.49	165.80	18.30	0.061
<b>Ileum</b>						
Villous width, $\mu\text{m}$	80.61	81.35	72.77	72.30	15.61	0.500
Villous height, $\mu\text{m}$	218.57	225.29	205.98	235.06	10.95	0.817
Crypt depth, $\mu\text{m}$	131.90	119.59	132.65	119.47	5.09	0.675
VH:CD	2.23	2.06	1.77	1.87	0.07	0.196
Villous area, $\text{mm}^2$	89.96	97.42	77.61	91.93	6.90	0.828

หมายเหตุ: <sup>a,b,c</sup> means values with different superscript letters in the same row are significantly different ( $P<0.05$ )

### 3. ปริมาณเชื้อแบคทีเรียในระบบทางเดินอาหารส่วนท้าย

จากการศึกษาพบว่า ปริมาณเชื้อแบคทีเรียในระบบทางเดินอาหารส่วนท้ายของสุกร โดยวิธี rectal swab พบว่า สัดส่วน iDF:sDF ที่เพิ่มขึ้น ไม่ส่งผลทำให้เกิดการเปลี่ยนแปลงปริมาณเชื้อแบคทีเรียที่ศึกษา ได้แก่ *E. coli* ( $P = 0.694$ ), *Salmonella* spp. ( $P = 0.817$ ) และ Lactic acid bacteria ( $P = 0.720$ ) ดังแสดงใน ตาราง 18

ตาราง 18 Bacterial count by rectal swab test of pigs fed the experimental diets with different ratio of iDF:sDF at 29 days after weaning (log CFU/g)

items	Control	iDF:sDF ratio			SEM	<i>P</i> -value
		4	5	6		
<i>Salmonella</i> spp.	5.24	5.12	5.42	5.68	0.24	0.694
<i>E. coli</i>	5.60	5.64	5.71	6.02	0.24	0.817
Lactic acid bacteria	5.12	5.53	5.20	5.26	0.18	0.720



## บทที่ 5

### บทสรุป

#### อภิปรายผล

##### 1. คุณสมบัติทางกายภาพและเคมีของวัตถุดิบที่ศึกษาเพื่อเป็นแหล่งของไข้อาหาร

คุณสมบัติทางกายภาพของไข้อาหาร เช่น การพองตัวและความสามารถในการอุ้มน้ำ มีความสำคัญกับการเปลี่ยนแปลงของไข้อาหารระหว่างที่อยู่ในระบบทางเดินอาหาร ซึ่งจากผลการศึกษาครั้งนี้ พบว่าคุณสมบัติทางกายภาพทั้งการพองตัวและความสามารถในการอุ้มน้ำของผิวถั่วเหลืองมีค่าสูงที่สุด เมื่อเปรียบเทียบกับวัตถุดิบตัวอื่น ค่าความสามารถการอุ้มน้ำ (WHD) มีความสัมพันธ์เชิงบวกกับปริมาณของสารไฟเบอร์ไม่ใช่แป้งที่ละลายน้ำ (Soluble non-starch polysaccharides; S-NSP) โดยสมการความสัมพันธ์คือ  $WHD = 3.50 + 0.0214S-NSP$  ( $R^2=0.82$ ,  $P<0.001$ ) (Ngoc et al., 2012) ค่าความสามารถในการอุ้มน้ำนี้มีความสำคัญต่อการดูดซึมสารอาหาร การควบคุมการอิ่มของร่างกาย และการเคลื่อนตัวของลำไส้ (Caprita et al., 2010) ส่วนสมบัติทางกายภาพของเกลوبดิบที่นำมาศึกษาในการทดลองในตัวสัตว์ (การทดลองที่ 3.2 และ 3.3) มีคุณสมบัติการพองตัวและความสามารถการอุ้มน้ำต่ำที่สุด ทั้งนี้ค่า WHC ของเกลوبดิบที่ได้จากการศึกษาครั้งนี้ มีค่าต่ำกว่ารายงานของ Jiménez-Moreno et al. (2016) ที่รายงานค่า WHC ของเกลوبดิบไว้ เท่ากับ  $5.51 \pm 0.43$  g/g DM ทั้งนี้อาจเนื่องมาจากการขนาดอนุภาคที่ใช้ในการทดลองบดผ่านตะแกรงขนาดรูเปิด 2.0 มิลลิเมตร ในขณะที่การทดลองครั้งนี้ผู้วิจัยใช้ตะแกรงขนาดรูเปิด 0.5 มิลลิเมตรเท่านั้น ทำให้การอัดตัวของอนุภาคหนาแน่น แต่ก็ทำให้ความสามารถในการอุ้มน้ำของโครงสร้างไข้อาหารต่ำลง (Gupta, & Premavalli, 2010; Ye et al., 2016) ข้างต้นจากการศึกษาของ Majzoobi et al. (2014) โดยได้เปรียบเทียบความสามารถในการอุ้มน้ำของรำข้าวสาลีที่มีขนาดอนุภาคแตกต่างกัน ตั้งแต่ 90 ถึง 1,200 ไมครอน พบร่วมกับเมื่อขนาดรำข้าวสาลีใหญ่ขนาดอนุภาคเล็กลง ทำให้ค่าความสามารถในการอุ้มน้ำและการพองตัวของรำข้าวสาลีลดลง สอดคล้องกับ Noort et al. (2010) ที่ลดขนาดอนุภาคของรำข้าวสาลีจาก 1,000 ไมครอน เป็น 75 ไมครอน ทำให้ค่าความสามารถในการอุ้มน้ำลดลงจาก 500% เป็น 250% นอกจากนี้ จากการศึกษาของ Sangnark, & Noomhorm (2003) พบร่วมกับเมื่อขนาดอนุภาคมีความสัมพันธ์เชิงลบกับความสามารถในการอุ้มน้ำ อันเนื่องจากโครงสร้างของไข้อาหารชนิดไม่ละลายน้ำ ลักษณะนี้แสดงถึงความสามารถในการกักเก็บน้ำได้ภายในโครงสร้าง (Majzoobi et al., 2014) นอกจากนี้เมื่อพิจารณาองค์ประกอบบน

ทางเคมีของไข้อาหารแล้ว แกลบดิบยังมีปริมาณวัตถุแห้ง ปริมาณไข้อาหาร และปริมาณไข้อาหารชนิดไม่ละลายน้ำสูงที่สุด นอกจากนี้ข้าวเป็นพืชเศรษฐกิจที่สำคัญของประเทศไทย เนื่องจากคนไทยบริโภคข้าวเป็นอาหารหลัก ประเทศไทยสามารถผลิตข้าวเปลือกทั้งข้าวน้ำปีและนาปรังได้ประมาณ 30-32 ล้านตันต่อปี คิดเป็นพื้นที่เพาะปลูกประมาณ 45% ของพื้นที่การเกษตรทั้งหมด (สำนักงานเศรษฐกิจการเกษตร, 2562a) ในกระบวนการสีข้าวน้ำ มีผลพลอยหนึ่งคือ แกลบดิบซึ่งคิดเป็นประมาณ 20% ของปริมาณข้าวเปลือก ดังนั้นหากนำแกลบดิบมาใช้เป็นแหล่งของไข้อาหารที่สามารถกระตุ้นการทำงานของระบบทางเดินอาหารของสุกรหลังหย่านมได้ จะเป็นการเพิ่มน้ำตาลและเพิ่มการใช้ประโยชน์ของแกลบดิบได้ จึงได้นำมาเป็นแหล่งของไข้อาหารในการทดลองที่ 2 และ 3 ต่อไป

## 2. ผลของไข้อาหารต่อประสิทธิภาพการผลิตและอัตราการเกิดห้องเสีย

จากการศึกษาระดับของไข้อาหารต่อประสิทธิภาพการผลิตของสุกรหลังหย่านมโดยให้สุกรหย่านมได้รับอาหารทดลองที่มีระดับไข้อาหารที่ 130, 140 และ 150 กรัมต่อ กิโลกรัมอาหาร เป็นระยะเวลา 28 วัน พบร่วงตัวไข้อาหารที่เพิ่มขึ้นทำให้ประสิทธิภาพการใช้อาหารดีขึ้นอย่างมีนัยสำคัญทางสถิติ ( $P = 0.023$ ) ในช่วงระยะเวลา 28 วัน แรกของการทดลอง แต่ทั้งนี้สุกรมีปริมาณอาหารที่กินและอัตราการเจริญเติบโตต่อวันเพิ่มขึ้น แต่ไม่มีนัยสำคัญระหว่างกลุ่มทดลอง อีกทั้งในระยะเวลาที่ 2, 3, 4 และตลอดระยะเวลาการทดลอง (0 ถึง 28 วันหลังหย่านม) ระดับของไข้อาหารไม่มีผลต่อประสิทธิภาพการผลิตและอัตราการเกิดห้องเสียของสุกร การมีสัญญาณของการกินที่เพิ่มขึ้นในระยะเวลา 28 วัน แรกหลังจากการหย่านมเป็นสิ่งที่ดี เนื่องจากสุกรจะหย่านม มักพบปัญหาการกินอาหารต่ำ โดยเฉพาะในช่วง 48 ชั่วโมงแรกที่ถือว่าเป็นช่วงเวลาวิกฤติ ทำให้เกิดผลกระทบเชิงลบกับสัณฐานวิทยาของลำไส้เล็ก สงผลต่อการติดเชื้อการย่อยและการดูดซึมสารอาหาร และการเจริญเติบโตของสุกรจะขึ้นหรือลดลงตามมา (Dong, & Pluske, 2007) หลายงานทดลองการเพิ่มระดับไข้อาหารสามารถส่งผลต่อปริมาณการกินอาหารของสัตว์ ทั้งนี้การเพิ่มของปริมาณอาหารที่กิน และอัตราการเจริญเติบโต เกี่ยวข้องกับปริมาณลิกนินมากกว่าปริมาณเซลลูโลสและเอมิเซลลูโลส (Adibmoradi et al., 2016) ยกตัวอย่างเช่น การทดลองของ Gerritsen et al. (2012) ที่พบว่าการให้พอลิแซ็คคาโริตที่ไม่ใช่แป้งชนิดไม่ละลายน้ำ (insoluble non-starch polysaccharides) โดยการเสริมแกลบข้าวอิ๊ตผสมกับฟางข้าวสาลีระดับ 15% สงผลให้มีปริมาณการกินอาหารมากขึ้นในสัปดาห์แรกหลังหย่านม และจากการศึกษาของ Superchi et al. (2017) ได้ใช้เซลลูโลสบีสูที 1% เป็นแหล่งของไข้อาหาร พบร่วงทำให้ปริมาณการกินอาหาร อัตราการเจริญเติบโตต่อวัน และประสิทธิภาพการใช้อาหารดีขึ้นอย่างมีนัยสำคัญทางสถิติ และจากการทดลองของ Hanczakowska et al. (2008) ศึกษาการเสริมเซลลูโลสที่ระดับ

0, 0.5, 1.5% และ 2.0% ในอาหารพื้นฐาน (Basal diet) พบว่า สูกรที่ได้รับเซลลูโลสในระดับ 0, 0.5, 1.5 และ 2.0% มีอัตราการเจริญเติบโตต่ำกว่าน้ำตาลสุ่มควบคุมอย่างมีนัยสำคัญทางสถิติ คือ 190, 187, 203 และ 210 กรัมต่อวัน ตามลำดับ อย่างไรก็ตามการทดลองนี้ระดับของไข้อาหารไม่ส่งผลกระทบต่อสมรรถภาพการผลิตโดยรวมของสูกร ซึ่งให้ผลคล้ายกับงานทดลองหลักๆ งาน เช่น การใช้แกลบข้าวอี๊ตผ่านกระบวนการ 2 และ 4% (Mateos et al., 2006) แกลบข้าวอี๊ต 2% (Kim et al., 2008) แกลบข้าวอี๊ต 5% ร่วมกับฟางข้าวสาลี 10% (Gerritsen et al., 2012) หรือ Stabilized rice bran 10% (Herfel et al., 2013) ล้วนแต่ไม่ส่งผลต่ออัตราการเจริญเติบโตและสมรรถภาพการผลิตของสูกร

นอกจากนี้การทดลองครั้งนี้ยังพบว่า ระดับของไข้อาหารไม่ส่งผลต่อการเกิดการห้องเสียของสูกรทดลองการทดลอง สดคอลั่มกับการศึกษาของ Pluske et al. (2014) ที่ใช้อาหารชนิดไม่ละลายนำ้ โดยการใช้เซลลูโลสจากเปลือกไม้ที่ระดับ 0, 30, 60 และ 90 กรัมต่อ กิโลกรัมอาหาร เป็นระยะเวลา 2 สัปดาห์หลังการหย่านม ไม่ส่งผลทำให้การเกิดห้องเสียและจำนวนสูกรที่ต้องใช้ยาวยักษากลับลดลง แต่เมื่อเทียบกับการห้องเสียและการทดลองของ Yu et al. (2016) ที่มีการใช้แหล่งวัตถุดินของไข้อาหารแตกต่างกัน ได้แก่ รำข้าวสาลี ผิวถั่วเหลือง แกลบข้างอี๊ต กากปาล์มเนื้อใน และเยื่อไผ่ (bamboo meal) วัตถุดินทั้งหมดเป็นตัวต้านทานต่อแบคทีเรียในอาหาร แต่เมื่อเทียบกับอาหารที่มีระดับ NDF ใกล้เคียงกัน คือ 14.2-15.2% เปรียบเทียบกับกลุ่มควบคุม (NDF = 11.9%) ผลการทดลองพบว่าอัตราการเกิดห้องเสียไม่มีความแตกต่างกัน นอกจากนี้อัตราการเกิดห้องเสียยังสอดคล้องกับผลการทดลองระดับไข้อาหารต่อปริมาณเชื้อแบคทีเรียกลุ่ม *E. coli*, *Salmonella* spp. และ Lactic acid bacteria ในระบบทางเดินอาหารส่วนท้าย ด้วยใช้วิธี plate count ด้วย selected media agar ซึ่งก็ไม่พบความแตกต่างของปริมาณเชื้อจุลทรรศน์ในระบบทางเดินอาหารของสูกรทั้งในจำพวกเล็กและใหญ่ ได้ตั้งแต่จำพวกเล็กไปจนถึงจำพวกใหญ่ (Table 14) ซึ่งสภาพแวดล้อมของ การเลี้ยงมีความสัมพันธ์ต่อปริมาณเชื้อจุลทรรศน์ในทางเดินอาหาร โดยแนวคิดนี้สนับสนุนโดย การศึกษาของ Montagne et al. (2012) โดยพบว่าภายในได้การเลี้ยงที่มีการสูขาภิบาลที่ดี การเพิ่มระดับของไข้อาหารจาก 121 เป็น 169 กรัมต่อ กิโลกรัม ไม่ส่งผลต่อการเกิดห้องเสียของสูกร แต่ถ้าหากเป็นสภาพแวดล้อมที่มีสูขาภิบาลไม่ดี (ไม่ทำความสะอาดและฆ่าเชื้อก่อนนำสูกรเข้าเลี้ยง) การให้ระดับไข้อาหารที่ 169 กรัมต่อ กิโลกรัม มีแนวโน้มช่วยลดการเกิดห้องเสียจากเชื้อกลุ่ม *Enterococcus* ของสูกรหลังหย่านม ( $P = 0.07$ ) ซึ่งการทดลองของผู้วิจัยนี้มีการสูขาภิบาลที่ดี มีการฆ่าเชื้อด้วยน้ำยาฆ่าเชื้อก่อนการทดลอง และทำความสะอาดคอกเป็นประจำทุกวันในระหว่างการทดลอง อาจช่วยปริมาณเชื้อในสภาพการเลี้ยงในโรงเรือน ทำให้อิทธิพลของระดับไข้อาหาร

ไม่ส่งผลต่อการลดอัตราการเกิดการท้องเสียของสุกร แต่ก็ยังมีหลายงานวิจัยที่พบว่าการใช้ไขอาหารในระดับที่สูงทำให้ลดการท้องเสียในสุกรหลังหย่านม เช่น การศึกษาของ Hanczakowska et al. (2008) ที่มีการใช้เซลลูโลสบริสุทธิ์ที่ระดับ 0, 0.5, 1.5 และ 2.0% ในอาหารพื้นฐาน พบร่วมกันว่า สารที่เกิดการท้องเสียลดลง จาก 25 ตัว เหลือเพียง 8 ตัว และลดเบอร์เท็นต์การคัดสุกรทึบ (ไม่มีรายงานการเปลี่ยนเที่ยบทางสติติ)

เมื่อได้ระดับการใช้ไขอาหารที่เหมาะสมที่ระดับ 140 กรัมต่อวันในอาหารสุกร หลังหย่านม และนำมาศึกษาอิทธิพลของสัดส่วน iDF:sDF ในอาหาร (การทดลองที่ 3) โดยทำการทดลองในสุกรหย่านมให้อาหารที่มีสัดส่วนของ iDF:sDF ที่ระดับ 3:1 (กลุ่มควบคุม), 4:1, 5:1 และ 6:1 เป็นระยะเวลา 28 วัน พบร่วมกันว่า สัดส่วน iDF:sDF มีแนวโน้มทำให้ปริมาณอาหารที่กินลดลงเมื่อเทียบกับกลุ่มควบคุม ( $P = 0.070$ ) แต่ถ้าพิจารณาระหว่างสุกรที่ได้รับอาหาร R4, R5 และ R6 จะเห็นว่า เมื่อเพิ่มสัดส่วน iDF:sDF เพิ่มขึ้น มีแนวโน้มทำให้ปริมาณอาหารที่กินต่อวันเพิ่มขึ้น และเมื่อคำนวณประสิทธิภาพการผลิตของสุกรทดลองระยะเวลาการทดลอง (0 ถึง 28 วันหลังการหย่านม) พบร่วมกันว่า สุกรที่ได้รับอาหารทดลอง R4 มีประสิทธิภาพการผลิตต่ำกว่ากลุ่มอื่นอย่างมีนัยสำคัญทางสถิติ ( $P = 0.035$ ) ซึ่งจากการทดลองดังกล่าวจะเห็นได้ว่า สัดส่วนของ iDF:sDF สงผลกระทบต่อประสิทธิภาพการผลิตของสุกรหลังหย่านมโดยรวม ซึ่งอาหารทดลองทุกสูตรได้คำนวณให้มีคุณค่าทางโภชนาญาลล์เคียงกัน ดังนี้มาจากผลของการประยุกษาของสารอาหารที่มีความแตกต่างกัน โดยแนวคิดนี้สนับสนุนด้วยผลการศึกษาของ Pascoal et al. (2015) ที่พบว่า สุกรอายุ 21-35 วัน ที่ได้รับอาหารที่มีเซลลูโลสเป็นแหล่งของ iDF ที่ระดับ 1.5% ช่วยเพิ่มประสิทธิภาพการใช้อาหาร เมื่อเทียบกับกลุ่มที่ได้รับอาหารสูตรที่มีเชยเปลือกส้ม (citrus pulp) ซึ่งเป็นแหล่งของ sDF ที่ระดับ 9% โดยอาหารทดลองคำนวณให้มีระดับของ DF ใกล้เคียงกัน (ระหว่าง 21.73-23.94%) ทั้งนี้จากการวิเคราะห์ผลได้ให้เหตุผลว่า การเพิ่มระดับของไขอาหารที่ไม่ละลายน้ำ ทำให้เพิ่มการย่อยได้ดีของไขอาหารนิดละลายน้ำสูงขึ้น และทำให้มีประสิทธิภาพการใช้อาหารที่ดีขึ้น

### 3. ผลของไขอาหารต่อการย่อยได้แบบปราฏของโภชนา

การศึกษาการย่อยได้ของโภชนาครั้งนี้ใช้วิธีการศึกษาแบบ indirect method โดยให้สุกรปรับตัวในกรงขังเดี่ยวสำหรับศึกษาค่าการย่อยได้ (metabolic cage) โดยระยะของการทดลอง ประกอบด้วยระยะปรับตัว ซึ่งสุกรจะได้รับอาหารทดลองที่มีระดับของไขอาหารแตกต่างกัน ( $DF = 130, 140$  และ  $150$  กรัมต่อวัน) ให้สุกรกินอาหารปริมาณ  $4\%$  ของน้ำหนักตัว เป็นระยะเวลา 3 วัน และระยะเก็บตัวอย่าง 4 วัน โดยใช้คร้มิกซ์ออกไซด์ ปริมาณ  $0.5\%$  เป็นสารปั่นที่ในอาหาร และเก็บมูลสุกรที่มีสีเขียวของคร้มิกซ์ออกไซด์ นำมาลอกมาบแห้ง

แล้ววิเคราะห์หาความเข้มข้นของโคลร์มิกซ์ออกไซด์ และวิเคราะห์ปริมาณโภชนาเพื่อคำนวนหาค่าการย่อยได้ของโภชนา (%) จากการศึกษาครั้งนี้พบว่าระดับของไขอาหารไม่ส่งผลต่อการย่อยได้ของพลังงานและโปรตีน แต่มีแนวโน้มส่งผลต่อการย่อยได้ของไขมัน ( $P = 0.082$ ) และเยื่อไผ่หยาบ ( $P = 0.074$ )

จากรายงานการวิจัยที่ผ่านมาพบว่า การเพิ่มระดับของเยื่อไผ่ในอาหาร ส่งผลทำให้การใช้ประโยชน์ได้ของสารอาหารอื่นลดลง (Raj et al., 2006; Stanogias, & Pearce, 1985; Scielloour et al., 2018; Zijlstra et al., 2012; Lindberg, 2014) สำหรับการย่อยได้ของโปรตีนและพลังงานก็เช่นเดียวกัน โดยจากการตรวจเอกสารพบว่าค่าการย่อยได้ของสุกรจะระดับหลังหย่านมสำหรับโปรตีนรวมอยู่ที่ประมาณ 37 ถึง 84% และพลังงานรวมอยู่ระหว่าง 47 ถึง 87% (นูริราห์กชินานันต์, 2553; Medel et al., 1999; Jung et al., 2003; Wang et al., 2016; Yu et al., 2016; Wu et al., 2018; Ao, & Kim, 2019; Ma et al., 2019) ถึงแม่ว่าผลการศึกษาครั้งนี้จะไม่พบความแตกต่างทางสถิติของการย่อยได้ของโปรตีนและพลังงาน แต่เมื่อเพิ่มระดับของไขอาหารการย่อยได้ของโปรตีนและพลังงานรวมมีค่าเฉลี่ยลดลง ต่อคิดลังกับหยาบงานวิจัยที่ให้ผลไปในแนวทางเดียวกัน ยกตัวอย่างงานทดลองของ Wu et al. (2018) ศึกษาการใช้เซลลูโลสบริสุทธิ์ 5.1% ทดแทนแป้งข้าวโพดในอาหารควบคุมที่เป็น semi-purified diet พบว่าการย่อยได้ของพลังงานลดลง 5.32% ( $P < 0.00$ ) และโปรตีนลดลง 1.91% ( $P = 0.493$ ) และการทดลองของ Schedle et al. (2008) รายงานว่าเมื่อใช้เซลลูโลสและลิกนินในอาหารสุกรหลังหย่านม ทำให้การย่อยได้ของโปรตีนลดลง -3.5% ซึ่งเมื่อพิจารณาองค์ประกอบโดยอาหารของแกดบข้าว พบว่าแกดบข้าวมีเซลลูโลสเป็นองค์ประกอบมากที่สุดประมาณ 32.67% และลิกนิน 18.81% (Ma'ruf et al., 2017) นอกจากนี้ Wang et al. (2016) พบว่าเมื่อใช้กากหัวขูกรปีทในสูตรอาหารสุกรหลังหย่านมที่ระดับ 240 กรัมต่อ กิโลกรัมอาหาร ทำให้การย่อยได้ของโปรตีนลดลง 9.11% ( $P < 0.001$ ) เมื่อเทียบกับอาหารสูตรควบคุมที่ไม่มีการใช้กากหัวขูกรปีท สาเหตุที่ทำให้ค่าการย่อยได้ของโปรตีนลดลง เนื่องมาจากระดับไขอาหารเพิ่มขึ้น ทำให้การหลังของสารคัดหลังแอลามีโปรตีนหลุดลอกจากลำไส้มากขึ้น โดยเฉพาะไขอาหารชนิดไม่ละลายน้ำ ที่กระตุ้นการหลังเอ็นไซม์จากตับอ่อน (Langlois et al., 1987) นอกจากนี้ยังอาจเกิดจากการขาดขาดการดูดซึมของโปรตีนและการตอบสนองในภายใต้ลักษณะของสารคัดหลัง เช่น ไซร์มจากตับอ่อน (Mosenthin et al., 1994; Leterme et al., 1998) ด้วยปัจจัยเหล่านี้ทำให้มีการขับโปรตีนออกทางมูลมากขึ้น (endogenous protein loss) และส่งผลให้การย่อยได้แบบปรากฏของโปรตีนลดลง ซึ่งปัจจัยหนึ่งคือการตอบสนองโดยโปรตีนจากจุลินทรีย์ในระบบทางเดินอาหารส่วนท้าย โดยการเพิ่มระดับของไขอาหารส่งผลให้โปรตีนจากแบคทีเรีย (bacterial protein

mass) เพิ่มขึ้น ทำให้มีการซับออกของไขตอรเจนสูงขึ้น สงผลให้มีอัตราการย่อยได้จากการเก็บตัวอย่างมูลค่าการย่อยได้ของโปรตีนจึงลดลง (Jha, & Berrocosa, 2016; Bindelle et al., 2008)

นอกจากนี้การเพิ่มระดับของไขอาหาร จาก 130 กรัมต่อ กิโลกรัมเป็น 140 กรัมต่อ กิโลกรัม ทำให้การย่อยได้ของไขมันเพิ่มขึ้น แต่มีเพิ่มระดับ DF เป็น 150 กรัมต่อ กิโลกรัม กลับมีแนวโน้มทำให้การย่อยได้ของไขมันลดลง ซึ่งจากการตรวจสอบว่าค่าการย่อยได้แบบปรากฏของไขมันอยู่ระหว่าง 63 ถึง 78% ในสูตรอาหารที่มีข้าวโพดและกาจั่วเหลืองเป็นวัตถุดิบหลัก (corn-soybean based diet) (Medel et al., 1999; Zijlstra et al., 2012; Wu et al., 2018) จากบทวิจารณ์ของ Degen et al. (2007) ได้อธิบายว่าการเพิ่มระดับของไขอาหารในสูตรอาหาร ทำให้ความเข้มข้นของพลังงานต่ำลง ทำให้ต้องเพิ่มระดับการใช้แหล่งของไขมัน และจากการที่แนวโน้มที่การย่อยได้ของไขมันเพิ่มขึ้นนั้นอาจเนื่องมาจากการหลังเข็นไขม์ กรณีที่ ผลกระทบต่อคุณภาพไขมัน เมื่อมีปริมาณไขอาหารในสูตรเพิ่มขึ้น สงผลทำให้การย่อยของไขมันดีขึ้น (Hetland et al. 2003)

สำหรับการย่อยได้ของเยื่อไขนั้นมีความผันแปรมากกว่าสารอาหารชนิดอื่น ทั้งนี้ เกี่ยวกับหัวใจกับหัวใจปัจจัย เช่น ชนิด บริมาณ และองค์ประกอบและโครงสร้างทางกายภาพของไขอาหารชนิดนั้นๆ ทำให้คุณสมบัติทางกายภาพของไขอาหารแต่ละชนิดมีความแตกต่างกัน โดยเฉลี่ยการย่อยได้ของเยื่อไขในสูกรโตเต็มวัยอยู่ที่ประมาณ 40 ถึง 60% (นุจิรา ทักษิณานันต์, 2553; Noblet, & Goff., 2001; Bindelle et al., 2008) จากผลการศึกษาพบว่าค่าการย่อยได้ของเยื่อไขมีแนวโน้มเพิ่มขึ้น เมื่อเพิ่มระดับของไขอาหารขึ้น อาจเนื่องมาจากปริมาณเพคตินในสูตรอาหาร ซึ่งเป็นแหล่งของไขอาหารชนิดคละลายน้ำในอาหารทดลองที่เพิ่มขึ้น ทำให้การย่อยได้ของเยื่อไขเพิ่มสูงขึ้น ซึ่งไขอาหารชนิดคละลายน้ำได้ เช่น เพคติน สามารถหมักย่อยและให้ประโยชน์โดยจุลินทรีย์ภายในทางเดินอาหารส่วนท้าย ทำให้การย่อยได้ของไขอาหารชนิดคละลายน้ำมากกว่าไขอาหารชนิดไม่คละลายน้ำ เช่น เชลลูโลส หรือเอมิเซลลูโลส (Noblet, & Goff, 2001; Zijlstra et al., 2012) และการศึกษาของ Pascoal et al. (2012) ที่เมื่อเพิ่มระดับของไขอาหารชนิดคละลายน้ำจากเชื้อราเปลือกส้ม (*citrus pulp*) ที่ระดับ 9% ในสูตรอาหารสูกรหลังหย่านม (*sDF* = 4.26%) ทำให้การย่อยได้ของไขอาหารชนิดคละลายน้ำ เพิ่มขึ้น 10.80% และการย่อยได้ของเยื่อไขหายาเพิ่มขึ้น 1.56% เมื่อเปรียบเทียบกับกลุ่มควบคุม (*sDF* = 1.60%)

#### 4. ผลของการใช้ไข้อาหารต่อการพัฒนาระบบทางเดินอาหารและสันฐานวิทยาของลำไส้เล็กของสุกรหลังหย่านม

จากผลการศึกษาครั้งนี้พบว่า น้ำหนักของอวัยวะของระบบทางเดินอาหารและอวัยวะเกี่ยวข้องของสุกรที่ได้รับ iDF:sDF ที่ระดับ 4, 5 และ 6 เปรียบเทียบกับกลุ่มควบคุม (iDF:sDF = 3) พบว่า น้ำหนักของตับ กระเพาะอาหาร ลำไส้เล็กและลำไส้ใหญ่ เมื่อเทียบกับน้ำหนักตัวไม่ตัดบล่องต่อสัดส่วน iDF:sDF ที่เพิ่มขึ้น (ควบคุมระดับ DF=140 กรัมต่อกิโลกรัมไก่ตัวเดียวกัน ทุกสูตร แต่เมื่อให้อาหารทดลองที่มีไข้อาหารระดับที่ระดับต่างกันคือ 130, 140 และ 150 กรัมต่อกิโลกรัม เป็นระยะเวลา 28 วัน (หลังหย่านม) พบร้า เมื่อเพิ่มระดับไข้อาหารขึ้นเป็น 150 กรัมต่อกิโลกรัม ทำให้น้ำหนักของลำไส้เล็กเมื่อเทียบกับตัวลดลงอย่างมีนัยสำคัญทางสถิติ ซึ่งเมื่อเปรียบเทียบกับน้ำหนักของอวัยวะกับงานทดลองก่อนหน้า ดังแสดงใน ตาราง 19

จากผลการทดลองนี้ให้เห็นว่า ระดับของไข้อาหารมีอิทธิพลต่อการเปลี่ยนแปลงของขนาดอวัยวะที่เกี่ยวข้องกับการย่อยอาหาร สอดคล้องกับการศึกษาของ Nepomuceno et al. (2016) โดยศึกษาในสุกรที่ได้รับอาหารที่มีระดับของ NDF แตกต่างกัน คือ 8.5, 10.5, 12.5, 14.5 และ 16.5% ในสูตรอาหาร ที่อายุ 42 วัน พบร้า ระหว่างตัวของ NDF ทำให้น้ำหนักของลำไส้เล็กลดลง 8% ( $P = 0.847$ ) และเพิ่มน้ำหนักของกระเพาะอาหาร 24% ( $P = 0.0001$ ) และเพิ่มน้ำหนักของลำไส้ใหญ่ 18% ( $P = 0.0283$ ) โดยสมการความสัมพันธ์ของปริมาณ NDF และน้ำหนักของกระเพาะอาหาร คือ  $Y = 0.0091X + 0.7225$ ,  $R^2 = 0.86$  และสมการความสัมพันธ์ระหว่างปริมาณ NDF และน้ำหนักของลำไส้ใหญ่ คือ  $Y = 0.0144X + 1.5135$ ,  $R^2 = 0.84$  น้ำหนักของลำไส้เล็กที่ลดลงนั้น เคยรายงานไว้ในงานวิจัยของ Skiba et al. (2005) ที่ให้สุกรหลังหย่านมกินอาหารควบคุม (crude fiber = 3.79%) เปรียบเทียบกับอาหารที่มีหัวบด (grass meal) ที่ระดับ 10 และ 20% (crude fiber = 5.35 และ 7.66%) พบร้า น้ำหนักและความยาวของลำไส้เล็กลดลง โดยผู้เชี่ยวชาญนี้ได้ว่า อาจจะเกี่ยวข้องกับอัตราการการไหลผ่านของอาหารที่มีระดับไข้อาหารสูง เนื่องจากว่าสูตรควบคุม ทำให้ชั้นกล้ามเนื้อของลำไส้พัฒนาได้น้อย (Goff et al., 2002) และจากรายงานของ Gerritsen et al. (2012) การให้สุกรหย่านมกินอาหารที่มีแกลบข้าวโอ๊ตผสมฟาง ข้าวสาลี เป็นแหล่งไข้อาหารที่ไม่ละลายน้ำ ที่ระดับ 15% (15% iNSP; crude fiber = 7.4%) ทำให้กระเพาะอาหารเมื่อเทียบกับน้ำหนักตัวใหญ่ขึ้น เมื่อเทียบกับอาหารควบคุมที่ประกอบด้วยธัญพืช เป็นหลัก (0.89% และ 0.76% ของน้ำหนักตัว;  $P = 0.004$ ) และน้ำหนักของลำไส้เล็ก และลำไส้ใหญ่ เมื่อเทียบกับน้ำหนักตัวลดลง เมื่อเทียบกับอาหารควบคุม (ไม่มีความแตกต่างทางสถิติ) ส่วนการศึกษาของ Ma et al. (2002) พบร้า สุกรที่กินอาหารสูตรที่มีรำสาลี 5% และสูตรที่มีกากซูการ์บีช 5% มีน้ำหนักของตับลดลง (656.7 และ 634.0 กรัม) เมื่อเทียบกับกลุ่มควบคุมที่ให้อาหาร

ที่มีวัตถุติดหลักเป็นข้าวโพด-กาจถั่วเหลือง (778.0 กรัม) ส่วนน้ำหนักของอวัยวะอื่นๆ เช่น กระเพาะอาหาร ลำไส้เล็ก และลำไส้ใหญ่ ไม่มีความแตกต่างกันระหว่างกลุ่มทดลอง

ตาราง 19 Comparison organ weight of this result with previous research in weaning pigs (% of body weight)

Sources	Liver	Stomach	Small intestine	Large intestine
<u>Experimental result</u>				
iDF:sDF	2.48-2.69	0.91-1.04	4.67-4.73	2.60-2.83
Dietary fiber level	2.67-2.79	0.69-0.76	3.63-4.34	1.82-2.07
<u>Previous research</u>				
Ma et al. (2002) <sup>1</sup>	2.9-3.2	0.8-0.9	4.5-5.7	2.0-2.5
Pluske et al. (2003) <sup>2</sup>	-	0.8-0.9	5.4-6.5	1.4-2.3
Nepomuceno et al. (2016) <sup>3</sup>	2.65-3.42	0.75-0.97	4.60-5.06	1.61-1.94

หมายเหตุ: <sup>1</sup> studied in weaning pigs fed corn-soybean based diet (control diet), 5% wheat bran and 5% sugar beet pulp for 28 days after weaning

<sup>2</sup> studied in weaned pigs fed 6 different fiber sources (DF level ranging from 27 to 300 g/kg diet)

<sup>3</sup> Studied in weaned pigs (42 days of age) fed corn-soybean based diet with NDF level at 8.5, 10.5, 12.5, 14.5 and 16.5%

นอกจากการทดลองในสุกรแล้ว ในสัตว์ทดลองชนิดอื่นๆ ให้ผลใกล้เคียงกัน เช่น จากการศึกษาในหมูทดลองที่ได้รับอาหารที่มีระดับไข้อาหารที่ 257 กรัมต่อวัน เบรเยบเทียน กับอาหารที่มีระดับไข้อาหารต่ำ คือ 56 กรัมต่อวัน พบว่าน้ำหนักตัวของกระเพาะ ลำไส้เล็ก ไส้ติ่ง และลำไส้ใหญ่ของกลุ่มที่ได้รับอาหารระดับไข้อาหารสูง มีค่าสูงกว่ากลุ่มที่ได้รับอาหารที่มีระดับไข้อาหารต่ำ (Zhao et al., 1995)

การเพิ่มน้ำหนักของอวัยวะที่เกี่ยวข้องกับการย่อยและดูดซึมสารอาหาร โดยเฉพาะ กระเพาะอาหารและลำไส้ อาจเนื่องมาจากลักษณะทางกายภาพและชนิดของไข้อาหารที่เป็น

องค์ประกอบของวัตถุดิบที่ใช้เป็นแหล่งไข้อาหาร เป็นผลมาจากการปรับตัวต่อความฟ้ามของอาหารของตัวสูกรเอง ทำให้สัตว์กินอาหารมากขึ้น (Raj et al., 2005; Skiba et al., 2005) หรือ มีการเปลี่ยนพฤติกรรมของสูกรโดยใช้วิธีการกินอาหารนานขึ้น (ปิยะณัฐ เอี่ยมเพ็. และคณะ, 2561) ผ่านน้ำหนักของลำไส้ใหญ่ที่มากขึ้นเนื่องมาจากการเพิ่มการดูดซึมน้ำจากโครงสร้างของไข้อาหาร ซึ่งเป็นหน้าที่หลักของลำไส้ใหญ่ และจากกิจกรรมของจุลินทรีย์ที่ทำการย่อยโภชนาที่เหลือมาจากทางเดินอาหารส่วนต้น (Skiba et al., 2005) ปัจจัยอีกประการหนึ่งคือการทำงานในการหลังสารคัดหลัง เมือก และเอ็นไซม์ที่มากขึ้นเมื่อสัตว์ได้รับอาหารที่มีไข้อาหารเพิ่มขึ้น ทำให้อวัยวะที่เกี่ยวกับการย่อยและการดูดซึมสารอาหารมีขนาดใหญ่ขึ้น (Raj et al., 2005)

สำหรับทางด้านสัณฐานวิทยาของลำไส้เล็กนั้น จากการศึกษาครั้งนี้สูกรหลังหย่านมที่ได้รับอาหารที่มีสัดส่วนของ iDF:sDF แตกต่างกันคือ 3 (กลุ่มควบคุม), 4, 5 และ 6 นั้น มีแนวโน้มทำให้สัดส่วนของ VH:CD และความสูงของวิลล์ไอล์ในลำไส้เล็กส่วนต้นลดลง ( $P = 0.016$  และ  $0.083$ ) นอกจากนี้การให้สูกรหลังหย่านมกินอาหารที่มีระดับของไข้อาหารแตกต่างกัน คือ 130, 140 และ 150 กรัมต่อกิโลกรัม ทำให้สัดส่วน VH:CD ของลำไส้เล็กส่วนปลายมีแนวโน้มเพิ่มขึ้น ( $P = 0.062$ ) จะเห็นว่าประสิทธิภาพการผลิตของสูกรมีแนวโน้มต่ำกว่า เมื่อระดับไข้อาหารเพิ่มขึ้น ( $P = 0.317$ ) สมดคล้องกับบทวิจารณ์ของ Hanczakowska et al. (2008) การเพิ่มความสูงของวิลล์ไอล์และสัดส่วน VH:CD ทำให้สูกรกรายอย่างและการดูดซึมสารอาหารได้ดีขึ้น และส่งผลดีต่อสมรรถภาพการผลิตของสัตว์ ซึ่งจากการรวมข้อมูลสัดส่วน VH:CD ในช่วงอายุการเก็บตัวอย่างที่ใกล้เคียงกับการทดลองของผู้วิจัย (อายุสูกร 49 วัน) โดยลำไส้เล็กส่วนต้นมีค่า VH:CD อยู่ระหว่าง 1.1-1.8 ลำไส้เล็กส่วนกลางมีค่าอยู่ระหว่าง 1.79-2.77 และลำไส้เล็กส่วนท้ายมีค่าอยู่ระหว่าง 1.62-3.60 (Adam et al., 2019; Li et al., 2018; Lu et al., 2008)

โดยจากการศึกษาของ Vente-Spreeuwenberg et al. (2003) ที่ให้เห็นว่าความสูงของวิลล์ไอล์ลดลงในลำไส้เล็กส่วนต้นและส่วนกลาง หลังจากหย่านม 7 วัน ( $P<0.001$ ) ในขณะที่ความลึกของคริปท์เพิ่มขึ้นหลังจากหย่านมเท่านั้น ( $P<0.001$ ) ซึ่งความสูงของวิลล์ไอล์มีความสัมพันธ์เชิงบวกกับปริมาณอาหารที่กิน และการทำงานของเอ็นไซม์ที่สร้างจากบรัชบอร์เดอร์ (brush-border enzymes) และจากการศึกษาของ Hanczakowska et al. (2008) พบว่า ความสูงของวิลล์ไอล์ในลำไส้เล็กส่วนท้าย ในกลุ่มสูกรที่ให้เซลลูโลสในอาหารพื้นฐานที่ระดับ 1.5 และ 2.0% (339 และ 348  $\mu\text{m}$ ) สูงกว่ากลุ่มควบคุมอย่างมีนัยสำคัญทางสถิติ ( $308 \mu\text{m}$ ) ซึ่งค่าสัดส่วน VH:CD ที่เพิ่มขึ้นนี้จะช่วยป้องกันทางเดินอาหารส่วนท้าย จากการเพิ่มจำนวนของแบคทีเรียก่อโรค

อีกทั้งความสูงของวิลไล มีความสัมพันธ์เชิงบวกกับปริมาณการกินอาหารและมีความสัมพันธ์เชิงลบกับอัตราการเกิดห้องเสียหลังหย่านมอีกด้วย (Vente-Spreeuwenberg et al., 2003)

### 5. ผลของการใช้ไขอาหารต่อการปริมาณเชื้อแบคทีเรียในระบบทางเดินอาหาร ส่วนท้าย

จากการศึกษาได้ศึกษาทั้งสองการทดลองคือ การทดลองที่สุกรได้รับอาหารที่มีสัดส่วนของ iDF:sDF แตกต่างกัน คือ 3 (กลุ่มควบคุม), 4, 5 และ 6 นัน (การทดลองที่ 3.2) และการทดลองให้สุกรที่ได้รับอาหารที่มีระดับของไขอาหารแตกต่างกันคือ 130, 140 และ 150 กรัมต่อ กิโลกรัม เป็นระยะเวลา 28 วัน (หลังหย่านม) ใช้เทคนิค plate count โดยใช้ selective media agar โดยศึกษาเชื้อแบคทีเรีย 2 กลุ่มคือ โดยแบคทีเรียที่เป็นประโยชน์กลุ่มผลิตกรดแลคติก (Lactic acid bacteria) แบคทีเรียกลุ่มที่เป็นสาเหตุของโรคห้องเสียในสุกรหย่านมคือ *Salmonella* spp. และ *E. coli* (Beers-Schreurs et al., 1992; Jha, & Berrocoso, 2016; Lee et al., 2016; Sun, & Kim, 2017) และกลุ่มที่สองคือแบคทีเรียกลุ่ม Lactic acid bacteria เป็นแบคทีเรียที่มีหน้าที่รักษาสมดุลของระบบ微生态系ของแบคทีเรียในทางเดินอาหาร และเป็นปราการป้องกันลำไส้ และเยื่องพื้นที่ของเชื้อแบคทีเรียก่อโรค (Denev, 2006) จากการศึกษาครั้งนี้พบว่าห้องเสียของไขอาหารและสัดส่วน iDF:sDF ไม่ส่งผลต่อ มีปริมาณแบคทีเรียทั้ง *E. coli*, *Salmonella* spp. และ Lactic acid bacteria (ไม่มีความแตกต่างทางสถิติ) ซึ่งปัจจัยที่มีผลต่อจำนวนและสัดส่วนของแบคทีเรียในทางเดินอาหารมีหลายปัจจัย เช่น อายุ ช่วงระยะเวลาเจริญเติบโต ตำแหน่งของทางเดินอาหารที่เก็บตัวอย่าง และโดยเฉพาะอย่างยิ่งชนิดและลักษณะโครงสร้างของไขอาหาร ซึ่งแบคทีเรียใช้เป็นสารตั้งต้นสำหรับการหมักย่อย (Montagne et al., 2003) ซึ่งก่อให้เกิดสภาพที่เป็นกรดและช่วยควบคุมแบคทีเรียกลุ่มที่ก่อโรค โดยไขอาหารกลุ่ม iDF สามารถเกิดการหมักย่อยอย่างช้าๆ ในส่วนท้ายของทางเดินอาหาร ในขณะที่ไขอาหารกลุ่ม sDF จะเกิดการหมักย่อยอย่างรวดเร็ว บริเวณลำไส้ส่วนต้น (Freire et al., 2000)

ไขอาหารมีคุณสมบัติเป็นโพลิโอดิติก คือส่งเสริมการเจริญของแบคทีเรียกลุ่มที่มีประโยชน์ในระบบทางเดินอาหาร เช่นกลุ่ม *bifidobacterium* และ *lactobacilli* โดยกลุ่ม *lactobacilli* เป็นแบคทีเรียที่พบมากในลำไส้เล็ก ขณะที่แบคทีเรียกลุ่ม *bifidobacterium* เป็นแบคทีเรียที่พบมากในลำไส้ใหญ่ นอกจากนี้ไขอาหารยังมีผลต้านการเจริญของแบคทีเรียก่อโรค (Chen et al., 2013) จากการศึกษาของ Molist et al. (2009) 'ได้ศึกษาปริมาณของแบคทีเรียจากมูลสุกร ด้วยเทคนิค real-time PCR ของสุกรที่ได้รับอาหารที่ประกอบด้วยไขอาหารกลุ่ม iDF (รำข้าวสาลี 8%), sDF (กาภูมิการน้ำที่ 6%) และไข้ iDF ร่วมกับ sDF คือไข้รำข้าวสาลี 4% กับกาภูมิการน้ำที่ 3% ที่ระยะเวลา 15 วันหลังหย่านม ทำให้จำนวนของ Enterobacteria ลดลงเมื่อเปรียบเทียบกับกลุ่ม

ควบคุม ในขณะที่จำนวนของ *Lactobacilli* ไม่แตกต่างกันทางสถิติ ซึ่งสอดคล้องกับปริมาณของกรดบิวทีริกที่เพิ่มขึ้นเมื่อมีการให้อาหารหั้งสามสูตร จึงอาจเกิดความเป็นกรดของกรดบิวทีริกช่วยยับยั้งการเจริญของ *Enterobacteria* ได้ สอดคล้องกับการทดลองของ Chen et al. (2013) ที่ศึกษาปริมาณเชื้อแบคทีเรียด้วยเทคนิค real-time PCR พบว่าสุกรหลังหย่านมที่ได้รับอาหารที่มีรำข้าวสาลีที่ระดับ 10% ในสูตรอาหาร สงผลทำให้ปริมาณเชื้อ *E. coli* ในลำไส้ใหญ่ลดลง และเพิ่มปริมาณเชื้อ *Bifidobacterium* เมื่อเทียบกับกลุ่มควบคุม ในขณะที่แบคทีเรียกลุ่ม *Lactobacillus* ไม่มีการเปลี่ยนแปลง และจากการศึกษาของ Pluske, & Kim (2014) พบว่าการให้อาหารจาก wood cellulose ระดับ 0, 30, 60 และ 90 กรัมต่อ กิโลกรัมอาหาร ในอาหารสุกรหลังหย่านมที่ได้รับการถ่ายเชื้อ Enterotoxigenic *E. coli* พบว่า สามารถการเพิ่มระดับการให้อาหารจาก wood cellulose สามารถลดปริมาณเชื้อ *E. coli* ที่ขับออกทางมูลที่วันที่ 9 หลังหย่านมได้ และการศึกษาการเพิ่มระดับของ NDF ในอาหารด้วยไข้อาหารต่างชนิดกันได้แก่ รำข้าวสาลี ผิวถั่วเหลือง แกลบข้าวโอ๊ต กาแฟปัลเมเน็อในสกัดน้ำมัน และเยื่อไม้ไผ่ (bamboo meal) โดยระดับของสูตรควบคุม และสูตรที่เพิ่มแหล่งไข้อาหารชนิดต่างๆ เป็น 11.9 และ 14.2-15.2% และศึกษาปริมาณแบคทีเรียด้วยเทคนิค real-time PCR ในมูลสุกรที่ 28 วันหลังหย่านม พบว่าระดับของ NDF ที่เพิ่มขึ้นไม่สงผลต่อปริมาณแบคทีเรียกลุ่ม *Lactobacillus* spp. และปริมาณแบคทีเรียทั้งหมด (total bacteria) ในมูล แต่ปริมาณของแบคทีเรียกลุ่ม *Bifidobacterium* spp. ในกลุ่มที่ใช้รำข้าวสาลีเป็นแหล่งไข้อาหารมีปริมาณมากกว่ากลุ่มอื่น ซึ่งเป็นผลมาจากการปริมาณของ arabinoxylan ที่พบมากในรำข้าวสาลี เป็นแหล่งอาหารของแบคทีเรียกลุ่ม *Bifidobacterium* spp. ทำให้มีปริมาณเพิ่มขึ้น เมื่อเทียบกับกลุ่มอื่น (Yun et al., 2016)

จากรายงานให้เห็นว่าระดับของไข้อาหาร และชนิดของไข้อาหาร ไม่มีผลต่อปริมาณเชื้อแบคทีเรียกลุ่ม *Lactobacilli* และส่วนใหญ่มีผลต่อการลดปริมาณเชื้อ *E. coli* ในทางเดินอาหาร ส่วนท้าย แต่จากการทดลองครั้งนี้ทั้งระดับของไข้อาหาร และสัดส่วนของ iDF:sDF ไม่สงผลต่อปริมาณเชื้อแบคทีเรียทั้ง *E. coli*, *Salmonella* spp. และ Lactic acid bacteria ทั้งนี้อาจเนื่องมาจาก 2 ปัจจัย ดังนี้ปัจจัยแรกสภาพแวดล้อมของการเลี้ยงที่มีการจัดการสุขาภิบาลที่ดี ทำให้ความสะอาดและฆ่าเชื้อด้วยน้ำยาฆ่าเชื้อก่อนเริ่มการทดลอง และล้างคอกเป็นประจำทุกวัน อีกทั้งคอกที่เลี้ยงเป็นแบบยกพื้นสูง ซึ่งการสุขาภิบาลคอกมีความสัมพันธ์ต่อปริมาณเชื้อจุลทรรศ์สนับสนุนแนวคิดนี้จากการทดลองของ Montagne et al. (2012) โดยพบว่าภายใต้การเลี้ยงที่มีการสุขาภิบาลที่ดี (ทำความสะอาด ฆ่าเชื้อก่อนการทดลอง และล้างทำความสะอาดคอก เก็บมูลเป็นประจำทุกวัน) ทำให้อิทธิพลของปริมาณไข้อาหารที่เพิ่มขึ้น ไม่สงผลต่อการเปลี่ยนแปลงของ

แบคทีเรียในทางเดินอาหารส่วนท้าย และปัจจัยที่สองคืออายุของสูกรเมื่อเก็บตัวอย่างยังมีผลต่อปริมาณเชื้อแบคทีเรียที่ศึกษา โดยจากการศึกษา Montagne et al. (2012) ทำให้การเพิ่มระดับของไขอาหารจาก 121 เป็น 169 กรัมต่อกิโลกรัม หลังจากหย่านม 5 วัน พนแนวโน้มว่าปริมาณเชื้อ *Lactobacillus* ลดลงจาก 7.48 เป็น 6.98 log CFU/g แต่มีการเพิ่มระดับของสูกรที่ 34 วันหลังจากหย่านม ไม่พบความแตกต่างของปริมาณเชื้อแบคทีเรียในมูลของสูกร โดยได้วิจารณ์ผลการศึกษาดังกล่าวไว้ว่าการให้ปริมาณไขอาหารอย่างต่อเนื่อง จะกระทบต่อการเปลี่ยนแปลงของแบคทีเรียนี้ ในช่วงระยะเวลาหนึ่ง และปริมาณแบคทีเรียจะเข้าสู่ภาวะสมดุลอีกครั้งทำให้ไม่พบการเปลี่ยนแปลงเมื่อเก็บตัวอย่างในวันที่ 34 หลังหย่านม และจากที่กล่าวมาแล้วในข้างต้น การศึกษาปริมาณแบคทีเรียในมูลสูกรมักทำอยู่ในช่วงไม่เกิน 15 วันหลังจากหย่านม เช่น Pluske, & Kim (2014) ศึกษาอายุ 9 วันและ Molist et al. (2009) ศึกษาที่อายุ 15 วันหลังหย่านม ซึ่งหากเก็บตัวอย่างที่ 28 วัน ก็ไม่พบความแตกต่างของแบคทีเรียกลุ่ม *Lactobacilli* และ total bacteria (Yu et al., 2016) หรือ Pascoal et al. (2015) เมื่อศึกษาที่เมื่อสูกร 14 และ 29 วันหลังหย่านม ไม่พบความแตกต่างของแบคทีเรีย *Lactobacillus* ทั้งในลำไส้เล็กและไส้ติ่ง ดังนั้นในการวิจัยครั้งนี้ เก็บตัวอย่างที่ 30 วันหลังหย่านม หรือเมื่อสูกรอายุ  $49 \pm 3$  วัน จึงอาจเป็นเหตุผลที่ทำให้ไม่พบการเปลี่ยนแปลงของแบคทีเรียกลุ่มเป้าหมาย

### สรุปผลการวิจัย

1. แกลบบด มีความสามารถในการอุ้มน้ำ และค่าการพองตัวต่ำกว่าตัวอุบัติชนิดอื่น และมีปริมาณไขอาหารสูงที่สุด จึงนำมาเลือกใช้เป็นแหล่งของไขอาหารในการทดลองต่อไป
2. การเพิ่มระดับของไขอาหารสูกรหลังหย่านม ไขอาหารที่ระดับ 140 กรัมต่อกิโลกรัม มีแนวโน้มเพิ่มความถูกของวิลไล และ VH:CD ในลำไส้เล็กส่วนปลาย แนวโน้มเพิ่มการกินอาหารในสปดาห์แรกของการหย่านม และประสิทธิภาพการผลิตโดยรวมมีแนวโน้มดีกว่ากลุ่มอื่น นอกจากนี้ระดับไขอาหารไม่ส่งผลต่ออัตราการเกิดท้องเสีย การย่อยได้ของสารอาหาร และแบคทีเรียที่ทางเดินอาหารส่วนท้าย
3. สัดส่วน iDF:sDF ที่ระดับ 4 ให้ประสิทธิภาพการผลิตโดยรวมดีกว่ากลุ่มอื่น และปรับปรุงสัมฐานวิทยาของลำไส้เล็กส่วนต้นและส่วนกลาง โดยไม่มีผลต่อปริมาณเชื้อแบคทีเรียในทางเดินอาหารส่วนท้าย

### ข้อเสนอแนะ

1. วัตถุดิบที่ใช้ในการทดลองครั้งนี้คือแกลบดิบ โดยไม่ผ่านกระบวนการการได้ นอกจําการลดขนาด ซึ่งการทดลองในอนาคตอาจศึกษาการปรับเปลี่ยนโครงสร้างของไขอาหารโดยกรรมวิธีต่างๆ ก่อนนำมาใช้ เพื่อเป็นการใช้ประโยชน์ได้สูงสุด
2. การศึกษาด้านจำนวนของแบคทีเรีย ความมีการศึกษาเพิ่มเติมโดยใช้เทคนิคการตรวจสอบที่มีความทันสมัยมากขึ้น โดยเฉพาะแบคทีเรียในกลุ่มที่ไม่ใช้ออกซิเจนในการเจริญเติบโต (anaerobic bacteria) ซึ่งถือเป็นประชาระแบคทีเรียกลุ่มใหญ่ในทางเดินอาหารส่วนปลาย อีกทั้งระยะเวลาของการเก็บตัวอย่างควรประมาณ 7-14 วันหลังหย่านม เพื่อให้สามารถแสดงการเปลี่ยนแปลงของแบคทีเรียกลุ่มที่ตอบสนองต่อไขอาหารได้ยิ่งขึ้น





## บรรณานุกรม

- กุณิภา ฉนรุ่งรังสี, ณัฏฐา เจ้าฤกตจิตต์, และอรพิน เกิดชูชื่น. (2557). การศักดิ์เส้นไโยอาหารจากเปลือกข้าว. *วารสารวิทยาศาสตร์การเกษตร*, 45(2), 1-4.
- นัยนา บุญทวียุวัฒน์. (2548). *ชีวเคมีทางโภชนาการ (Nutritional Biochemistry)*. กรุงเทพฯ: จิกม่า ดีไซน์กราฟฟิก.
- นุจิรา ทักษิณานันต์, เสกสม อາฒมางกุร, ลุวเรศ เรืองพาณิช, และณัฐชนก อมรเทวภัทร. (2553). ผลของกากมันสำปะหลังในสูตรอาหารต่อกระบวนการอัดเม็ด คุณภาพเม็ดอาหารและสมรรถภาพการผลิตของสุกรอะยะอนุบาล. ใน *ประชุมวิชาการมหาวิทยาลัยเกษตรศาสตร์ ครั้งที่ 48 สาขาสัตว์* (น. 85-92). กรุงเทพฯ: มหาวิทยาลัยเกษตรศาสตร์.
- นุจิรา ทักษิณานันต์. (2553). ผลของกากมันสำปะหลังในสูตรอาหารต่อกระบวนการอัดเม็ด การใช้ประโยชน์ได้ของสารอาหาร และสมรรถภาพการผลิตของสุกรอะยะอนุบาล (วิทยานิพนธ์ปริญญามหาบัณฑิต). นครปฐม: มหาวิทยาลัยเกษตรศาสตร์.
- ปิยะณสุ เอี่ยมเพ็ง, นุจิรา ทักษิณานันต์, และวันดี ทาตะระกุล. (2561). ผลของอาหารเยื่อไยสูงต่อประสิทธิภาพการเจริญเติบโต และพฤติกรรมของสุกรหลังหย่านม. *วารสารวิจัยและส่งเสริมวิชาการเกษตร*, 35(2)(พิเศษ 2), 363-370.
- พิพัฒน์ เหลืองวิลาวัณย์, และวิศิษฐ์พร ศุขสมบต. (2550). กากมันสำปะหลังกับการใช้ประโยชน์ในอาหารโภชนา. *วารสารเกษตรสุรนารี*, 50, 43-50. สืบค้น 24 มกราคม 2563, จาก <http://sutir.sut.ac.th:8080/sutir/handle/123456789/2085>
- วริยา โกสุม. (2552). ผลของการใช้กากมันสำปะหลังในอาหารสุกรอนุบาลต่อสมรรถภาพการผลิต (วิทยานิพนธ์ปริญญามหาบัณฑิต). กรุงเทพฯ: มหาวิทยาลัยเกษตรศาสตร์.
- วันเพ็ญ แสงทองพินิจ. (2551). การผลิตและคุณสมบัติของไโยอาหารจากเปลือกส้มโอเพื่อนำมาใช้ในผลิตภัณฑ์อาหาร. ใน *งานประชุม The 1<sup>st</sup> NPRU Academic Conference* (น. 1-12). นครปฐม: มหาวิทยาลัยราชภัฏนครปฐม.

- สมาคมผู้ผลิตอาหารสัตว์ไทย. (2561). ตารางประมาณการประชากรสัตว์, ปริมาณอาหารสัตว์ และการใช้วัตถุดิบ ปี 2561. สืบค้น 24 มกราคม 2563, จาก [http://www.thaifeedmill.com/Portals/0/2016/%E0%B8%9B%E0%B8%A3%E0%B8%B0%E0%B8%A1%E0%B8%B2%E0%B8%93%E0%B8%81%E0%B8%B2%E0%B8%A3%E0%B8%9B%E0%B8%A3%E0%B8%8A%E0%B8%B2%E0%B8%81%E0%B8%A3%E0%B8%AA%E0%B8%B1%E0%B8%95%E0%B8%A7%E0%B9%8C%20%E0%B8%97%E0%B8%9A%E0%B8%97%E0%B8%A7%E0%B8%99%20%E0%B8%9B%E0%B8%B561\(%E0%B9%84%E0%B8%97%E0%B8%A2\).pdf](http://www.thaifeedmill.com/Portals/0/2016/%E0%B8%9B%E0%B8%A3%E0%B8%B0%E0%B8%A1%E0%B8%B2%E0%B8%93%E0%B8%81%E0%B8%B2%E0%B8%A3%E0%B8%9B%E0%B8%A3%E0%B8%8A%E0%B8%B2%E0%B8%81%E0%B8%A3%E0%B8%AA%E0%B8%B1%E0%B8%95%E0%B8%A7%E0%B9%8C%20%E0%B8%97%E0%B8%9A%E0%B8%97%E0%B8%A7%E0%B8%99%20%E0%B8%9B%E0%B8%B561(%E0%B9%84%E0%B8%97%E0%B8%A2).pdf)
- สมาคมผู้ผลิตอาหารสัตว์ไทย. (2562). มันสำปะหลังโรงงาน ปี 2563 (ปีเพาะปลูก 2562/63). วารสารชุมชนอาหารสัตว์, 36(188), 31-33.
- สำนักงานเศรษฐกิจการเกษตร. (2562a). สถานการณ์และแนวโน้มสำคัญของเกษตรที่สำคัญปี 2563. สืบค้น 29 มกราคม 2563, จาก [http://www.oae.go.th/assets/portals/1/ebookcategory/24\\_trend2563-Final-Download/#page=14](http://www.oae.go.th/assets/portals/1/ebookcategory/24_trend2563-Final-Download/#page=14)
- สำนักงานเศรษฐกิจการเกษตร. (2562b). ถัวเฉลี่องรวมรุ่น: เนื้อที่ปลูก เม็ดที่เก็บเกี่ยว ผลผลิต และผลผลิตต่อไร่ ปีเพาะปลูก 2560/61 (รายจังหวัด). สืบค้น 6 พฤศจิกายน 2562, จาก <http://www.oae.go.th/assets/portals/1/fileups/prcaidata/files/soybean%2060.pdf>
- ธิรมา ชินสาร และกฤษณะ ชินสาร. (2558). รายงานวิจัยฉบับสมบูรณ์ การสกัดและใช้ประโยชน์ได้เด่นในอาหารและเชลลูโลสจากพากะพร้าวเพื่อสร้างมูลค่าเพิ่มให้กับวัสดุเหลือใช้ทางการเกษตรและสร้างตัวตนแบบเพื่อการพยากรณ์การถ่ายเทmvsls ระหว่างการทดสอบ. ชลบุรี: มหาวิทยาลัยนุรธาภิ.
- สุกัญญา เกินกลาง. (2546). การใช้เปลือกเมล็ดถั่วเหลืองเป็นอาหารโคนม (วิทยานิพนธ์ปริญญาโท). เชียงใหม่: มหาวิทยาลัยเชียงใหม่.
- หยาดฝน ทะนงการกิจ. (2557). การใช้ประโยชน์จากเศษผักผลไม้เหลือทิ้งเพื่อผลิตเป็นไยอาหาร牲. วารสารเทคโนโลยีการอาหาร มหาวิทยาลัยสยาม, 9(1), 31-38.
- อรอนงค์ วินัยกุล. (2547). ข้าว: วิทยาศาสตร์และเทคโนโลยี. กรุงเทพฯ: สำนักพิมพ์มหาวิทยาลัยเกษตรศาสตร์.

- อังคณา หาญบวรวงศ์ และดวงสมรา ศินเจมศิริ. (2532). การวิเคราะห์และการประเมินคุณภาพอาหารสัตว์. กรุงเทพฯ: ภาควิชาสัตวบาล คณะเกษตร มหาวิทยาลัยเกษตรศาสตร์.
- Adam, S., Kong, X., Che, D., Qin, G., & Jiang, H. (2019). Effects of dietary supplementation of Alfalfa (*Medicago Sattva*) fibre on the blood biochemistry, nitrogen metabolism, and intestinal morphometry in weaning piglets. *Applied Ecology and Environmental Research*, 17(2), 2275-2295
- Adibmoradi, M., Navidshad, B., & Jahromi, M.F. (2016). The effect of moderate levels of finely ground insoluble fibre on small intestine morphology, nutrient digestibility and performance of broiler chickens. *Italian Journal of Animal Science*, 15(2), 310-317.
- Agyekum, A.K., & C.M. Nyachoti. (2017). Nutritional and metabolic consequences of feeding high fiber diets to swine: A review. *Engineering*, 3(5), 716-725.
- Albinsson, A.R.M., & Andersson, G.K.A. (1990). Subclinical characteristics of the wasting pig syndrome. *Research in Veterinary Science*, 49(1), 71-76.
- Ani, A.O., Ezemagu, I.E., & L.C. Ugwuowo. (2013). Growth performance of weaner pigs fed soybean hull based diets. *Journal of Animal and Feed Research*, 3(3), 137-142.
- Ao, X., & I.H. Kim. (2019). Effects of dietary dried mealworm (*Psecticus tenebrifer*) larvae on growth performance and nutrient digestibility in weaning pigs. *Livestock Science*, 230, 103815.
- AOAC. (1995). *Official Methods of Analysis* (16th ed.) Arlington: AOAC International.
- Banino, A. (2012). *Effect of fiber on physiochemical properties of digesta and fecal microbial composition in pigs* (Master's thesis). Sweden: Swedish University of Agricultural Sciences.
- Beers-Schreurs, H.M.G., Vellenga, L., Wensing, Th., & Breukink , H.J. (1992). The pathogenesis of the post-weaning syndrome in weaned piglet: A review. *Veterinary Quarterly*, 14(1), 29-34.

- Bindelle, J., Leterme, P., & Buldgen, A. (2008). Nutritional and environmental consequences of dietary fibre in pig nutrition: A review. *Biotechnology, Agronomy, Society and Environment*, 12(1), 69-80.
- Bolin, D.W., King, R.P., & Klosterman, E.W. (1952). A simplified method for the determination of chromic oxide ( $\text{Cr}_2\text{O}_3$ ) when used as an index substance. *Science*, 116(3023), 634-635.
- Brooks, P.H., Moran, C.A., Beal, J.D., Demeckova, V., & Campbell, A. (2001). Liquid feeding for the young piglet. In Varley, M.A., & Wiseman, J. (Eds.). *The Weaner Pig: Nutrition and Management* (pp. 153-178). UK.: CAB International, Wallingford.
- Burkhalter, T.M., Merchen, N.R., Bauer, L.L., Murray, S.M., Patil, A.R., Brent J.L., & Fahey, G.C. (2001). The ratio of insoluble to soluble fiber components in soybean hulls affects ileal and total-tract nutrient digestibilities and fecal characteristics of dogs. *Journal of Nutrition*, 131(7), 1978-1985.
- Caprita, R., Caprita, A., & Julean, C. (2010). Biochemical aspects of non-starch polysaccharides. *Animal Science and Biotechnology*, 43(1), 368-375.
- Capuano, E. (2017). The behavior of dietary fiber in the gastrointestinal tract determinations its physiological effect. *Critical Review in Food Science Nutrition*, 57(16), 3553-3563.
- Casas, G.A., & Stein, H.H. (2016). Effects of full fat r defatted rice bran on growth performance and blood characteristics of weanling pigs. *Journal of Animal Science*, 94(10), 4179-4187.
- Chase, C.C.L. (2018). Enteric immunity happy gut, healthy animal. *Veterinary Clinics of North America: Food Animal Practice*, 34(1), 1-18.
- Chen, H., Mao, X., He, J., Yu, B., Huang, Z., Yu, J., Zheng, P., & Chen, D. (2013). Dietary fibre affects intestinal mucosal barrier function and regulates intestinal bacteria in weaning piglets. *British Journal of Nutrition*, 110(10), 1837-1848.

- Choct, M. (2015). *Fibre-Chemistry and functions in poultry nutrition. LII Simposio Científico de Avicultura, Málaga, 28 al 30 de octubre: 113-119.* Retrieved December 25, 2019, from [https://www.wpsa-aeca.es/aeca\\_imgs\\_docs/16478\\_fibra\\_mingan.pdf](https://www.wpsa-aeca.es/aeca_imgs_docs/16478_fibra_mingan.pdf)
- Chu, S.H.W., & Walker, W.A. (1993). Bacterial toxin interaction with the developing intestine. *Gastroenterology, 104*(3), 916-925.
- Cohen, M.B., Moyer, M.S., Luttrell, M., & Gianella, R.A. (1986). The immature rat small intestine exhibits and increased sensitivity and response to *Escherichia coli* heat stable enterotoxin. *Pediatric Research, 20*(6), 555-560.
- Cole, J.T., Fahey, G.C., Merchen, N.R., Patil, A.R., Murray, S.M., Hussein, H.S., & Brent, J.L. (1999). Soybean hulls as a dietary fiber source for dogs. *Journal of Animal Science, 77*(4), 917-924.
- Conway, P.L. (1994). Function and regulation of the gastrointestinal microbiota of the pig. *EAAP publication, 80,* 231-240.
- Daou, C., & Zhang, H. (2014). Functional and physiological properties of total, soluble, and insoluble dietary fibres derived from defatted rice bran. *Journal of Food Science and Technology, 51*(12), 3878-3885.
- Dégen, L., Halas, V., & Babinszky, L. (2007). Effect of dietary fibre on protein and fat digestibility and its consequences on diet formulation for growing and fattening pigs: A review. *Acta Agriculturae Scandinavica, Section A-Animal Science, 57*(1), 1-9.
- Denev, S.A. (2006). Role of Lactobacilli in gastrointestinal ecosystem. *Bulgarian Journal of Agricultural Science, 12*(2006), 63-114.
- Deprez, P., Deroose, P., Van de Hencq, C., Muylle, E., & Oyaert, W. (1987). Liquid versus dry feeding in weaning piglets: The influence on small intestinal morphology. *Journal of Veterinary Medicine, 34*(1-10), 254-259.
- Dhingra, D., Michael, M., & Rajput, H. (2012). Dietary fibre in foods: A review. *Journal of Food Science and Technology, 49*(3), 255-266.

- Dierick, N., Vervaeke, I., Decuypere, J., & Henderickx, H. (1990). Bacterial protein synthesis in relation to organic matter digestion in the hindgut of growing pigs; contribution of hindgut fermentation to total energy supply and growth performances. *Journal of Animal Physiology and Animal Nutrition*, 63(1-5), 220-235.
- Dong, G.Z., & Pluske, J.R. (2007). The low feed intake in newly-weaned pigs: Problems and possible solution. *Asian-Australasian Journal of Animal Sciences*, 20(3), 440-452.
- Drochner, W., Kerler, A., & Zacharias, B. (2004). Pectin in pig nutrition, a comparative review. *Journal of Animal Physiology and Animal Nutrition*, 88(11-12), 367-380.
- Eastwood, M.A., & Morris, E.R. (1992). Physical properties of dietary fiber that influence physiological function: a model for polymers along the gastrointestinal tract. *The American Journal of Clinical Nutrition*, 55(2), 436-442.
- Elson, C.O., & Beagley, K.W. (1994). Cytokines and immune mediators. In Bock, H.D., Eggum, B.O., Low, A.G., Simon, O., & Zebrowska, T. (Eds.), *Protein Metabolism in Farm Animals: Evolution, Digestion, Absorption, and Metabolism*. Oxford: Oxford University Press.
- Englyst, H.N., Wiggins, H.S., & Cummings, J.H. (1982). Determination of the non-starch polysaccharides in plant foods by gas-liquid chromatography of constituent sugars as alditol acetates. *Analyst*, 107(1272), 307-318.
- Englyst, K.N., Liu, S., & Enlyst, H.N. (2007). Nutritional characterization and measurement of dietary carbohydrates. *European Journal of Clinical Nutrition*, 61(suppl 1), S19-S39.
- Ewing, W.N., & Cole, D.J. (1994). *The living gut: an introduction to micro-organisms in nutrition*. Ireland: Context Publisher.

- Feng, Q., Yamamichi, H., Shoya, M., & Sugita, S. (2004). Study on the pozzolanic properties of rice husk ash by hydrochloric acid pretreatment. *Cement and Concrete Research*, 34(3), 521-526.
- Freire, J.P.B., Buerreiro, A.J.G., Cunha, L.F., & Aumaitre, A. (2000). Effect of dietary fibre source on total tract digestibility, caecum volatile fatty acid and digestive transit time in the weaned piglet. *Animal Feed Science and Technology*, 87(1-2), 71-83.
- Freire, J.P.B., Peiniao, J., Cunha, L.F., Almeida, J.A.A., & Aumaitre, A. (1998). Comparative effects of dietary fat and fibre in Alentejano and Large White piglets: Digestibility, digestive enzymes and metabolic data. *Livestock Production Science*, 53(1), 37-47.
- Fushai, F., Tekere, M., Masafu, M., Akinsola, C.M., Siebrits, F., Nherera-Chokuda, F.V. and Kanengoni, A.T. (2019). Co-products in maize-soybean growing-pigs diets altered in vitro enzymatic insoluble fibre hydrolysis and fermentation in relation to botanical origin. *South African Journal of Animal Science*, 49(2), 201-218.
- Gadhe, K.S., Thorat, P.P., Sawate, A.R., & Shere, D.M. (2018). Effect of particle size distribution on functional properties of dietary fiber extracted from sugar beet (*Beta vulgaris*). *International Journal of Chemical Studies*, 6(2), 328-331.
- Gaskins, H.R. (2001). Intestinal bacteria and their influence on swine growth in Swine Nutrition (2nd ed.). USA.: CRC Press.
- Gelberg, H.B. (2014). Comparative anatomy, physiology, and mechanisms of disease production of the esophagus, stomach, and small intestine. *Toxicologic Pathology*, 42(1), 54-66.
- Gerritsen, R., van der Aar, P., & Molist, F. (2012). Insoluble nonstarch polysaccharides in diets for weaned piglets. *Journal of Animal Science*, 90(suppl 4), 318-320.

- Goebring, D.L., Tokach, M.D., DeRoucher, J.M., Nelssen, J.L., Goodband, R.D., & Dritz, S.S. (2012). The effects of soybean hulls on nursery pig growth performance. *Kansas Agricultural Experiment Station Research Reports*, 0 (10), 127-136.
- Goering, H.K., & Van Soest, P.J. (1970). *Forage fiber analysis*. Retrieved January 29, 2020, from <https://naldc.nal.usda.gov/download/CAT87209099/PDF>
- Goff, G.L., van Milgen, J., & Noblet, J. (2002). Influence of dietary fibre on digestibility utilization and rate of passage in growing pigs, finishing pigs and adult sows. *Animal Science*, 74(3), 503-515.
- Gupta, P., & Premavalli, K.S. (2010). Effect of particle size reduction on physiochemical properties of ashgourd (*Benincasa hispida*) and radish (*Raphanus sativus*) fibres. *International Journal of Food Sciences and Nutrition*, 61(1), 18-28.
- Hampson, D.J. (1986). Alteration in piglet small intestinal structure at weaning. *Research in Veterinary Science*, 40(1), 32-40.
- Hanczakowska, E., Świątkiewicz, M., & BiaŁecka, A. (2008). Pure cellulose as a feed supplement for piglets. *Medycyna Wet*, 64(1), 45-48.
- Hedemann, M.S., Skildsen, E.M., Laerke, H.N., Pedersen, C., Lindberg, J.E., Laurinen, P., & Knusen, K.E. (2006). Intestinal morphology and enzymatic activity in newly weaned pigs fed contrasting fiber concentrations and fiber properties. *Journal of Animal Science*, 84(6), 1375-1386.
- Henneberg, W., & Stohmann, F. (1859). Über das Erhaltungsfutter volljährigen Rindviehs. *Journal fur Landwirtschaft*, 3, 485-551.
- Herfel, T., Jacobi, S., Lin, X., Van Heugten, E., Fellner, V., & Odle, J. (2013). Stabilized rice bran improves weaning pig performance via a prebiotic mechanism. *Journal of Animal Science*, 91(1), 907-913.

- Hermes, R. G., Molist, F., Ywazaki, M., Nofrarias, M., Gomez, G. S., Gasa, J., & Perez, J. F. (2009). Effect of dietary level of protein and fiber on the productive performance and health status of piglet. *Journal of Animal Science*, 87(11), 3569-3577.
- Hetland, H., Svhuis, B., & Krongdahl, A. (2003). Effect of oat hulls and wood shaving on digestion in broiler and layers fed diets based on whole or ground wheat. *British Poultry Science*, 44(2), 275-282.
- Högberg, A., & Lindberg, J.E. (2004). Influence of cereal non-starch polysaccharides and enzyme supplementation on digestion site and gut environment in weaned piglets. *Animal Feed Science and Technology*, 116(1), 113-128.
- Huisman, J., & Jansman, J.M. (1991). Dietary effects and some analytical aspects of antinutritional factors in peas (*Pisum sativum*), common beans (*Phaseolus vulgaris*) and soybeans (*Glycine max L.*) in monogastric farm animals. A literature review. *Nutrition Abstracts and Reviews*, B61, 901-921.
- Inoue, R., Tsukahara, T., Nakanishi, N., & Ushida, K. (2005). Development of the intestinal microbiota in the piglet. *The journal of General and Applied Microbiology*, 51(4), 257-265.
- Jaworski, N.W., & Stein, H.H. (2017). Disappearance of nutrient and energy in the stomach and small intestine, cecum, and colon of pigs fed corn-soybean meal diets containing distillers dried grains with solubles, wheat middlings, or soybean hulls. *Journal of Animal Science*, 95(2), 727-739.
- Jensen, B.B., & Jorgensen, H. (1994). Effect of dietary fiber on microbial activity and microbial gas production in various regions of the gastrointestinal tract of pigs. *Applied and Environmental Microbiology*, 60(6), 1897-1904.
- Jensen, W.M., Melin, L., Lindberg, R., Johannsson, A., Petersson, L., & Wallgren, P. (1998). Dietary zinc oxide in weaned pigs-effects on performance, tissue concentrations, morphology, neutrophil functions and faecal microflora. *Research in Veterinary Science*, 64(3), 225-231.

- Jha, R., & Berrocoso, J.F.D. (2016). Dietary fiber and protein fermentation in the intestine of swine and their interactive effects on gut health and on the environment: A Review. *Animal Feed Science and Technology*, 212(2006), 18-26.
- Jha, R., Fouhse, J.M., Tiwari, U.P., Li, L., & Willing, B.P. (2019). Dietary fiber and intestinal health of monogastric animals. *Frontiers in Veterinary Science*, 6, 48.
- Jiménez-Moreno, E., de Coca-Sinova, A., González-Alvarado, J.M., & Mateos, G.G. (2016). Inclusion of insoluble fiber sources in mash or pellet diets for young broilers 1. Effects on growth performance and water intake. *Poultry Science*, 95(1), 41-52.
- Jorgensen, B.B., & Jorgensen, H. (1994). Effect of dietary fiber on microbial activity and microbial gas production in various regions of the gastrointestinal tract of pigs. *Applied and Environmental Microbiology*, 60(6), 1897-1904.
- Jung, H.J., Kim, Y.Y., & Han, K. (2003). Effects of fat sources on growth performance, nutrient digestibility, serum traits and intestinal morphology in weaning pigs. *Asian-Australasian Journal of Animal Sciences*, 16(7), 1035-1040.
- Katouli, M., Lund, A., Wallgren, P., Kühn, I., Söderlind, O., & Möllby, R. (1997). Metabolic fingerprint and fermentative capacity of the intestinal flora of pigs during pre- and post-weaning periods. *Journal of Applied Microbiology*, 83(2), 147-154.
- Kelly, D., Begbie, R., & King, T.P. (1992). Postnatal intestinal development. In Varley, M.A., Williams, P.E.V., Lawrence, T.L.J. (Eds.), *Neonatal survival and growth, occasional publications between bacteria and the small intestinal mucosa* (p. 63). Cambridge: Cambridge University Press.
- Kim, J.C., Christian, F., Mullan, B.P., & Pluske, J.R. (2012). Nutrition and pathology of weaner pigs: nutritional strategies to support barrier function in the gastrointestinal tract. *Animal Feed Science and Technology*, 173(1-2), 3-16.

- Kim, J.C., Mullan, B.P., Hampson, D.J., & Pluske, J.R. (2008). Addition of oat hull to an extruded rice-based diet for weaner pigs ameliorates the incidence of diarrhea and reduces indices of protein fermentation in the gastrointestinal tract. *British Journal of Nutrition*, 99(6), 1217-1225.
- Kitt, S.J., Miller, P.S., & Lewis, A. (2001). *Factors affecting small intestine development in weanling pigs*. Retrieved December 25, 2019, from [https://digitalcommons.unl.edu/cgi/viewcontent.cgi?article=1098&context=coopext\\_swine](https://digitalcommons.unl.edu/cgi/viewcontent.cgi?article=1098&context=coopext_swine).
- Knudsen, K.E.B. (2001). The nutritional significance of "dietary fibre" analysis. *Animal Feed Science and Technology*, 90(1-2), 3-20.
- Knudsen, K.E.B., & Hansen, I. (1991). Gastrointestinal implications in pigs of wheat and oat fractions: 1. Digestibility and bulking properties of polysaccharides and other major constituents. *British Journal of Nutrition*, 65(2), 217-232.
- Konstantinov, S., Favier, C., Zhu, W., Williams, B., Klüß, J., Souffrant, W.B., De Vos, W., Akkermans, A., & Smidt, H. (2004). Microbial diversity studies of the porcine gastrointestinal ecosystem during weaning transition. *Animal Research*, 53(4), 317-324.
- Kuan, C.Y., Yuen, K.H., & Liong, M.T. (2012). Physical, chemical and physiochemical characterization of rice husk. *British Food Journal*, 114(6), 853-867.
- Lærke, H.N., & Hedemann, M.S. (2012). *The digestive system of the pig. Nutritional Physiology of Pigs*-online publication. Denmark: Videncenter for Swine production, Foulum.
- Lallès, JP, Bosi, P., Smidt, H., & Stokes, C.R. (2007). Weaning-A challenge to gut physiologists. *Livestock Science*, 108(1-3), 82-93.
- Langlois, A., Corring, T., & Février, C. (1987). Effects of wheat bran on exocrine pancreas secretion in the pig. *Reproduction, Nutrition, Development*, 27(5), 929-939.
- Lee, I.K., Kye, Y.C., Kim, G., Kim, H.W., & Gu, M.J. (2016). Stress, nutrition, and intestinal immune responses in pigs-A Review. *Asian Australasian Journal of Animal Sciences*, 29(8), 1075-1082

- Lee, S.C., Prosky, L., & de Vries, J.W. (1992). Determination of total, soluble, and insoluble dietary fiber in foods-enzymic-gravi-metric method, MES-TRIS buffer: collaborative study. *Journal of AOAC International*, 75(3), 395-416.
- Lee, S.J., Kim, J.Y., Park, N.H., Awji, E.G., Suh, J.W., & Park, S.C. (2016). Effect of dietary fiber source on the growth performance and intestinal microflora in piglets. *The International Journal of Applied Research in Veterinary Medicine*, 14(2), 135-142.
- Leterme, P., Froidmont, E., Rossi, F., & Théwis, A. (1998). The high water-holding capacity of pea inner fibers affects the ileal flow of endogenous amino acids in pigs. *Journal of Agricultural and Food Chemistry*, 46(5), 1927-1934.
- Li, J. (2017). Current status and prospects for in feed antibiotics in the different stage of pork production – A review. *Asian-Australasian Journal of Animal Sciences*, 30(12), 1667-1673.
- Li, S., Zheng, J., Demg, K., Chen, L., Zhao, X.L., Jiang, X., Fang, Z., ... Wu, D. (2018). Supplementation with organic acids showing different effects on growth performance, gut morphology, and microbiota of weaned pigs fed with highly or less digestible diets. *Journal of Animal Science*, 96(8), 3302-3318.
- Lindberg, J.E. (2014). Fiber effects in nutrition and gut health in pigs. *Journal of Animal Science and Biotechnology*, 5(1), 15.
- Lionetti, P., Breese, E., Braegger, C.P., Murch, S.H., Taylor, J., & McDonald, T.T. (1993). T-cell activation can induce either mucosal destruction or adaptation in cultured human fetal small intestine. *Gastroenterology*, 105(2), 373-381.
- Liu, H.M., & Li, H.Y. (2017). Application and conversion of soybean hulls. In Kasai, M. (Ed.), *Soybean – The basis of yield, biomass and productivity*. United Kingdom: IntechOpen Limited.
- Looft, T., Johnson, T.A., Allen, H.K., Bayles, D.O., Alt, D.P., Stedtfeld, R.D., Sul, W.J., ... Stanton, T.B. (2012). In-feed antibiotic effects on the swine intestinal microbiome. *Proceedings of The National Academy of Science of the United States of America*, 109(5), 1691-1696.

- Lu, J.J., Zou, X.T., & Wang, Y.M. (2008). Effects of sodium butyrate on the growth performance, intestinal microflora and morphology of weanling pigs. *Journal of Animal and Feed Sciences*, 17(4), 568-578.
- Luppi, A. (2017). Swine enteric colibacillosis: diagnosis, therapy and antimicrobial resistance. *Porcine Health Management*, 3, 16.
- Ma, X., Qinghui, S., Jiangxu, H., Hansuo, L., Brøkner, C., & Xiangshu, P. (2019). Effects of replacing soybean meal, soy protein concentrate, fermented soybean meal or fish meal with enzyme-treated soybean meal on growth performance, nutrient digestibility, antioxidant capacity, immunity and intestinal morphology in weaned pigs. *Livestock Science*, 225(2019), 39-46.
- Ma, Y., Li, D., Qiao, S.Y., Huang, C.H., & Han, I.K. (2002). The effects of fiber source on organ weight, digesta pH, specific activities of digestive enzymes and bacterial activity in the gastrointestinal tract of piglets. *Asian-Australasian Journal of Animal Sciences*, 15(10), 1482-1488.
- Ma'ruf, A., Pramudono, B., & Aryanti, N. (2017). *Lignin isolation process from rice husk by alkaline hydrogen peroxide: Lignin and silica extracted*. Retrieved January 28, 2020, from <https://aip.scitation.org/doi/pdf/10.1063/1.4978086>
- Majzoobi, M., Pashangeh, S., Farahnaky, A., Eskandari, M.H., & Jamalian, J. (2014). Effect of particle size reduction, hydrothermal and fermentation treatments on phytic acid content and some physicochemical properties of wheat bran. *Journal of Food Science and Technology*, 5(10), 2755-2761.
- Mangan, D. (2014). *Changing methods for the measurement of dietary fiber*. Retrieved January 22, 2020, from <https://wholefoodsmagazine.com/blog/changing-methods-measurement-dietary-fiber/>
- Mateos, G.G., Martin, F., Latorre, M.A., Vicente, B., & Lázaro, R. (2006). Inclusion of oat hulls in diets for young pigs based on cooked maize or cooked rice. *Animal Science*, 82(1), 57-63.

- Mathew, A.G., Sutton, A.L., Scheidt, A.B., Patterson, J.A., Kelly, D.T., & Meyerholtz, K.A. (1993). Effect of galactan on selected microbial populations and volatile fatty acids in the ileum of the weanling pig. *Journal of Animal Science*, 71(6), 1503-1509.
- McCleary, B.V. (2003). Dietary fibre analysis. *Proceedings of the Nutrition Society*, 62, 3-9.
- McCleary, B.V., De Vries, J.W., Rader, J.I. Cohen, G., Proskey, L., Mugford, D.C., Champ, M., & Okuma, K. (2012). Determination of insoluble, soluble, and total dietary fiber (CODEX definition) by enzymatic-gravimetric method and liquid chromatography: Collaborative study. *Journal of AOAC International*, 95(3), 824-844.
- McDonald, D.E., Pethick, D.W., Mullan, B.P., Pluske, J.R., & Hampson, D.J. (1999). Adverse effects of soluble non-starch polysaccharide (guar gum) on piglet growth and experimental colibacillosis immediately after weaning. *Research in Veterinary Science*, 67(3), 245-250.
- Medel, P., Salado, S., de Blas, J.C., & Mateos, G.G. (1999). Processed cereals in diets for early-weaned piglets. *Animal Feed Science and Technology*, 82(3-4), 145-156.
- Mikhaleva, N.Y., Borisenkov, M.F., Gyunter, E.A., Popeiko, O.V., & Ovodov, Y.S. (2011). Effect of successive acid and enzymatic hydrolysis on the structure and antioxidant activity of pectins. *Russian Journal of Bioorganic Chemistry*, 37(7), 822-828.
- Moeser, A.J., Calvin, S.P., & Rejput, M. (2017). Weaning stress and gastrointestinal barrier development: Implications for lifelong gut health in pigs. *Animal Nutrition*, 3(4), 313-321.
- Molist, F., Gomes De Segura, A., Gasa, A., Hermes, R.G., Manzanilla, E.G., Anguita, M., & Perez, J.F. (2009). Effects of insoluble and soluble dietary fibre on the physicochemical properties of digesta and microbial activity in early weaned piglets. *Animal Feed Science and Technology*, 149(3-4), 346-353.

- Molist, F., van Oostrum, M., Pérez, J.F., & Mateos, G.G. (2014). Relevance of functional properties of dietary fibre in diets for weanling pigs. *Animal Feed Science and Technology*, 189(2014), 1-10.
- Montagne, L., Boudry, G., Favier, C., Le Huërou-Luron, I., Lallès, J.P., & Sèvre, B. (2007). Main intestinal markers associated with the changes in gut architecture and function in piglets after weaning. *British Journal of Nutrition*, 97(1), 45-57.
- Montagne, L., Le Floc'h, N., Arturo-Schaan, M., Foret, R., Urdaci, M.C., & Le Gall, M. (2012). Comparative effects of level of dietary fiber and sanitary conditions on the growth and health of weaning pigs. *Journal of Animal Science*, 90(8), 2556-2569.
- Montagne, L., Pluske, J.R., & Hampson, D.J. (2003). A review of interactions between dietary fibre and intestinal mucosa, and their consequences on digestive health in young non-ruminant animals. *Animal Feed Science and Technology*, 108(1-4), 95-117.
- Mosenthin, R., Sauer, W.C., & Ahrens, F. (1994). Dietary pectin's effect on ileal and fecal amino acid digestibility and exocrine pancreatic secretions in growing pigs. *Journal of Nutrition*, 124(8), 1222-1229.
- Mouwen, J.M.V.M., (1971). White scours in piglets. I. Stereomicroscopy of the mucosa of the small intestine. *Veterinary Pathology*, 8(4), 364-380.
- Mudgil, D. (2017). Dietary fiber for prevention of cardiovascular disease: Fiber's interaction between gut microflora, sugar metabolism, weight control and cardiovascular health. In Samaan, R.A. (Ed.), *The interaction between insoluble and soluble fiber* (p. 43). N.P.: Academic Press.
- N'Goma, J.C.B., Amara, S. Dridi, K., Jannin, V., & Carriere, F. (2012). Understanding the lipid digestion processes in the GI tract before designing lipid-based drug delivery system. *Therapeutic Delivery*, 3(1), 105-124.

- Nabuurs, M.J.A., Hoogendoorn, A., & van Zuder Veld, F.G. (1994). Effects of weaning and enterotoxigenic *Escherichia coli* on net absorption in the small intestine of pigs. *Research in Veterinary Science*, 56(3), 379-385.
- Nepomuceno, R.C., Watanabe, P.H., Freitas, E. R., Carvalha, L.E., Oliveira, E.L., & Veira, A.M. (2016). Neutral detergent fibre in piglet diet: performance and gastrointestinal implications. *Ciência e Agrotechology*, 40(2), 205-216.
- Ngoc, T.T.B., Len, N.T., & Lindberg, J.E. (2012). Chemical characterization and water holding capacity of fibre-rich feedstuffs used for pigs in Vietnam. *Asian-Australasian Journal of Animal Sciences*, 25(6), 861-868.
- Noblet, J., & Le Goff, G. (2001). Effect of dietary fibre on the energy value of feeds for pigs. *Animal Feed Science and Technology*, 90(2001), 35-52.
- Noblet, J., & Perez, J.M. (1993). Prediction of digestibility of nutrients and energy values of pigs diets from chemical analysis. *Journal of Animal Science*, 71(12), 3389-3398.
- Noort, M.W.J., Haaster, D.V., Hemery, Y., Schols, H.A., & Hamer, R.J. (2010). The effect of particle size of wheat bran fractions on bread quality- evidence for fiber-protein interaction. *Journal of Cereal Science*, 52(1), 59-64.
- Nowland, T.L., Plush, K.J., Barton, M., & Kirkwood, R.N. (2019). Development and function of the intestinal microbiome and potential implication for pig production. *Animal*, 9(3), 76.
- NRC, National Research Council. (2012). *Nutrient Requirements of Swine*. Washington DC, USA.: National Academic Press.
- Oliveira, J.P., Bruni, G.P., Lima, K.O., Halal, S.L.M.E., Rosa, G.S, Dias, A.R.G., & Zavareze, E.R. (2017). Cellulose fibers extracted from rice and oat husks and their application in hydrogel. *Food Chemistry*, 221(2017), 153-160.
- Partridge, G.G., Fisher, J., Gregory, H., & Prior, S.G. (1992). Automated wet feeding of weaner pigs versus conventional dry diet feeding: effects on growth rate and food consumption. In Proceedings of the British Society of Animal Production (1972) (p. 136). Edinburgh: .British Society of Animal Production

- Pascoal, L.A.F., Thomaz, M.C., Watanabe, P.H., Ruiz, U.S., Amorim, A.B., Daniel, E., & Silva, S.Z. (2015). Purified cellulose, soybean hulls and citrus pulp as a source of fiber for weaned piglets. *Scientia Agricola*, 72(5), 400-410.
- Pascoal, L.A.F., Tomaz, M.C., Watanabe, P.H., dos Santos Ruiz, U., Ezaquiel, J.M.B., Amorim, A.B., Daniel, E., & Masson, G.C.I. (2012). Fiber sources in diets for newly weaned piglets. *Revista Brasileira de Zootecnia*, 41, 636-642.
- Perry, J.R., & Ying, W. (2016). A review of physiological effects of soluble and insoluble dietary fibers. *Journal of Nutrition & Food Sciences*, 6(2), 476.
- Pieper, R., Jha, R., Rossnagel, B., Van Kessel, A., Souffrant, W.B., & Leterme, P. (2008). Effect of barley and oat cultivars with different carbohydrate compositions on the intestinal bacterial communities in weaned piglets. *FEMS Microbiology Ecology*, 66(3), 556-566.
- Pluske, J., Black, B., Pethick, D.W., Mullan B.P., & Hampson, D. J. (2003). Effects of different sources and levels of dietary fibre diets on performance, digesta characteristics and antibiotic treatment of pigs after weaning. *Animal Feed Science and Technology*, 107(1-4), 129-142.
- Pluske, J., Hampson, D.J., & Williams, I.H. (1997). Factors influencing the structure and function of the small intestine in the weaned pig: A review. *Livestock Production Science*, 51(1-3), 215-236.
- Pluske, J.R., & Williams, I.H. (1996). Reducing stress in piglet as a means of increasing production after weaning: administration of amperozide or co-mingling of piglets during lactation. *Animal Science*, 62(1), 121-130.
- Pluske, P.J., Kim, J.C., Hewitt, R., & van Berneveld, R. (2014). *Reducing the risk of post-weaning E. coli diarrhea using different sources of fibre in diet*. Retrieved July 3, 2017 from <http://porkcrc.com.au/wp-content/uploads/2014/12/2A-105-Final-Report.pdf>.
- Pramana, Y.S., Sunarti, T.C., & Purwoko. (2018). Process optimization for dietary fiber production from cassava pulp using acid treatment. *Series E: Food Technology*, 22(2), 21-32.

- Prosky, L., Asp, N.G., Furda, I., De vies, J.W., Schweizer, T.F., & Harland, B.F. (1985). Determination of total dietary fiber in foods and food products: Interlaboratory study. *Journal Association of Official analytical Chemists*, 68(4), 677-679.
- Raghavendra, S.N., Rastogi, N.K., Raghavarao, K., & Tharanathan, R.N. (2004). Dietary fiber coconut residue: Effects of different treatments and particle size on the hydration properties. *European Food Research and Technology*, 218(6), 563-567.
- Raj, S., Skiba, G., Weremko, D., & Fandrejewski, H. (2005). Growth of the gastrointestinal tract of pigs during realimentation following a high-fibre diet. *Journal of Animal and Feed Sciences*, 14(4), 675-684.
- Raj, S.T., Skiba, G., Weremko, D., & Fandrejewski, H. (2006). Digestibility of energy and nutrients in pigs previously fed a high-fibre diet. *Journal of Animal and Feed Sciences*, 15(4), 591-598.
- Rezaei, M., Karimi Torshizi, M.A., & Shariatmadari, F. (2014). Inclusion of processed rice hulls as insoluble fiber in the diet on performance and digestive traits of Japanese quails. *Journal of Animal Science Advances*, 4(7), 962-972.
- Sangnark, A., & Noomhorm, A. (2003). Effect of particle sizes on functional properties of dietary fibre prepared from sugarcane bagasse. *Food Chemistry*, 80(2), 221-229.
- Sansom, B.F., & Gleed. P.T. (1981). The ingestion of sow's faeces by suckling piglets. *British Journal of Nutrition*, 46(3), 451-456.
- Santos, J., Benjamin, M., & Yang, P.C. (2000). Chronic stress impairs rat growth and jejunal epithelial barrier function: role of mast cells. *American Journal of Physiology-Gastrointestinal and Liver Physiology*, 278(6), G847-G854.
- Schedle, K., Plitzner, C., Ettle, T., Zhao, L. Doming, K.J., & Windisch, W. (2008). Effects of insoluble dietary fibre differing in lignin on performance, gut microbiology, and digestibility in weanling piglets. *Archives of Animal Nutrition*, 62(2), 141-151.

- Schenkel, H. (2017). Dietary fiber and analytics. In A. Bosse and M. Pietsch (Eds.), *Finer in animal nutrition* (1<sup>st</sup> ed. p. 9).N.P.: Agrimedia.
- Sciellour, M.L., Labussière, E., Zemb, O., & Renaudeau, D. (2018). Effect of dietary fiber content on nutrient digestibility and fecal microbiota composition in growing-finishing pigs. *PloS ONE*, 13(10), e0206159.
- Skiba, G., Raj, S., Weremko, D., & Fandrejewski, H. (2005). Growth of the gastrointestinal tract in weaning pigs as affected by crude fibre content in the diet. *Journal of Animal and Feed Science*, 14(4), 665-674.
- Souffrant, W.B. (2001). Effect of dietary fibre on ileal digestibility and endogenous nitrogen losses in the pig. *Animal Feed Science and Technology*, 90(1-2), 93-102.
- Southgate, D.A.T. (1969). Determination of carbohydrates in foods. II Unavailable carbohydrates. *Journal of the Science of Food and Agriculture*, 20(6), 331-335.
- SPSS. (2010). *Statistical Package for Social Sciences*. Chicago, IL, USA.: SPSS Inc.
- Stanogias, G., & Pearce, G.R. (1985). The digestion of fibre by pigs: 1. The effects of amount and type of fibre on apparent digestibility, nitrogen balance and rate of passage. *British Journal of Nutrition*, 53(3), 513-530.
- Stein, H.H., Casas, G.A., Abellilla, J.J., Liu, Y., & Sulabo, R.C. (2015). Nutritional value of high fiber co-products from copra, palm kernel, and rice industries in diets fed to pigs. *Journal of Animal Science and Biotechnology*, 6(2015), 56.
- Sun, Y., & Kim, S.W. (2017). Intestinal challenge with enterotoxigenic *Escherichia coli* in pigs, and nutritional intervention to prevent postweaning diarrhea. *Animal Nutrition*, 3(4), 322-330.
- Superchi, P., Borghetti, P., Ferrarini, G., Cavalli, V., Sereni, M., & Zavattini, S. (2017). Effects of dietary crude fibre concentrate on growth on weaned piglets. *Animal*, 11(11), 1905-1912.

- Swiech, E., Barszcz, M., Tusnio, A., & Taciak, M. (2016). Gut morphology of young pigs fed diets differing in standardized ileal digestible threonine and wheat gluten used as a source of non-essential amino acids. *Journal of Animal and Feed Sciences*, 25(3), 226-234.
- Swords, W.E., Wu, C.C., Champlin, F.R., & Buddington, R.K. (1993). Postnatal changes in selected bacterial groups of the pig colonic microflora. *Biology of the Neonate*, 63(3), 191-200.
- Tartrakoon, W., Taksinananm N, Koedchuen, C., & Incharoen, T. (2017). Insoluble fiber prepared from rice hulls for the dietary supplementation of growing-finishing pigs. *International Journal of Agricultural Technology*, 13(7), 1155-1166.
- Van Soest, P.J., Robertson, J.B., & Lewis, B.A. (1991). Methods of dietary fiber, neutral detergent fiber and non starch polysaccharides in relation to animal nutrition. *Journal of Dairy Science*, 74(10), 3583-3597.
- Vente-Spreeuwenberg, M.A., Verdonk, J.M., Verstegen, M.V., & Beynen, A.C. (2003). Villus height and gut development in weaned piglets receiving diets containing either glucose, lactose or starch. *British Journal of Nutrition*, 90(5), 907-913.
- Wang, L.F., Beltranema, E., & Zijastra, R.T. (2016). Diet nutrition and growth performance of weaned pigs fed sugar beet pulp. *Animal Feed Science and Technology*, 211(2016), 145-152.
- Wijtten, P.J., van der Meulen, J., & Verstegen, M.W. (2011). Intestinal barrier function and absorption in pigs after weaning: a review. *British Journal of Nutrition*, 105(7), 967-981.
- Williams, B.A., Grant, L., Gidley, M.J., & Mikkelsen, D. (2017). Gut fermentation of dietary fibres: Physico-Chemistry of plant cell walls and implication for health. *International of Molecular Science*. 18(10), 2203.
- Wolters, M.G.E. Verbeek, C., van Westerop, J.J.M., Hermus, R.J.J., & Voragen, A.G.J. (1992). Comparison of different methods for determination of dietary fiber. *Journal of AOAC International*, 75(4), 626-634.

- Wu, X., Chen, D., Yu, B., Lou, Y., Zheng, P., Mao, X., Yu, J., & He, J. (2018). Effect of different dietary non-starch fiber fractions on growth performance, nutrient digestibility, and intestinal development in weaned pigs. *Nutrition*, 51-52(2018), 20-28.
- Xiong, X., Tan, B., Song, M., Ji, P., Kim, K., Yin, Y., & Liu, Y. (2019). Nutritional intervention for the intestinal development and health of weaned pigs. *Frontiers in Veterinary Science*, 6(2019), 46.
- Yang, J., Xiao, A., & Wang, C. (2014). Novel development and characterization of dietary fiber from yellow soybean hulls. *Food Chemistry*, 161(2014), 367-375.
- Ye, F., Tao, B., Liu, J., Zou, Y., & Zhao, G. (2016). Effect of micronization on the physicochemical properties of insoluble dietary fiber from citrus (*Citrus junos* Sieb. Ex Tanaka) pomace. *Food Science and Technology International*, 22(3), 246-255.
- Yu, C., Zhang, S., Yang, Q., Peng, Q., Zhu, J., Zeng, X., & S. Qiao. (2016). Effect of high diets formulated with different fibrous ingredients on performance, nutrient digestibility and faecal microbiota of weaning piglets. *Archives of Animal Nutrition*, 70(4), 263-277.
- Zhao, X., Jørgensen, H., & Eggum, B.O. (1995). The influence of dietary fibre on body composition, visceral organ weight, digestibility and energy balance in rats housed in different thermal environments. *British Journal of Nutrition*, 73(5), 687-699.
- Ziggers, D. (2012). *Dietary fibre, the missing nutrient in pig production*. Retrieved July 3, 2017, from <http://www.allaboutfeed.net/Nutrition/Diet-Formulation/2011/11/Dietary-fibre-the-missing-nutrient-in-pig-production-AAF012606W/>
- Zijlstra, R.T., Jha, R., Woodward, A.D., Fouhse, J., & van Kempen, T.A.T.G. (2012). Starch and fiber properties affect their kinetics of digestion and thereby digestive physiology in pigs. *Journal of Animal Science*, 90(4), 49-58.



การวิเคราะห์หาปริมาณใยอาหาร (Total dietary fiber) ตามวิธีการของ AOAC (1995)

1. อุปกรณ์

- 1.1 บีกเกอร์ทรงสูง ขนาด 600 มิลลิลิตร
- 1.2 Filter crucible ขนาด 50 มิลลิลิตร โดยมีการเตรียม crucible ดังนี้
  - 1.2.1 เผาถวยเปล่า 525 °C ข้ามคืน เพื่อทำความสะอาดด้วยก่อนนำมาใช้
  - 1.2.2 เมื่อถวยเย็น นำมาแช่ cleaning solution 2% นาน 1 ชั่วโมง
  - 1.2.3 ล้างทำความสะอาดด้วย deionized water และล้างด้วย acetone
- ปริมาณ 15 มิลลิลิตร ครั้ง
- 1.2.4 เติม Celite® 1.0 กรัม จากนั้นนำไปอบที่อุณหภูมิ 130 °C จนได้ร้อนแห้ง
- 1.2.5 ทึ่งให้เย็นในโถดูดความชื้น ประมาณ 1 ชั่วโมง บันทึกน้ำหนักถัว
- 1.3 Filter flask
- 1.4 ชุดบีบมีดูญญาภาค
- 1.5 อ่างน้ำควบคุมอุณหภูมิ
- 1.6 เครื่องซีอิ๊ง
- 1.7 ตู้อบลมร้อน
- 1.8 เตาเผา
- 1.9 เครื่องจัดความเป็นกรดด่าง (pH meter) พร้อมสารละลายน้ำ pH 4.0, 7.0 และ 10.0

2. สารเคมี

- 2.1 ชุดเอนไซม์ Megazyme Total dietary fiber K-TDFR 100A (Megazyme International Ireland, Co. Wicklow, Ireland; cat.no. K-TDFR-100A) ประกอบด้วย
  - 2.1.1 Thermostable α-amylase (Megazyme cat no. E-BLAAM)
  - 2.1.2 Purified protease (Megazyme cat no. E-BSPRT)
  - 2.1.3 Purified amyloglucosidase (Megazyme cat no. E-AMGDF)



ภาพ 9 ชุดเอนไซม์ Megazyme Total dietary fiber K-TDFR 100A สำหรับวิเคราะห์ไข้อาหาร

- 2.2 Ethanol, 95% v/v
- 2.3 Ethanol, 78% เตรียมโดยใช้ 95% Ethanol จำนวน 821 มิลลิลิตร เจือจางในน้ำกลั่นให้ได้ปริมาตร 1 ลิตรใน volumetric flask
- 2.4 Acetone, reagent grade
- 2.5 Deionised water
- 2.6 Celite®, analytical grade (Megazyme cat.no. G-CELITE)
- 2.7 Cleaning solution เตรียมให้อยู่ในรูปของสารละลายความเข้มข้น 2%
- 2.8 สารละลาย MES/TRIS buffer, 0.05M pH 8.2 เตรียมโดยละลาย 2(*N*-morpholino) ethanesulfonic acid (MES) (Megazyme cat.no. B-MES250) 19.52 กรัม และ tris(hydroxymethyl)aminomethane (TRIS) (Megazyme cat.no. B-TRIS500) 12.2 กรัม ในน้ำกลั่น 1.7 ลิตร ปรับ pH ให้ได้ 8 ด้วย 6.0N NaOH จากนั้นปรับปริมาตรด้วยน้ำกลั่นให้ได้ 2 ลิตร
- 2.9 สารละลาย HCl 0.561N เตรียมโดยละลาย 6N HCl 93.5 มิลลิลิตร ในน้ำกลั่นให้ได้ปริมาตร 1 ลิตร
3. วิธีการหาค่า Total dietary fiber (DF)
  - 3.1 ชั่งน้ำหนักตัวอย่างประมาณ  $1.0 \pm 0.1$  กรัม ใส่ในปีกเกอว์ทวงสูง โดยทำ 2 ชั้นต่อ 1 ตัวอย่าง และเตรียม blank เช่นเดียวกัน ไม่ต้องใส่ตัวอย่าง
  - 3.2 ใส่สารละลาย MES/TRIS ปริมาณ 40 มิลลิลิตร

3.3 เติมเอนไซม์ Thermostable  $\alpha$ -amylase ปริมาณ 50 ไมโครลิตร ปิดบีกเกอร์ด้วยอะซูมิเนียมฟลอยด์ นำไปต้มใน water bath ที่อุณหภูมิ 98-100 °C เป็นเวลา 30 นาที

3.4 เมื่อครบเวลา นำบีกเกอร์ออกจาก water bath ปล่อยให้เย็นที่อุณหภูมิห้อง ล้างตะกรอนข้างบีกเกอร์ด้วย deionized water ปริมาณ 10 มิลลิลิตร

3.5 เติมเอนไซม์ protease ปริมาณ 100 ไมโครลิตร ปิดด้วยอะซูมิเนียมฟลอยด์ นำไปต้มใน water bath ที่อุณหภูมิ 60 °C เป็นเวลา 30 นาที (เริ่มจับเวลาเมื่ออุณหภูมิของ water bath อุ่นที่ 60 °C)

3.6 เมื่อครบเวลา นำออกจาก water bath เติมสารละลาย 0.561N HCl ปริมาณ 5 มิลลิลิตร ปรับ pH ให้อยู่ที่ 4.1-4.8 ด้วยสารละลาย 5% NaOH หรือสารละลาย 5% HCl

3.7 เติมเอนไซม์ amyloglucosidase ปริมาณ 200 ไมโครลิตร ปิดบีกเกอร์ด้วยอะซูมิเนียมฟลอยด์ นำไปต้มใน water bath ที่อุณหภูมิ 60 °C เป็นเวลา 30 นาที

3.8 นำออกจาก water bath เติม ethanol 95% ปริมาณ 225 มิลลิลิตร ปล่อยให้ตะกรอนที่อุณหภูมิห้องนาน 1 ชั่วโมง

3.9 เมื่อครบเวลา กรองตะกรอนด้วย filter crucible และซุญกรองสุญญาการ ก่อนทำการกรอง เติม ethanol 78% ปริมาณ 15 มิลลิลิตร ใน filter crucible และคุณออก ด้วยเครื่องดูดสุญญาการ เพื่อล้าง Celite®

### 3.10 ทำการล้างตะกรอนด้วย

3.10.1 ethanol 78% ปริมาณ 20 มิลลิลิตร จำนวน 3 ครั้ง

3.10.2 ethanol 95% ปริมาณ 10 มิลลิลิตร จำนวน 2 ครั้ง

3.10.3 acetone ปริมาณ 10 มิลลิลิตร จำนวน 2 ครั้ง

3.11 นำกรองตะกรอนใน filter crucible ไปบน 1 คืน ที่อุณหภูมิ 103 °C ทิ้งให้เย็นในโถดูดความชื้น บันทึกน้ำหนัก

3.12 นำ filter crucible ช้าๆแลกทั้งของตัวอย่าง และ blank ไปหาปริมาณเหล้า โดยเผาที่อุณหภูมิ 525 °C นาน 5 ชั่วโมง จากนั้นคำนวนหาปริมาณเหล้า ( $B_{ash}$ , mg<sub>ash</sub>) จากนั้นนำ filter crucible ช้าๆที่สอง ไปหาปริมาณโปรตีน ด้วยวิธี Kjedahl method (Crude protein = %N \*6.25)

( $B_{protein}$ , mg<sub>protein</sub>)

### 3.13 คำนวนหาค่าใยอาหารรวม (Total dietary fiber; DF)

$$DF \text{ (g/100g)} = [((R1 + R2)/2) - mg_{protein} - mg_{ash} - B / ((M1 + M2)/2)] * 100$$

R1/ R2	= Residue weight (mg) of each replicate of sample
Residue weight (R)	= (crucible +Celite + residue) หลังอบ – (crucible + Celite)
B (Blank, mg)	= $(B1+B2) / 2 - B_{\text{protein}} - B_{\text{ash}}$
B1 / B2	= residue individual blank value (mg)
$B_{\text{protein}}$	= Protein (mg) in blank; $B_{\text{ash}} = \text{Ash (mg)}$ in blank
$mg_{\text{ protein}}$	= Protein (mg) in sample residue ; $mg_{\text{ ash}}$ = Ash (mg) in sample residue
M1/M2	= sample weight (mg)

#### 4. วิธีการวิเคราะห์ไขอาหารชนิดไม่ละลายน้ำ (insoluble dietary fiber; iDF)

4.1 ทำการวิเคราะห์เหมือนกับการวิเคราะห์ DF จนถึงข้อ [7] หลังจากย่ออบด้วย amyloglucosidase จนครุณเวลาแล้ว นำมารอง และล้างด้วยน้ำร้อนที่อุณหภูมิ  $70^{\circ}\text{C}$  ปริมาณ 10 มิลลิลิตร จำนวน 2 ครั้ง

##### 4.2 ล้างากาดตะกอนด้วย

4.2.1 ethanol 78% ปริมาณ 20 มิลลิลิตร จำนวน 3 ครั้ง

4.2.2 ethanol 95% ปริมาณ 10 มิลลิลิตร จำนวน 2 ครั้ง

4.2.3 acetone ปริมาณ 10 มิลลิลิตร จำนวน 2 ครั้ง

4.3 นำตัวอย่างอบที่อุณหภูมิ  $103^{\circ}\text{C}$  ข้ามคืน ทิ้งให้เย็นในถุงความชื้น บันทึก น้ำหนัก

4.4 นำตัวอย่าง 1 ซ้ำ ไปหาปริมาณเด็ก โดยการเผาที่อุณหภูมิ  $525^{\circ}\text{C}$  เวลา 5 ชั่วโมง และนำตัวอย่างอีก 1 ซ้ำไปวิเคราะห์หาปริมาณโปรตีนด้วยวิธี Kjedahl method (Crude protein = %N \*6.25)

4.5 คำนวนหาปริมาณ iDF โดยใช้สูตรเดียวกับการวิเคราะห์ปริมาณ DF

5. คำนวนปริมาณของ (soluble dietary fiber; sDF) = DF-iDF